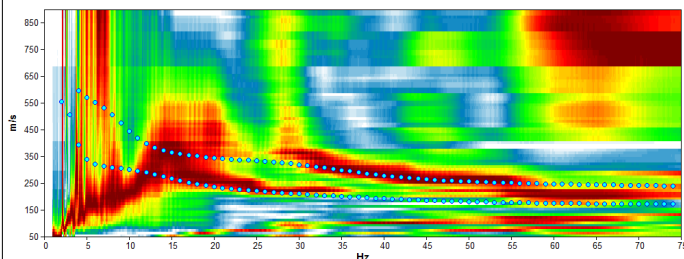
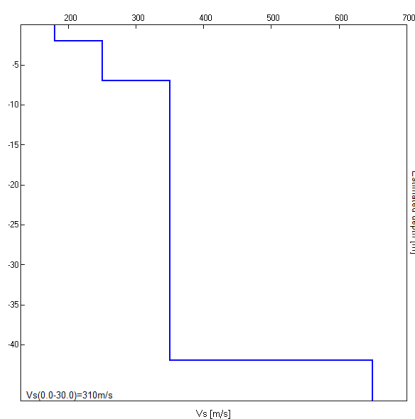

SCHEDE DELLE INDAGINI

Misura in array di tipo Re.Mi.

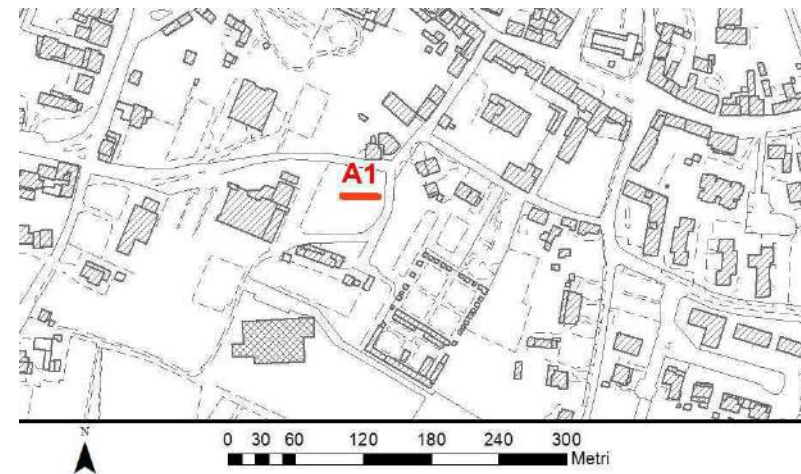
Progressivo	A1
Latitudine WGS84 - 33N (inizio stesa) [°]	5079254
Longitudine WGS84 - 33N (inizio stesa) [°]	296311
Latitudine WGS84 - 33N (fine stesa) [°]	5079255
Longitudine WGS84 - 33N (fine stesa) [°]	296279
Quota p.c. s.l.m. [m]	32
Anno di misura	2016



Modelled rayleigh wave phase velocity

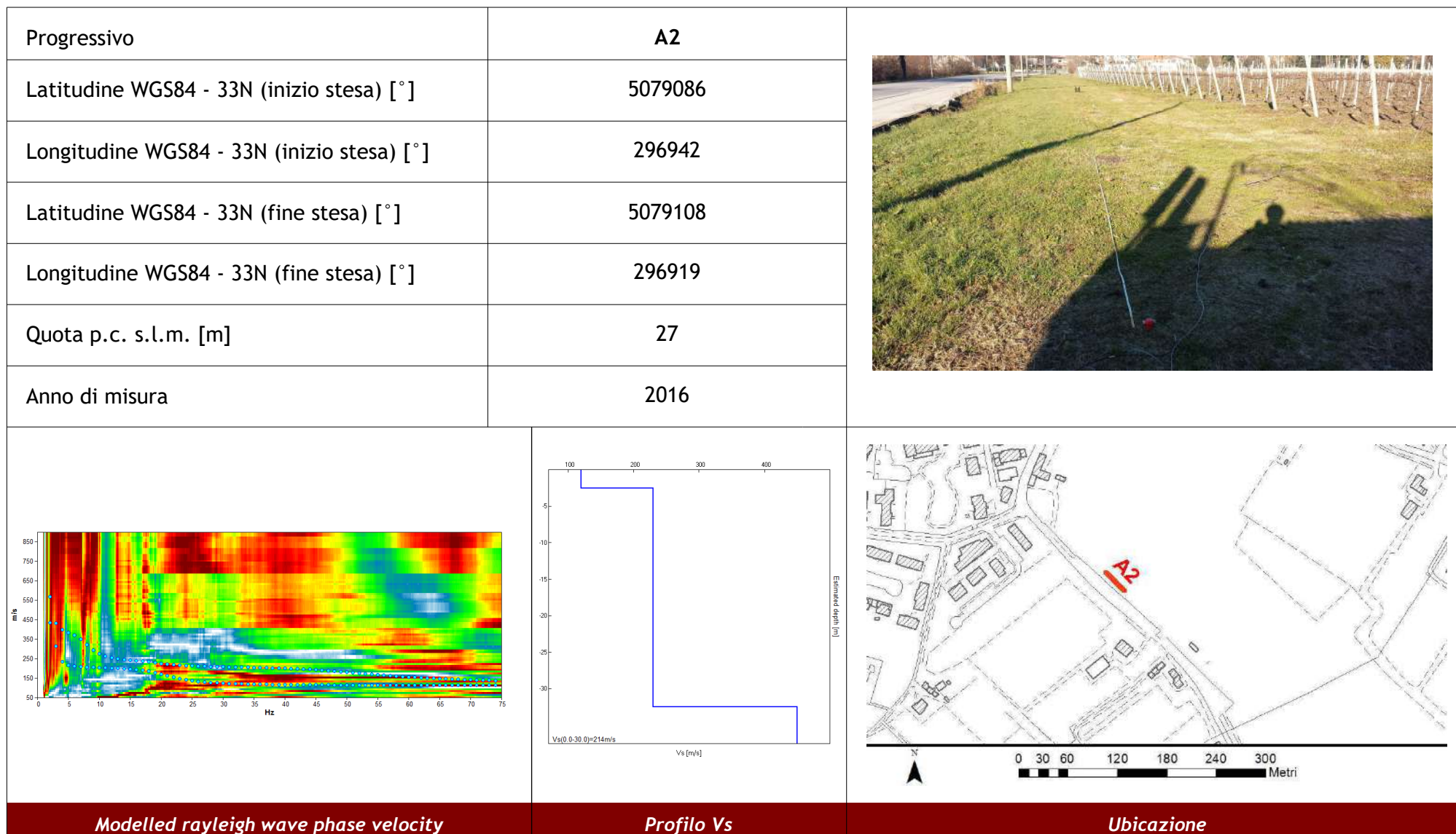


Profilo Vs


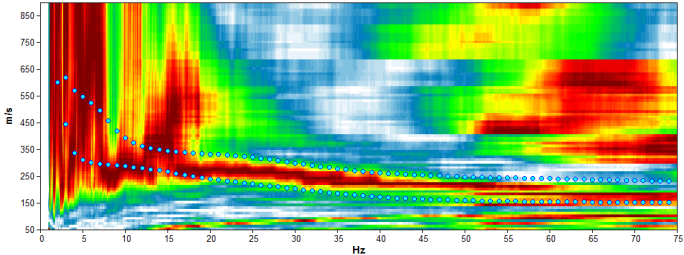
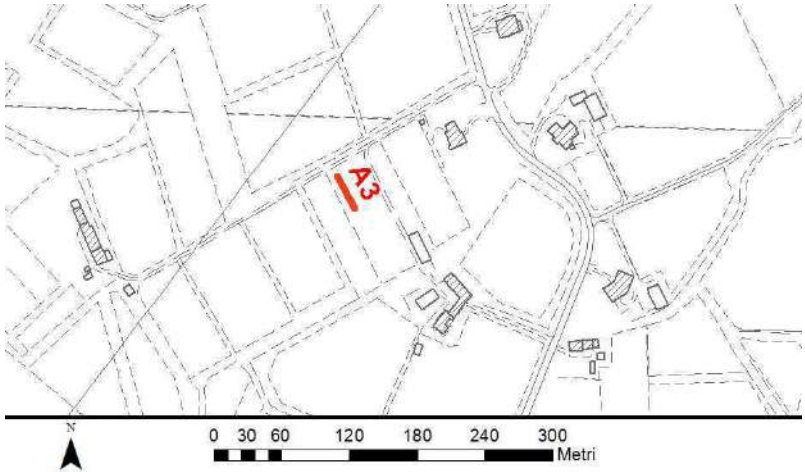
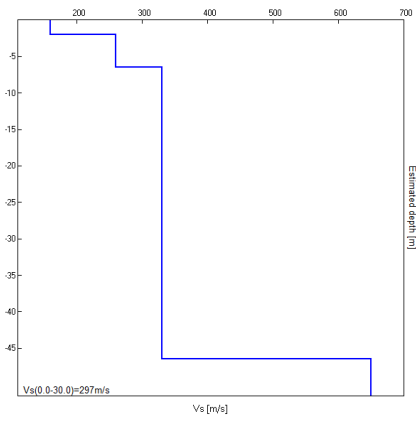


Ubicazione

Misura in array di tipo Re.Mi.

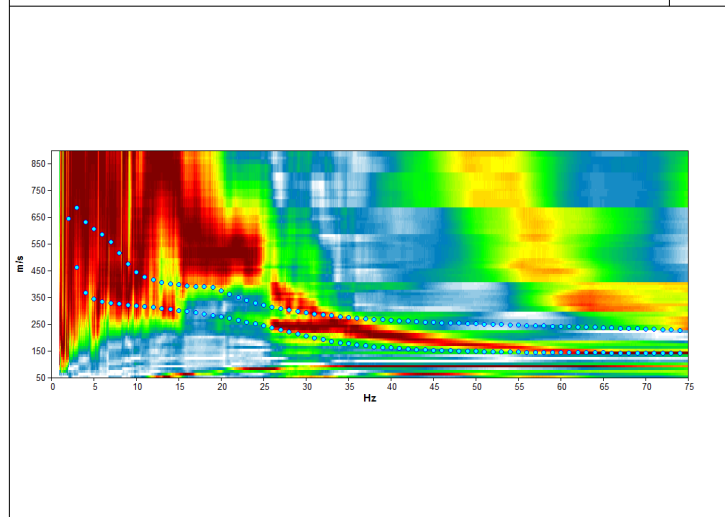


Misura in array di tipo Re.Mi.

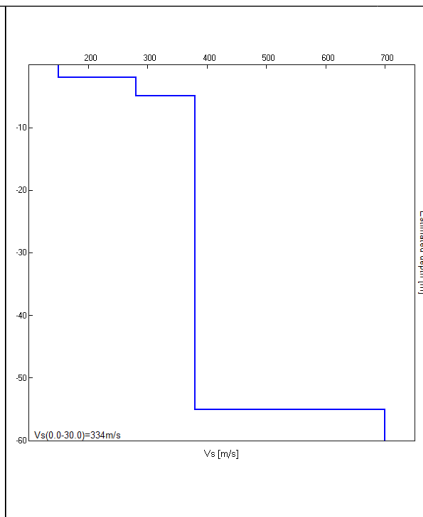
Progressivo	A3	
Latitudine WGS84 - 33N (inizio stesa) [°]	5077766	
Longitudine WGS84 - 33N (inizio stesa) [°]	297340	
Latitudine WGS84 - 33N (fine stesa) [°]	5077738	
Longitudine WGS84 - 33N (fine stesa) [°]	297354	
Quota p.c. s.l.m. [m]	27	
Anno di misura	2016	
		
		
<p><i>Modelled rayleigh wave phase velocity</i></p>		<p><i>Ubicazione</i></p>

Misura in array di tipo Re.Mi.

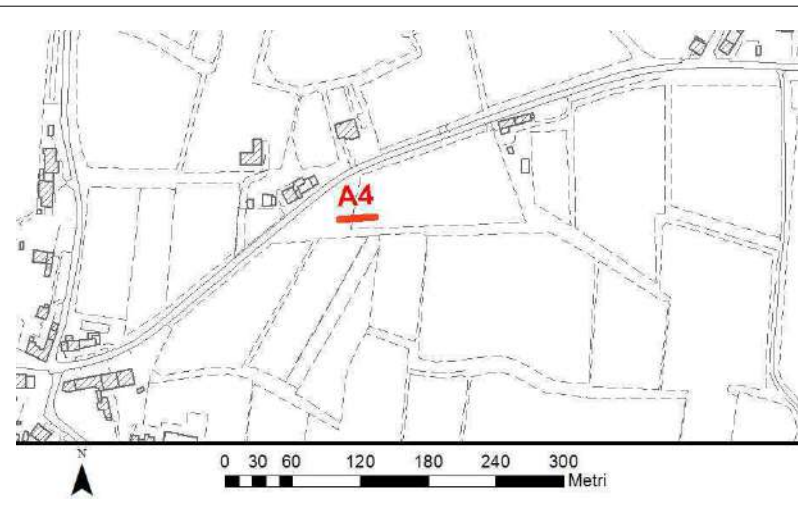
Progressivo	A4
Latitudine WGS84 - 33N (inizio stesa) [°]	5077092
Longitudine WGS84 - 33N (inizio stesa) [°]	295162
Latitudine WGS84 - 33N (fine stesa) [°]	5077094
Longitudine WGS84 - 33N (fine stesa) [°]	295194
Quota p.c. s.l.m. [m]	33
Anno di misura	2016



Modelled rayleigh wave phase velocity



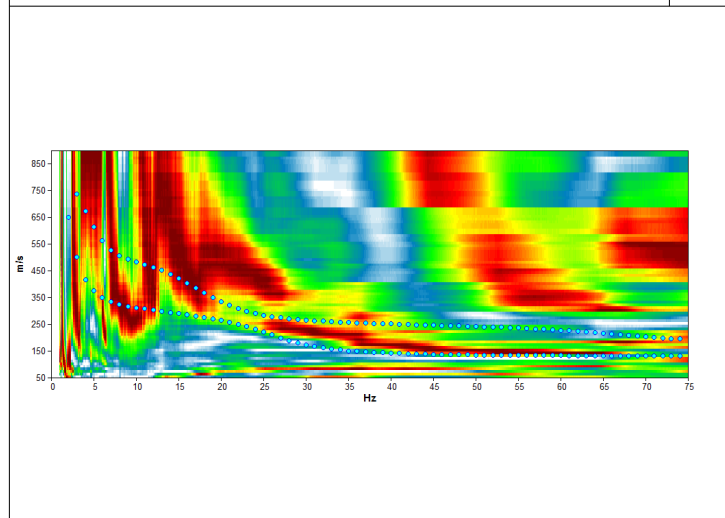
Profilo Vs



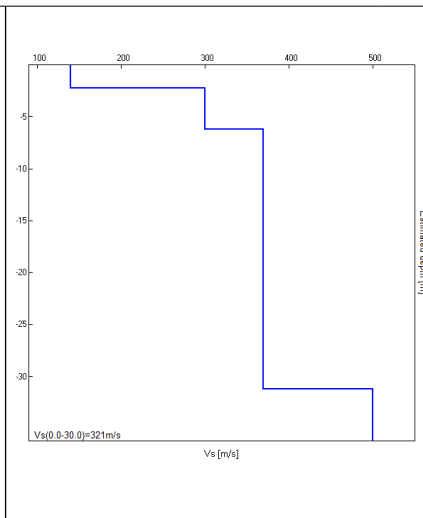
Ubicazione

Misura in array di tipo Re.Mi.

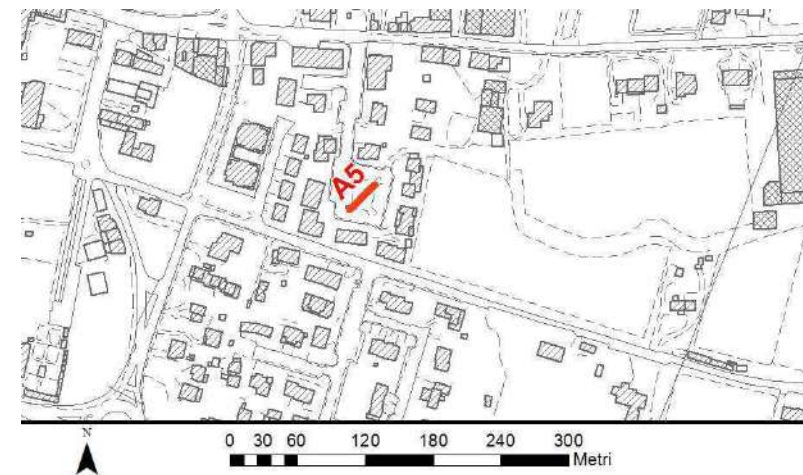
Progressivo	A5
Latitudine WGS84 - 33N (inizio stesa) [°]	5076817
Longitudine WGS84 - 33N (inizio stesa) [°]	294223
Latitudine WGS84 - 33N (fine stesa) [°]	5076840
Longitudine WGS84 - 33N (fine stesa) [°]	294246
Quota p.c. s.l.m. [m]	40
Anno di misura	2016



Modelled rayleigh wave phase velocity



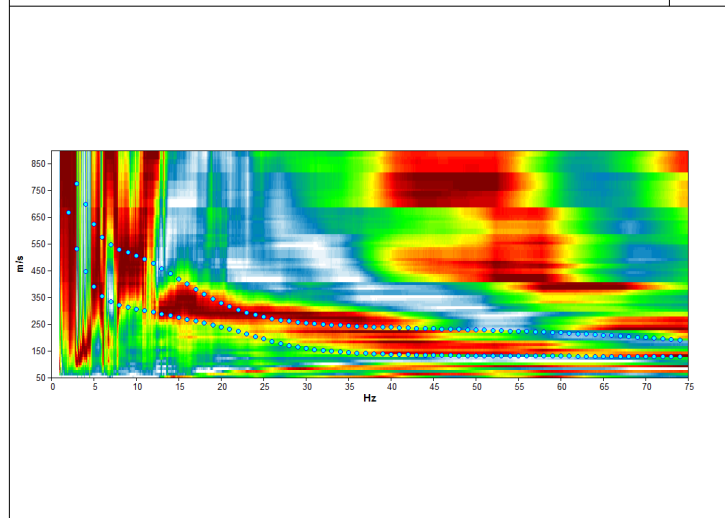
Profilo Vs



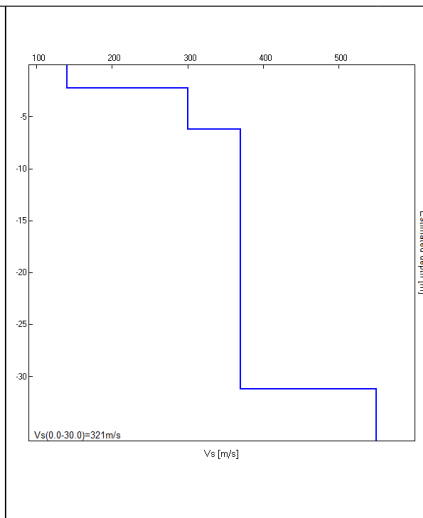
Ubicazione

Misura in array di tipo Re.Mi.

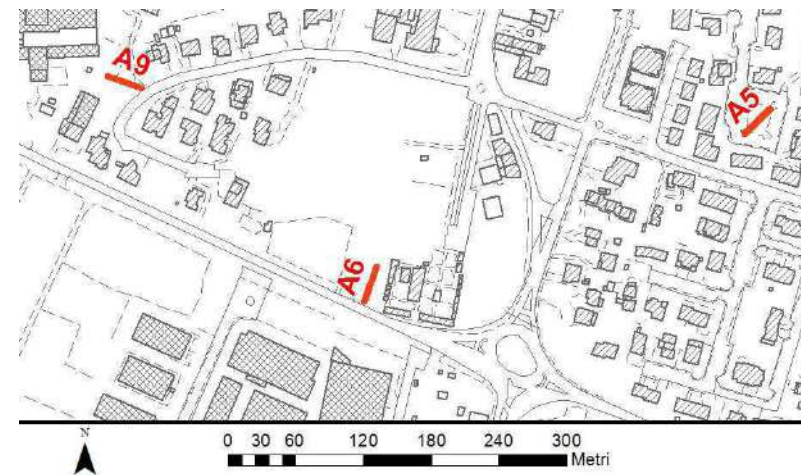
Progressivo	A6
Latitudine WGS84 - 33N (inizio stesa) [°]	5076669
Longitudine WGS84 - 33N (inizio stesa) [°]	293886
Latitudine WGS84 - 33N (fine stesa) [°]	5076700
Longitudine WGS84 - 33N (fine stesa) [°]	293897
Quota p.c. s.l.m. [m]	38
Anno di misura	2016



Modelled rayleigh wave phase velocity


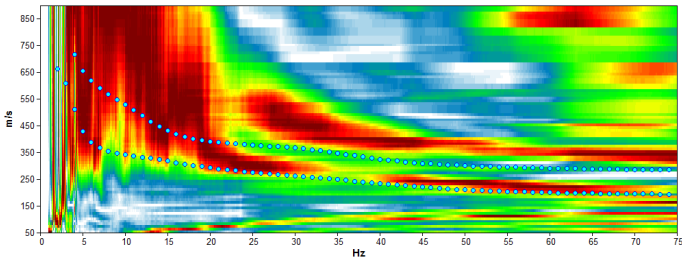
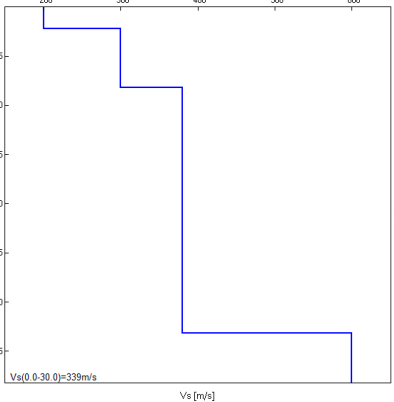
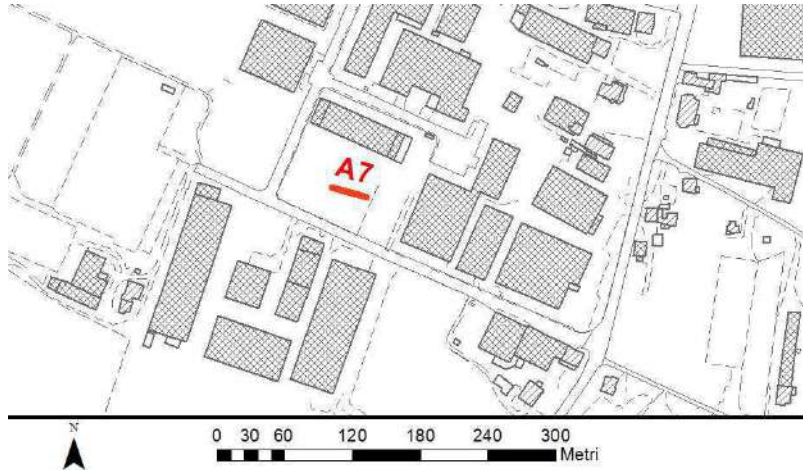


Profilo Vs


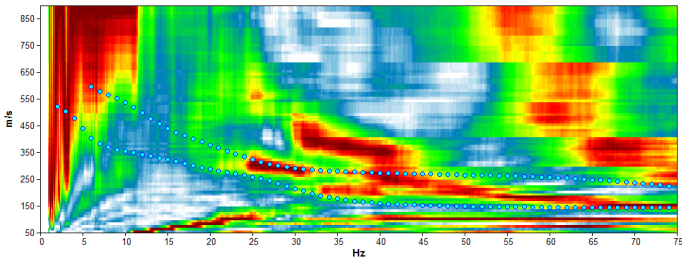
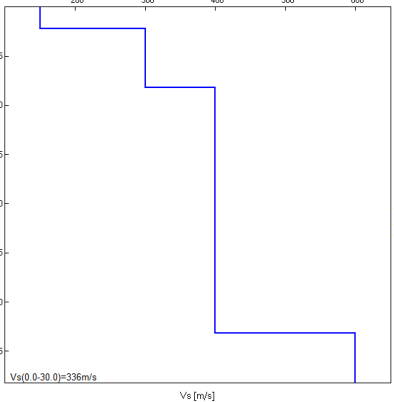


Ubicazione

Misura in array di tipo Re.Mi.

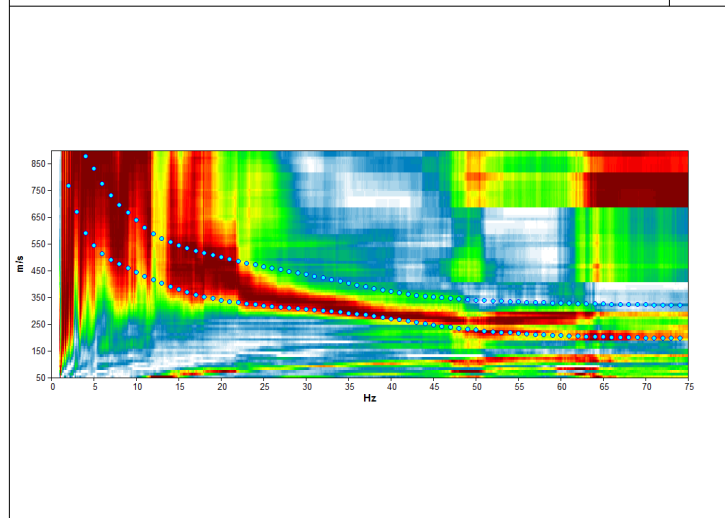
Progressivo	A7	
Latitudine WGS84 - 33N (inizio stesa) [°]	5076304	
Longitudine WGS84 - 33N (inizio stesa) [°]	293698	
Latitudine WGS84 - 33N (fine stesa) [°]	5076312	
Longitudine WGS84 - 33N (fine stesa) [°]	293668	
Quota p.c. s.l.m. [m]	39	
Anno di misura	2016	
		
<i>Modelled rayleigh wave phase velocity</i>	<i>Profilo Vs</i>	<i>Ubicazione</i>

Misura in array di tipo Re.Mi.

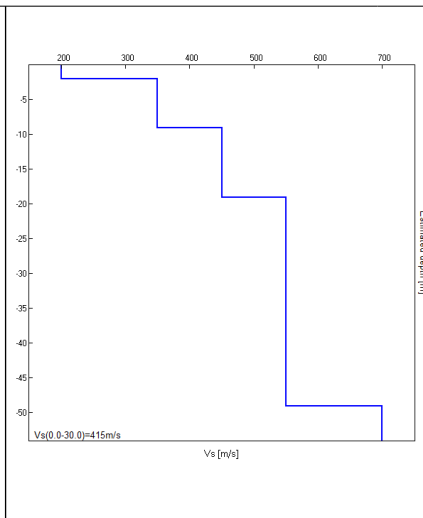
Progressivo	A8	
Latitudine WGS84 - 33N (inizio stesa) [°]	5076395	
Longitudine WGS84 - 33N (inizio stesa) [°]	293248	
Latitudine WGS84 - 33N (fine stesa) [°]	5076394	
Longitudine WGS84 - 33N (fine stesa) [°]	293216	
Quota p.c. s.l.m. [m]	40	
Anno di misura	2016	
		
<p><i>Modelled rayleigh wave phase velocity</i></p>		
<p><i>Profilo Vs</i></p>		

Misura in array di tipo Re.Mi.

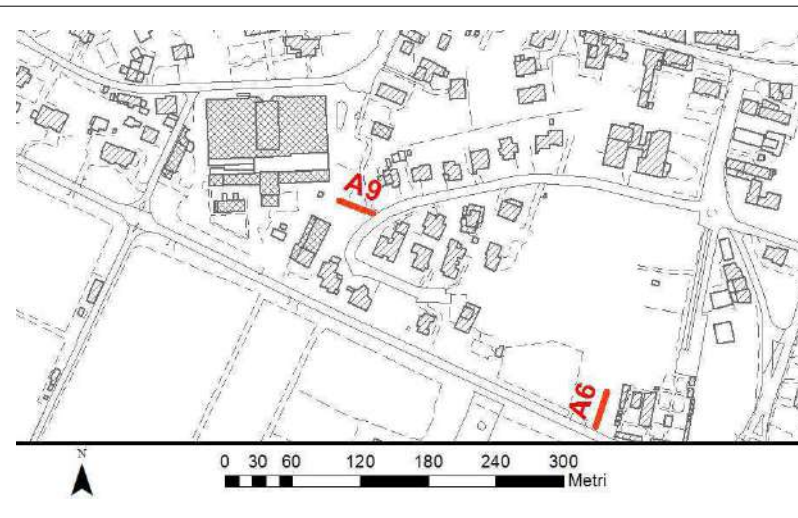
Progressivo	A9
Latitudine WGS84 - 33N (inizio stesa) [°]	5076858
Longitudine WGS84 - 33N (inizio stesa) [°]	293689
Latitudine WGS84 - 33N (fine stesa) [°]	5076869
Longitudine WGS84 - 33N (fine stesa) [°]	293659
Quota p.c. s.l.m. [m]	41
Anno di misura	2016



Modelled rayleigh wave phase velocity

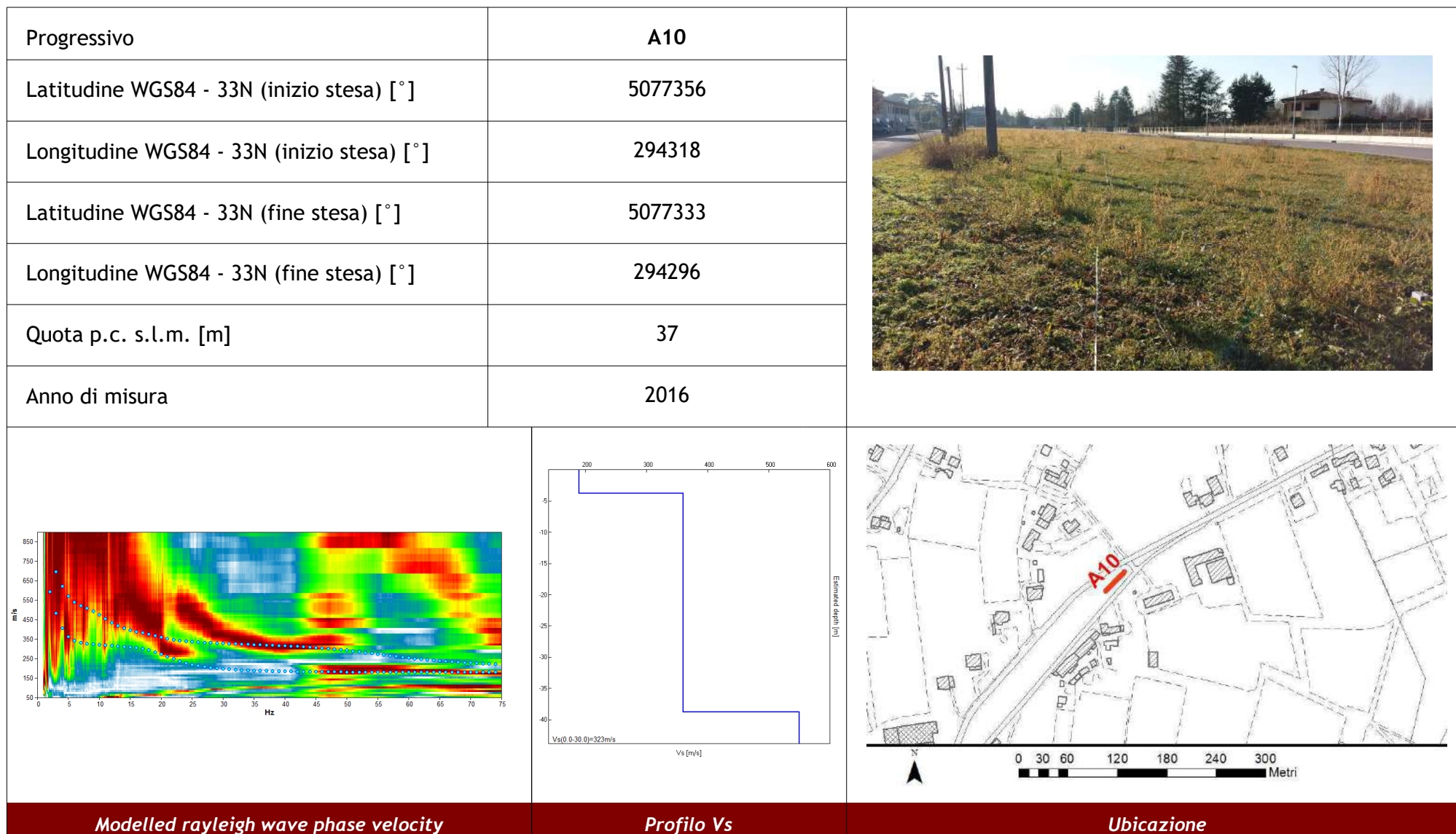


Profilo Vs



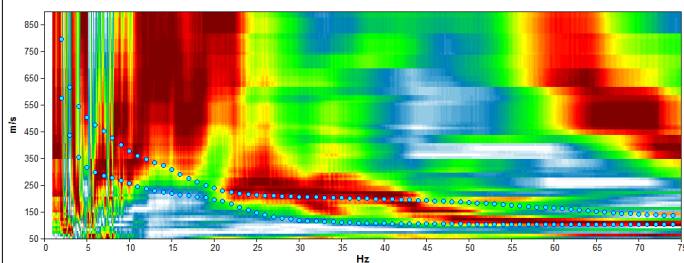
Ubicazione

Misura in array di tipo Re.Mi.

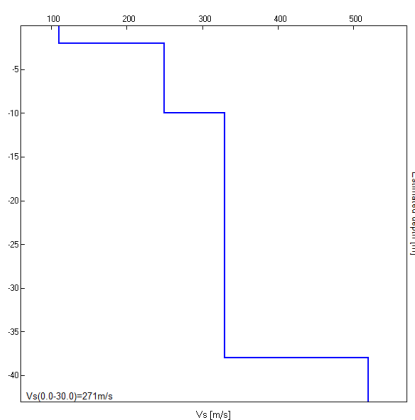


Misura in array di tipo Re.Mi.

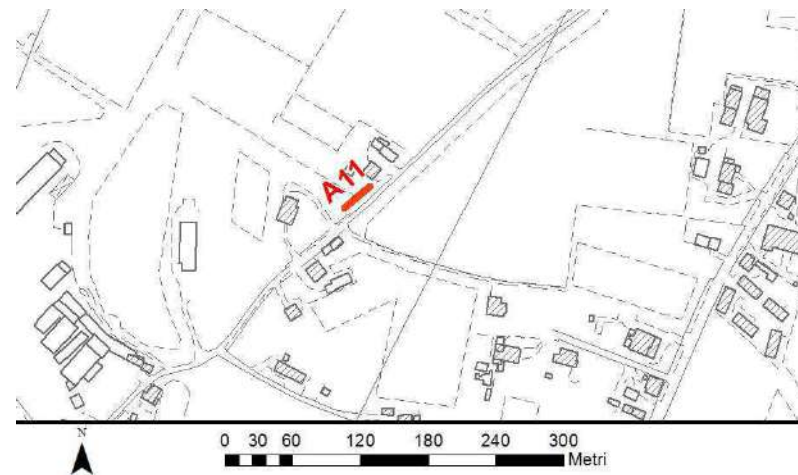
Progressivo	A11
Latitudine WGS84 - 33N (inizio stesa) [°]	5078847
Longitudine WGS84 - 33N (inizio stesa) [°]	295444
Latitudine WGS84 - 33N (fine stesa) [°]	5078828
Longitudine WGS84 - 33N (fine stesa) [°]	295421
Quota p.c. s.l.m. [m]	35
Anno di misura	2017



Modelled rayleigh wave phase velocity



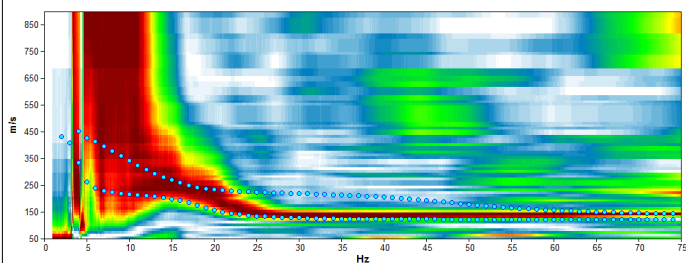
Profilo Vs



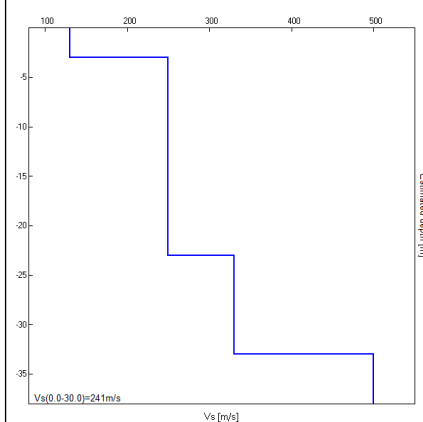
Ubicazione

Misura in array di tipo Re.Mi.

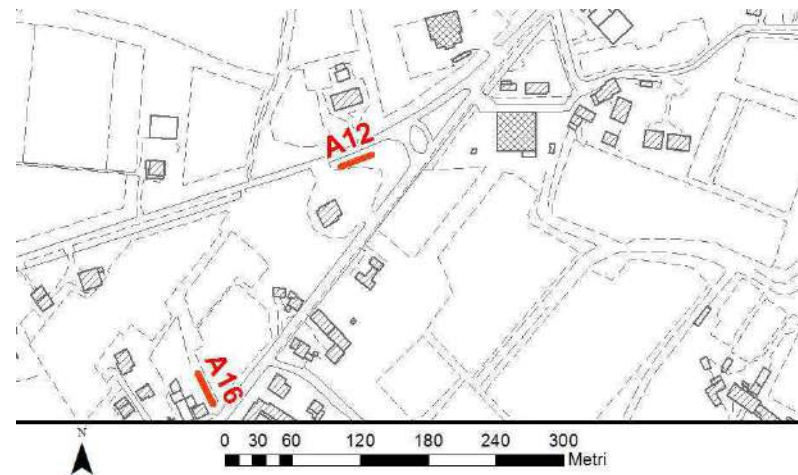
Progressivo	A12
Latitudine WGS84 - 33N (inizio stesa) [°]	5079799
Longitudine WGS84 - 33N (inizio stesa) [°]	296718
Latitudine WGS84 - 33N (fine stesa) [°]	5079811
Longitudine WGS84 - 33N (fine stesa) [°]	296746
Quota p.c. s.l.m. [m]	29
Anno di misura	2017



Modelled rayleigh wave phase velocity



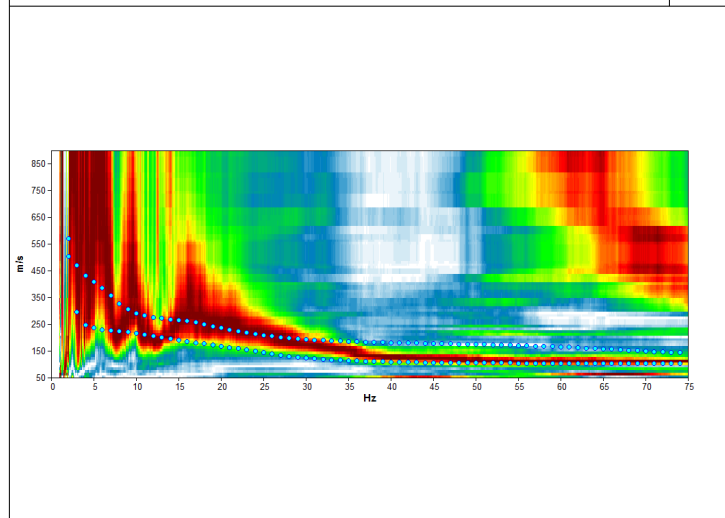
Profilo Vs



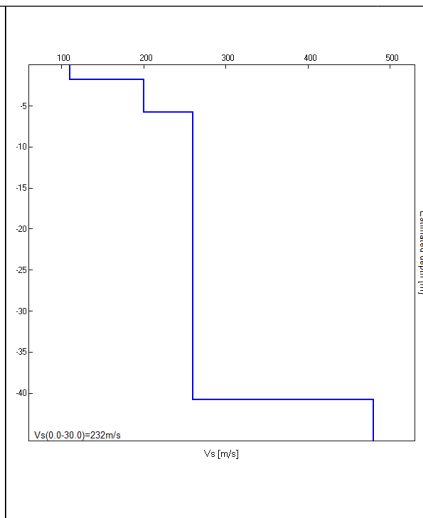
Ubicazione

Misura in array di tipo Re.Mi.

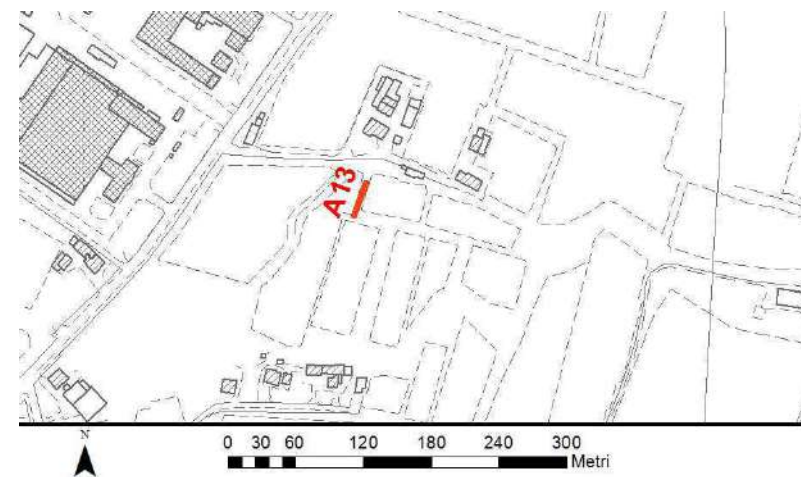
Progressivo	A13
Latitudine WGS84 - 33N (inizio stesa) [°]	5080120
Longitudine WGS84 - 33N (inizio stesa) [°]	297207
Latitudine WGS84 - 33N (fine stesa) [°]	5080092
Longitudine WGS84 - 33N (fine stesa) [°]	297196
Quota p.c. s.l.m. [m]	29
Anno di misura	2017



Modelled rayleigh wave phase velocity



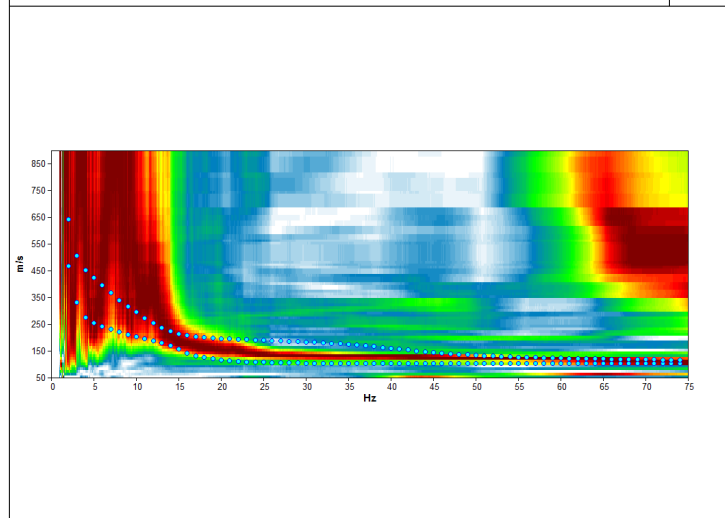
Profilo Vs



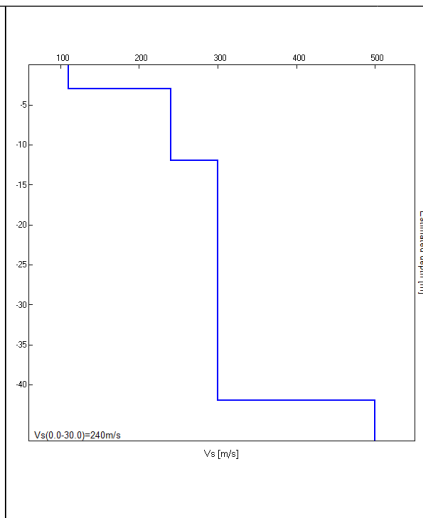
Ubicazione

Misura in array di tipo Re.Mi.

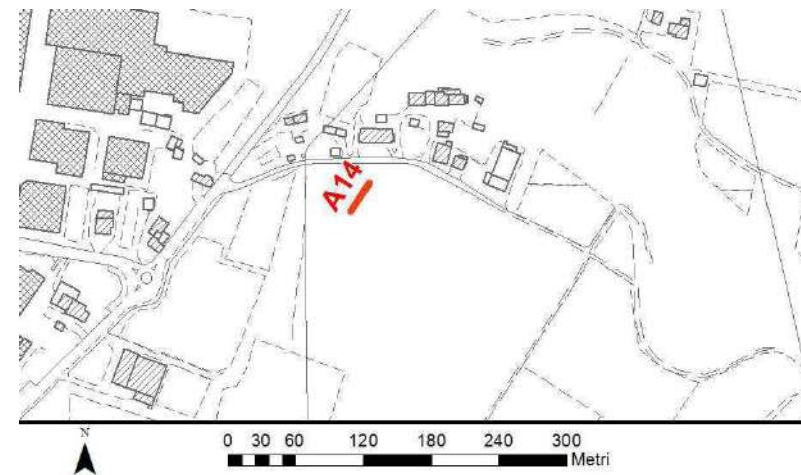
Progressivo	A14
Latitudine WGS84 - 33N (inizio stesa) [°]	5080588
Longitudine WGS84 - 33N (inizio stesa) [°]	297579
Latitudine WGS84 - 33N (fine stesa) [°]	5080563
Longitudine WGS84 - 33N (fine stesa) [°]	297563
Quota p.c. s.l.m. [m]	28
Anno di misura	2017



Modelled rayleigh wave phase velocity



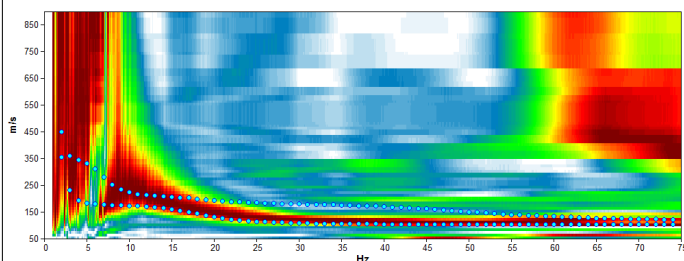
Profilo Vs



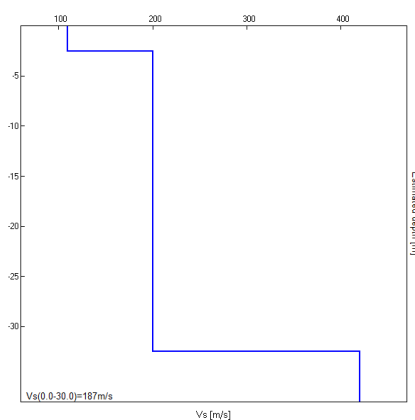
Ubicazione

Misura in array di tipo Re.Mi.

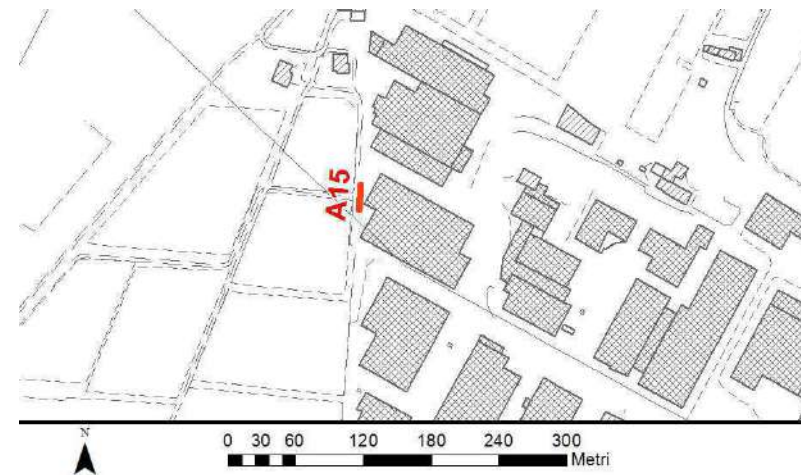
Progressivo	A15
Latitudine WGS84 - 33N (inizio stesa) [°]	5081292
Longitudine WGS84 - 33N (inizio stesa) [°]	297157
Latitudine WGS84 - 33N (fine stesa) [°]	5081270
Longitudine WGS84 - 33N (fine stesa) [°]	297156
Quota p.c. s.l.m. [m]	31
Anno di misura	2017



Modelled rayleigh wave phase velocity



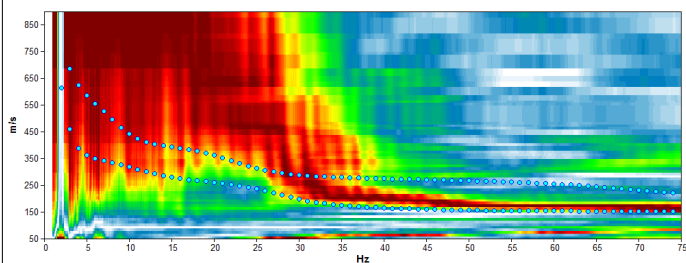
Profilo Vs



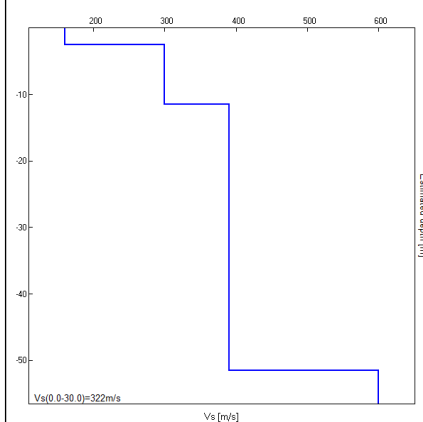
Ubicazione

Misura in array di tipo Re.Mi.

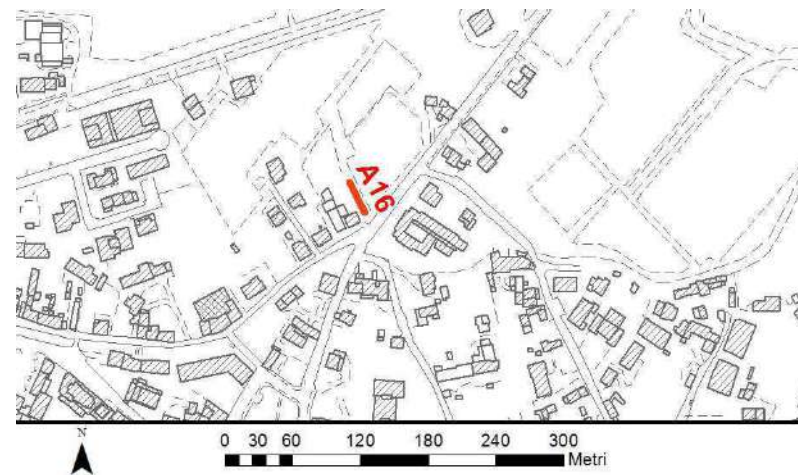
Progressivo	A16
Latitudine WGS84 - 33N (inizio stesa) [°]	5079590
Longitudine WGS84 - 33N (inizio stesa) [°]	296605
Latitudine WGS84 - 33N (fine stesa) [°]	5079616
Longitudine WGS84 - 33N (fine stesa) [°]	296592
Quota p.c. s.l.m. [m]	31
Anno di misura	2017



Modelled rayleigh wave phase velocity



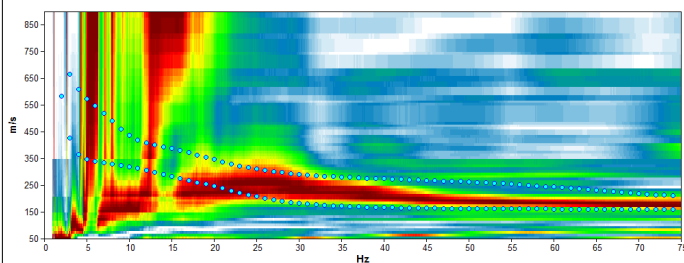
Profilo Vs



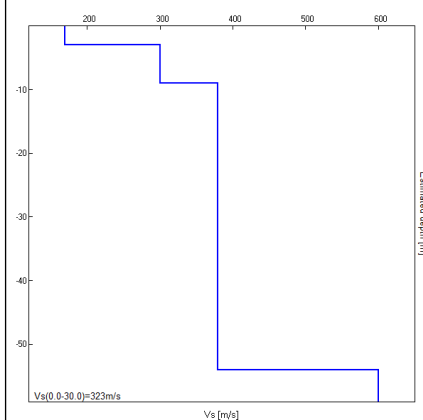
Ubicazione

Misura in array di tipo Re.Mi.

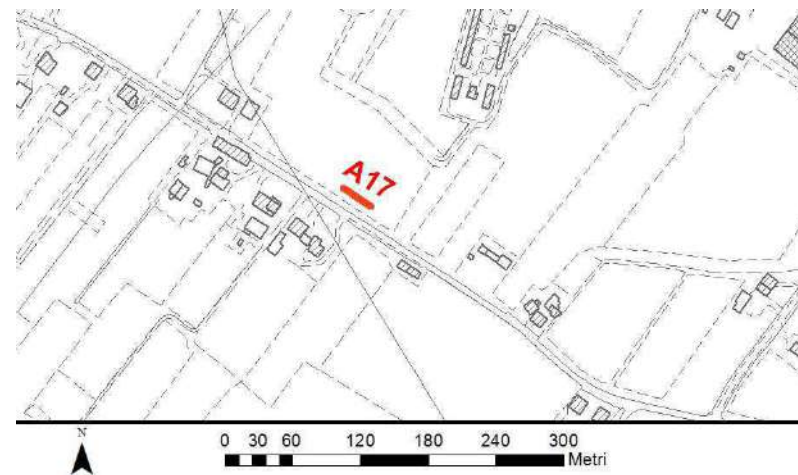
Progressivo	A17
Latitudine WGS84 - 33N (inizio stesa) [°]	5078954
Longitudine WGS84 - 33N (inizio stesa) [°]	298404
Latitudine WGS84 - 33N (fine stesa) [°]	5078970
Longitudine WGS84 - 33N (fine stesa) [°]	298378
Quota p.c. s.l.m. [m]	26
Anno di misura	2017



Modelled rayleigh wave phase velocity



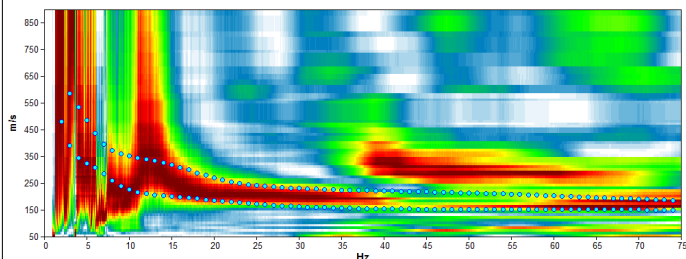
Profilo Vs



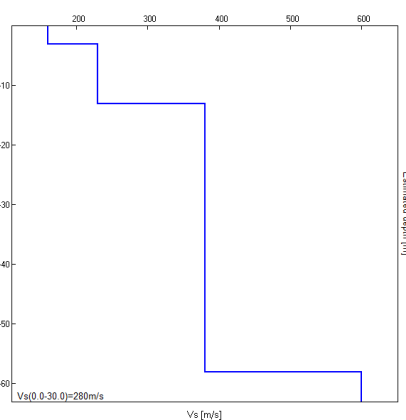
Ubicazione

Misura in array di tipo Re.Mi.

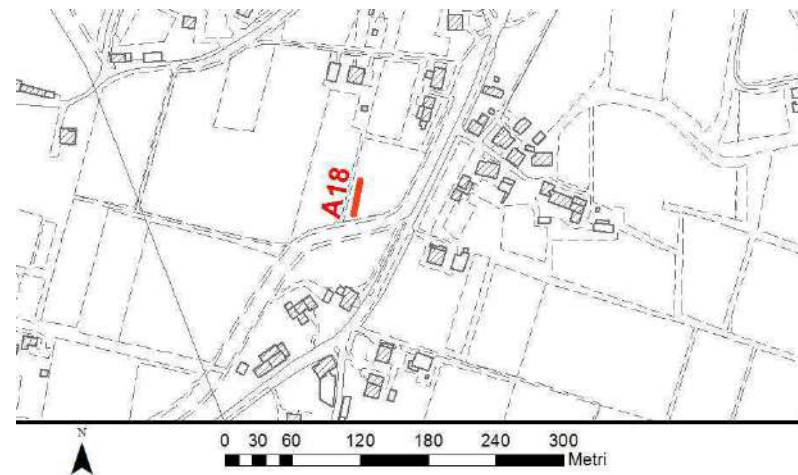
Progressivo	A18
Latitudine WGS84 - 33N (inizio stesa) [°]	5078256
Longitudine WGS84 - 33N (inizio stesa) [°]	298938
Latitudine WGS84 - 33N (fine stesa) [°]	5078286
Longitudine WGS84 - 33N (fine stesa) [°]	298944
Quota p.c. s.l.m. [m]	29
Anno di misura	2017



Modelled rayleigh wave phase velocity



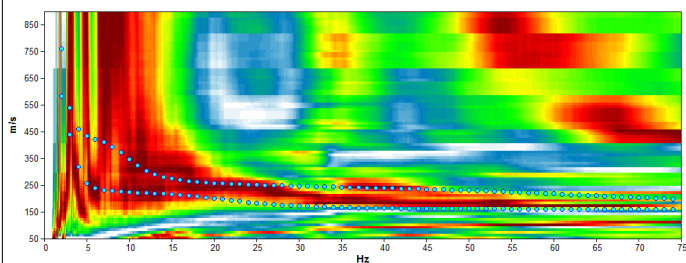
Profilo Vs



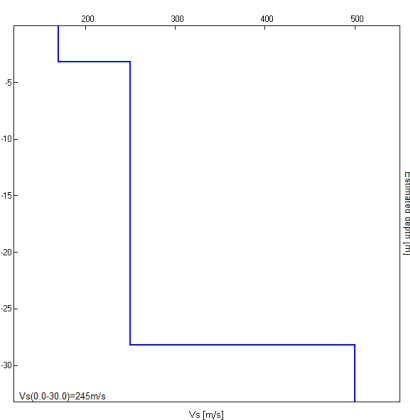
Ubicazione

Misura in array di tipo Re.Mi.

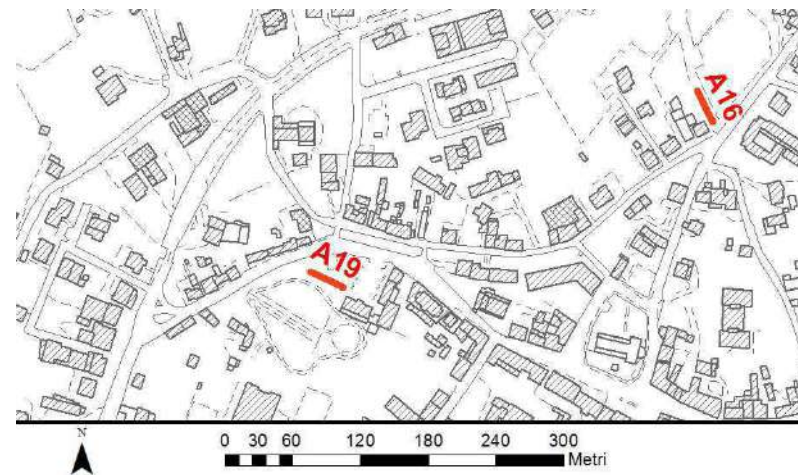
Progressivo	A19
Latitudine WGS84 - 33N (inizio stesa) [°]	5079442
Longitudine WGS84 - 33N (inizio stesa) [°]	296277
Latitudine WGS84 - 33N (fine stesa) [°]	5079457
Longitudine WGS84 - 33N (fine stesa) [°]	296249
Quota p.c. s.l.m. [m]	29
Anno di misura	2017



Modelled rayleigh wave phase velocity



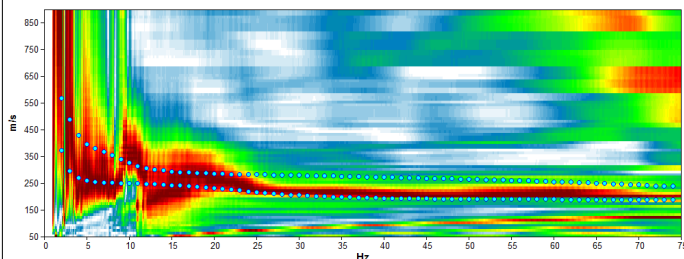
Profilo Vs



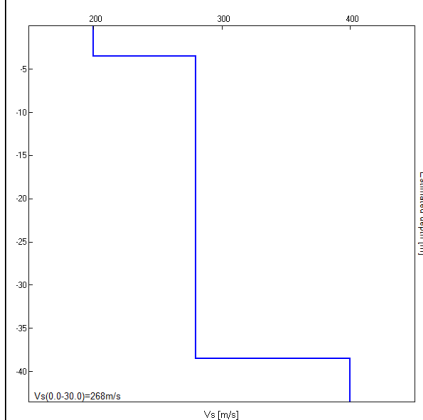
Ubicazione

Misura in array di tipo Re.Mi.

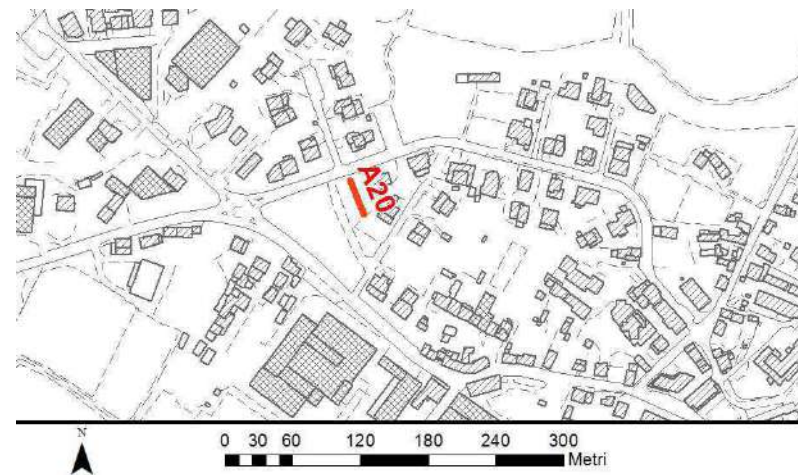
Progressivo	A20
Latitudine WGS84 - 33N (inizio stesa) [°]	5079274
Longitudine WGS84 - 33N (inizio stesa) [°]	298849
Latitudine WGS84 - 33N (fine stesa) [°]	5079245
Longitudine WGS84 - 33N (fine stesa) [°]	298862
Quota p.c. s.l.m. [m]	24
Anno di misura	2017



Modelled rayleigh wave phase velocity



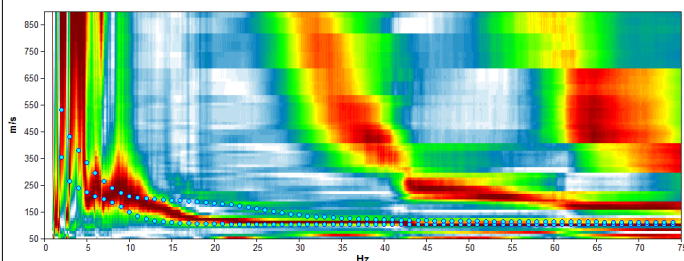
Profilo Vs



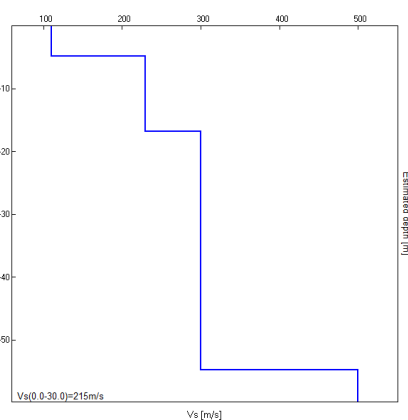
Ubicazione

Misura in array di tipo Re.Mi.

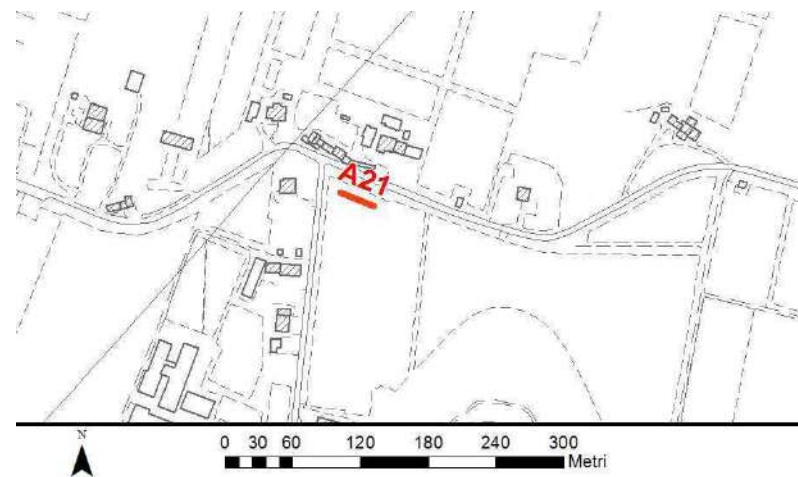
Progressivo	A21
Latitudine WGS84 - 33N (inizio stesa) [°]	5080321
Longitudine WGS84 - 33N (inizio stesa) [°]	299461
Latitudine WGS84 - 33N (fine stesa) [°]	5080309
Longitudine WGS84 - 33N (fine stesa) [°]	299491
Quota p.c. s.l.m. [m]	24
Anno di misura	2017



Modelled rayleigh wave phase velocity



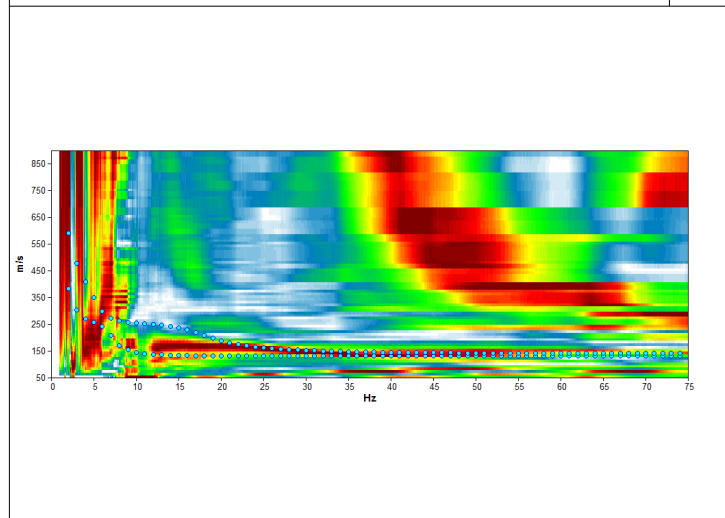
Profilo Vs



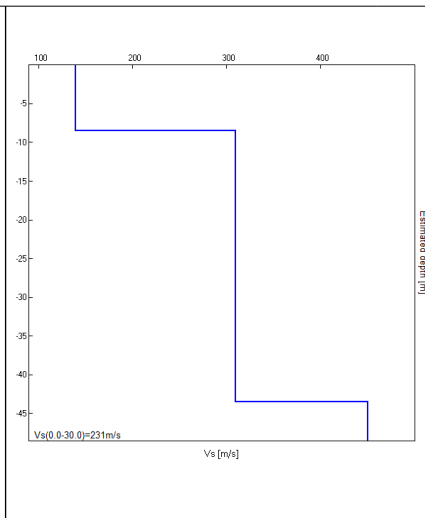
Ubicazione

Misura in array di tipo Re.Mi.

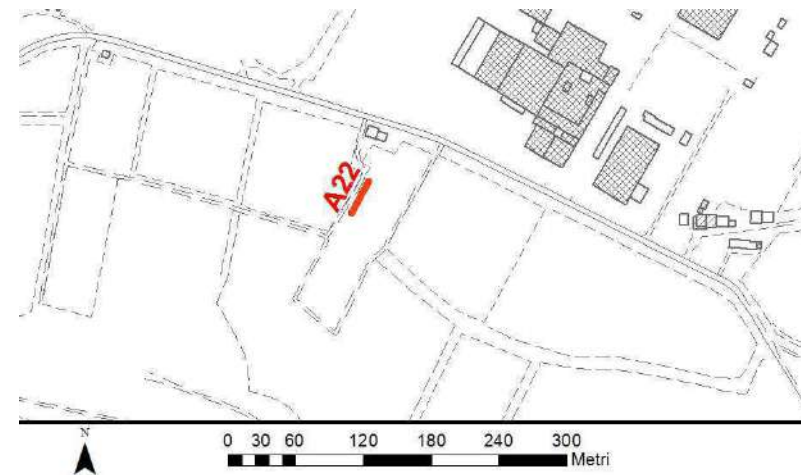
Progressivo	A22
Latitudine WGS84 - 33N (inizio stesa) [°]	5080215
Longitudine WGS84 - 33N (inizio stesa) [°]	300051
Latitudine WGS84 - 33N (fine stesa) [°]	5080187
Longitudine WGS84 - 33N (fine stesa) [°]	300035
Quota p.c. s.l.m. [m]	23
Anno di misura	2017



Modelled rayleigh wave phase velocity

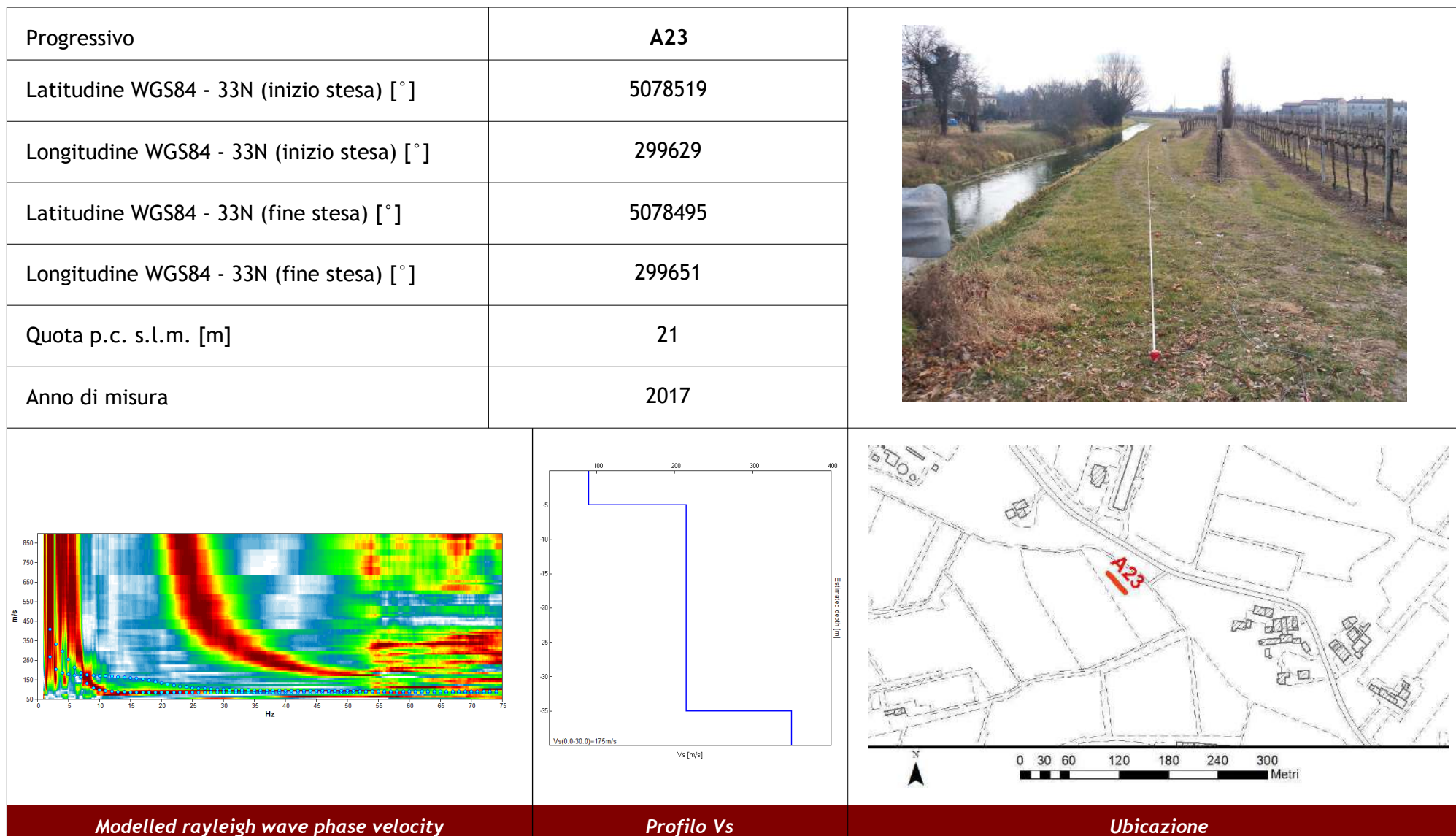


Profilo Vs



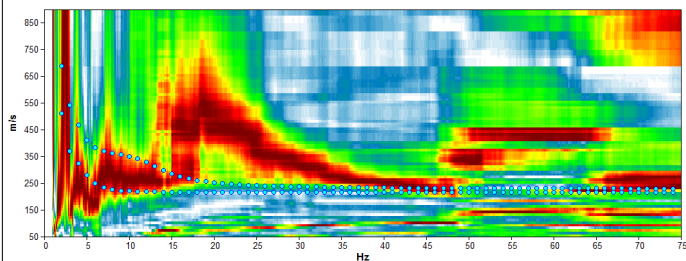
Ubicazione

Misura in array di tipo Re.Mi.

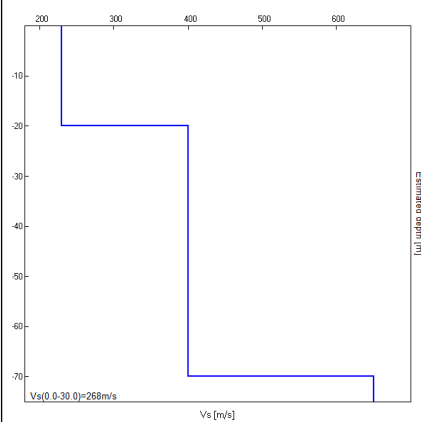


Misura in array di tipo Re.Mi.

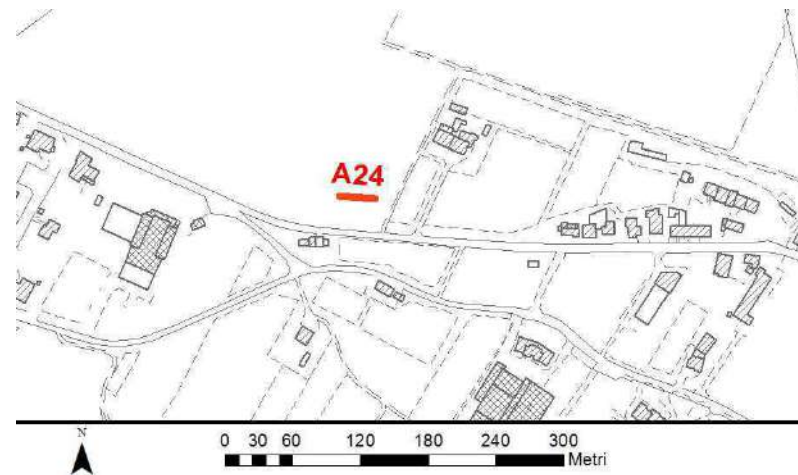
Progressivo	A24
Latitudine WGS84 - 33N (inizio stesa) [°]	5079290
Longitudine WGS84 - 33N (inizio stesa) [°]	297829
Latitudine WGS84 - 33N (fine stesa) [°]	5079292
Longitudine WGS84 - 33N (fine stesa) [°]	297797
Quota p.c. s.l.m. [m]	26
Anno di misura	2017



Modelled rayleigh wave phase velocity


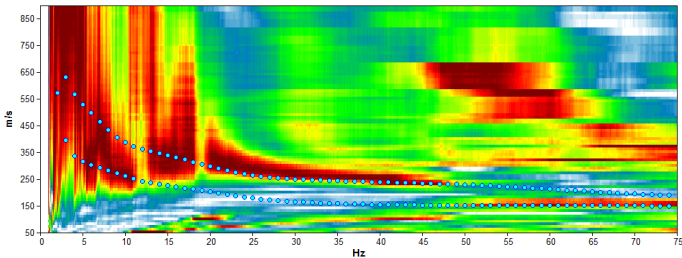
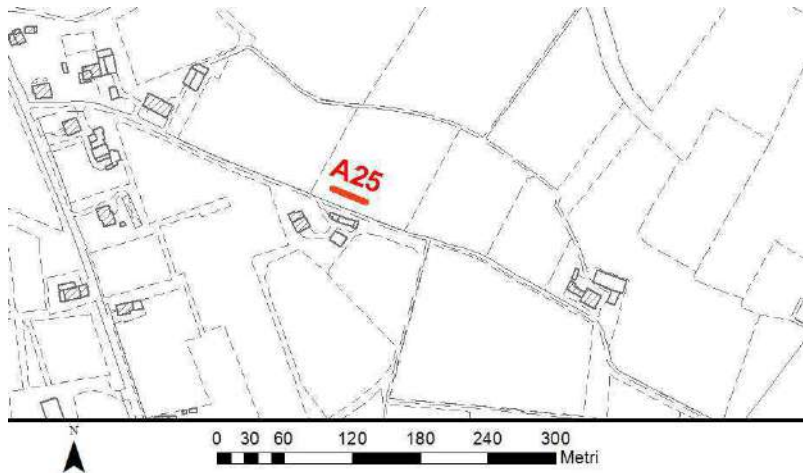
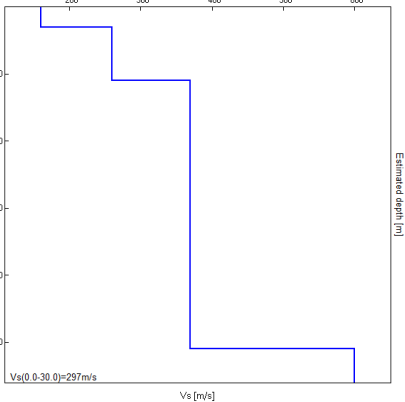


Profilo Vs



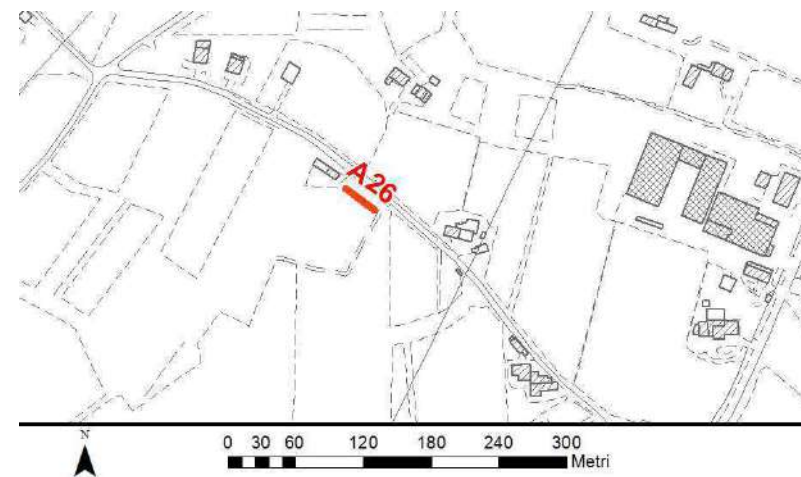
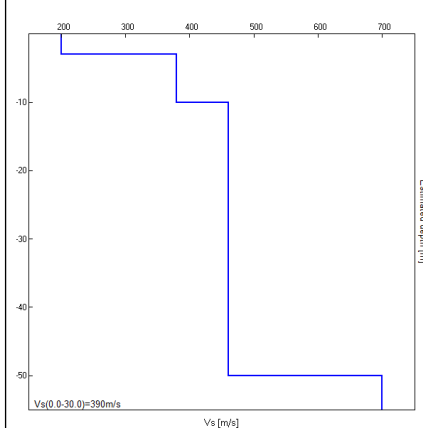
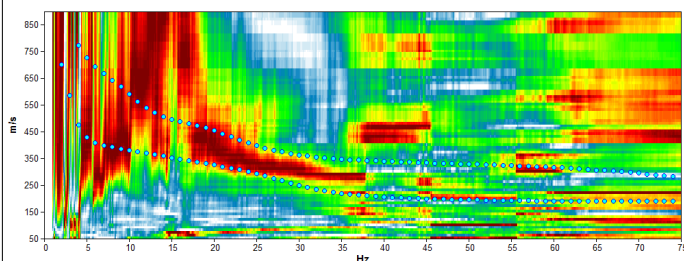
Ubicazione

Misura in array di tipo Re.Mi.

Progressivo	A25	
Latitudine WGS84 - 33N (inizio stesa) [°]	5078669	
Longitudine WGS84 - 33N (inizio stesa) [°]	297423	
Latitudine WGS84 - 33N (fine stesa) [°]	5078657	
Longitudine WGS84 - 33N (fine stesa) [°]	297453	
Quota p.c. s.l.m. [m]	27	
Anno di misura	2017	
		
		
<p><i>Modelled rayleigh wave phase velocity</i></p>		<p><i>Ubicazione</i></p>

Misura in array di tipo Re.Mi.

Progressivo	A26
Latitudine WGS84 - 33N (inizio stesa) [°]	5078342
Longitudine WGS84 - 33N (inizio stesa) [°]	295179
Latitudine WGS84 - 33N (fine stesa) [°]	5078361
Longitudine WGS84 - 33N (fine stesa) [°]	295153
Quota p.c. s.l.m. [m]	35
Anno di misura	2017

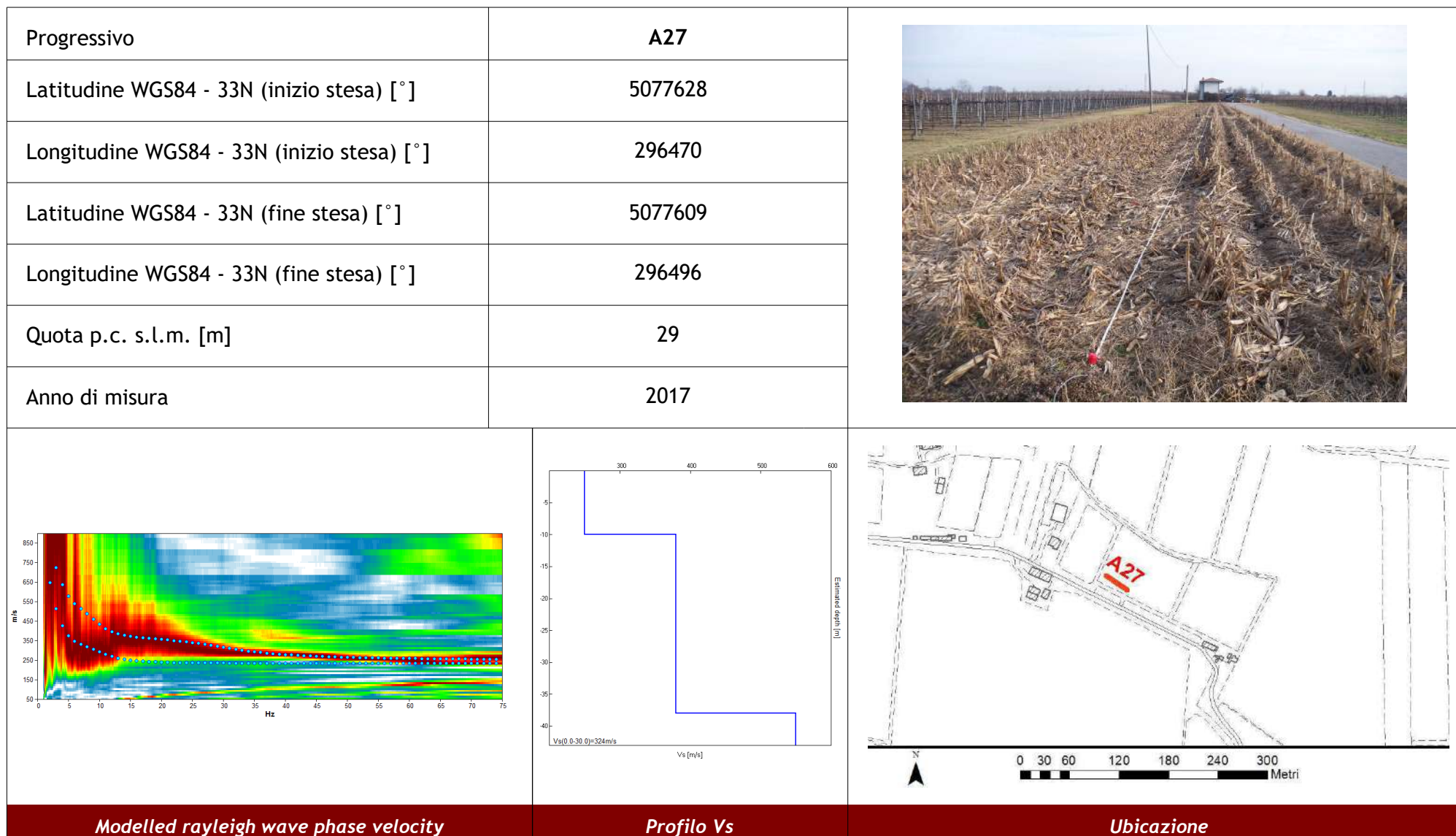


Modelled rayleigh wave phase velocity

Profilo Vs

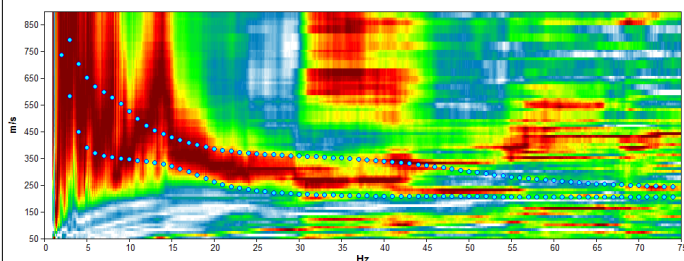
Ubicazione

Misura in array di tipo Re.Mi.

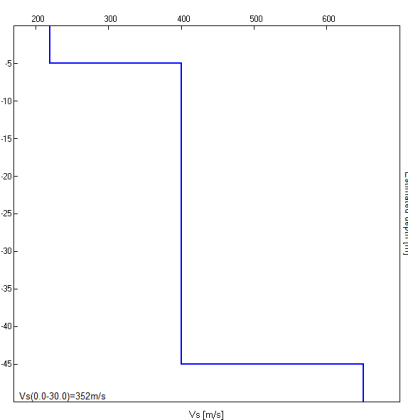


Misura in array di tipo Re.Mi.

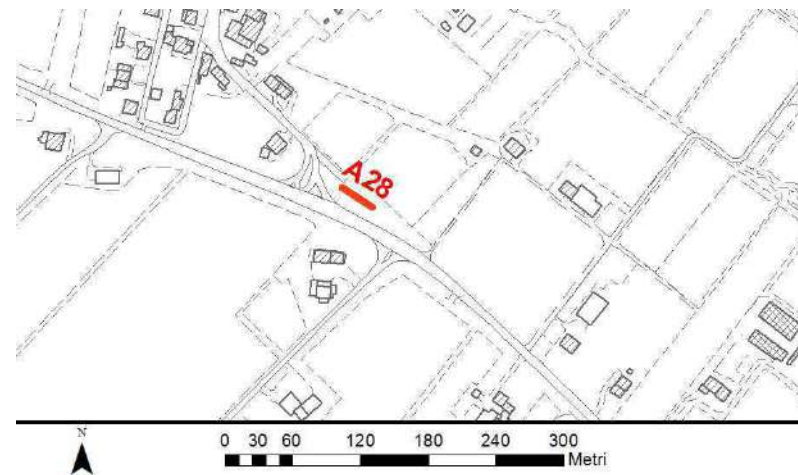
Progressivo	A28
Latitudine WGS84 - 33N (inizio stesa) [°]	5076302
Longitudine WGS84 - 33N (inizio stesa) [°]	294824
Latitudine WGS84 - 33N (fine stesa) [°]	5076285
Longitudine WGS84 - 33N (fine stesa) [°]	294851
Quota p.c. s.l.m. [m]	35
Anno di misura	2017



Modelled rayleigh wave phase velocity



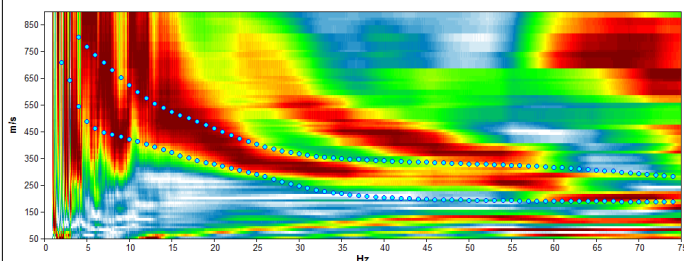
Profilo Vs



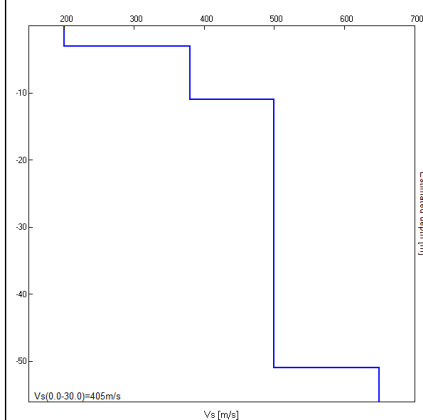
Ubicazione

Misura in array di tipo Re.Mi.

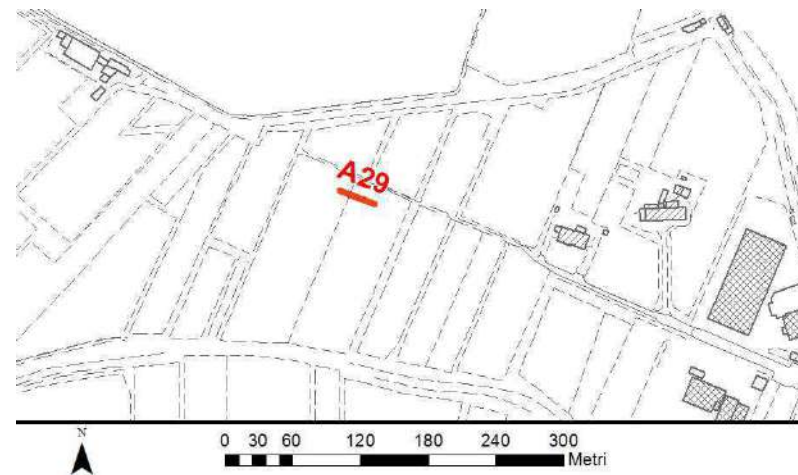
Progressivo	A29
Latitudine WGS84 - 33N (inizio stesa) [°]	5075897
Longitudine WGS84 - 33N (inizio stesa) [°]	293181
Latitudine WGS84 - 33N (fine stesa) [°]	5075885
Longitudine WGS84 - 33N (fine stesa) [°]	293211
Quota p.c. s.l.m. [m]	40
Anno di misura	2017



Modelled rayleigh wave phase velocity



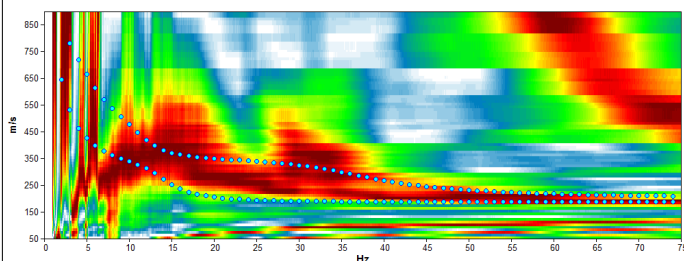
Profilo Vs



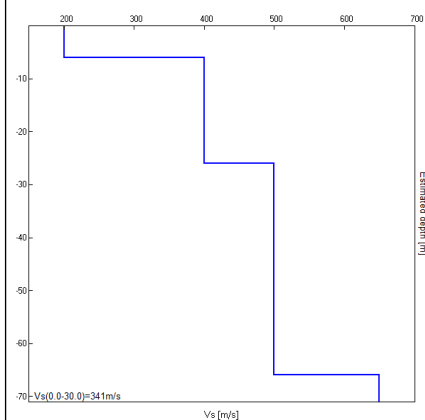
Ubicazione

Misura in array di tipo Re.Mi.

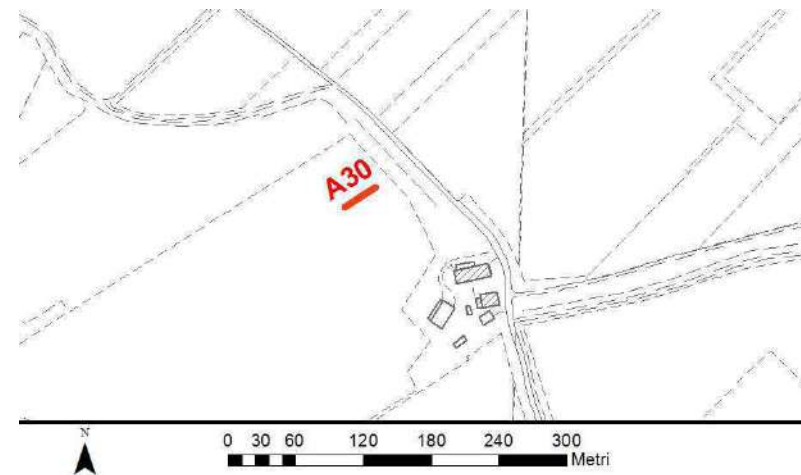
Progressivo	A30
Latitudine WGS84 - 33N (inizio stesa) [°]	5075795
Longitudine WGS84 - 33N (inizio stesa) [°]	292586
Latitudine WGS84 - 33N (fine stesa) [°]	5075778
Longitudine WGS84 - 33N (fine stesa) [°]	292559
Quota p.c. s.l.m. [m]	42
Anno di misura	2017



Modelled rayleigh wave phase velocity



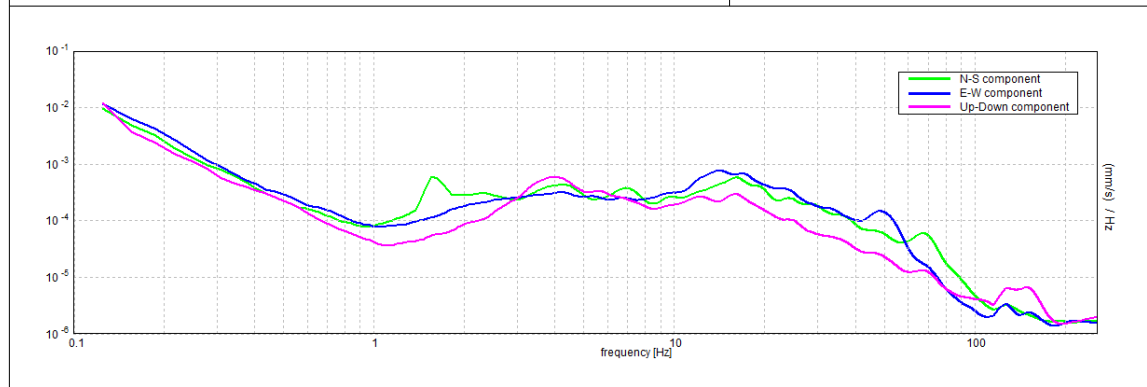
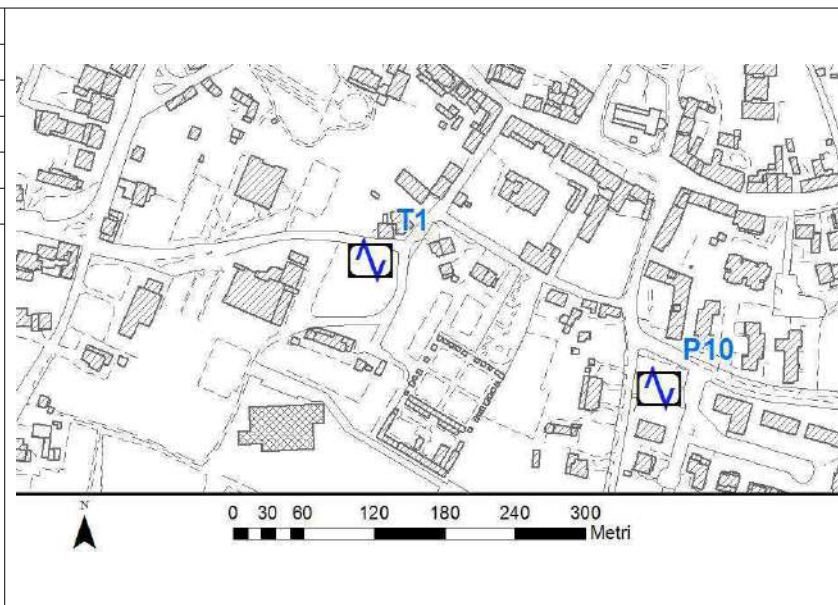
Profilo Vs



Ubicazione

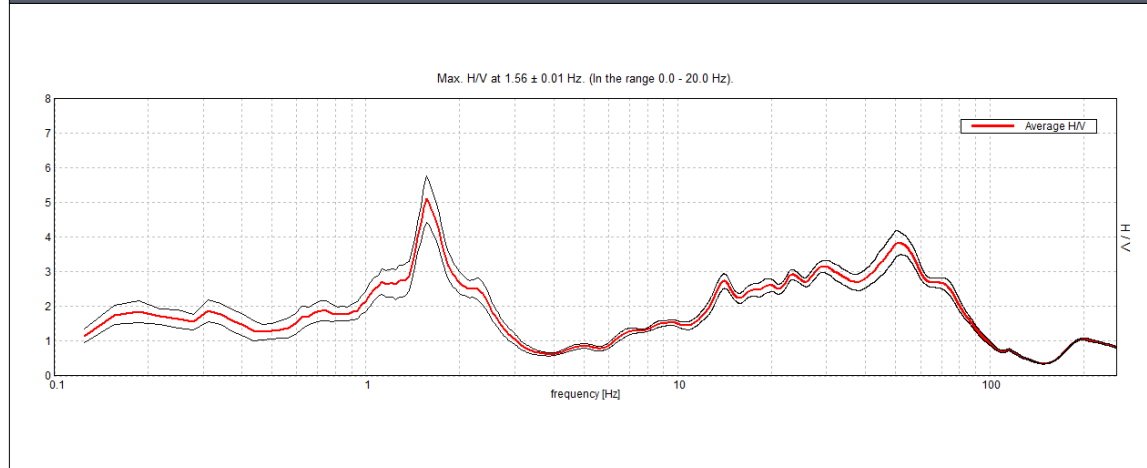
Misura sismica H.V.S.R.

Progressivo	T1	
Latitudine e Longitudine WGS84 - 33N [°]	5079269	296294
Quota p.c. s.l.m. [m]	32	
Frequenza di risonanza caratteristica tra 0,1 e 20,0 Hz [Hz]	1.6	
Condizione di amplificazione tra 0,1 e 20,0 Hz	SI	
Presenza di artefatti	SI	



Andamento delle tre componenti del moto sismico

Ubicazione

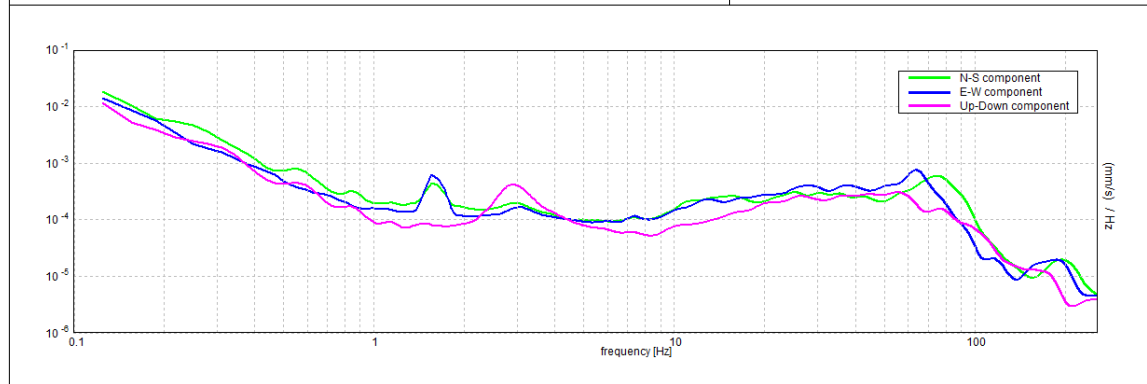
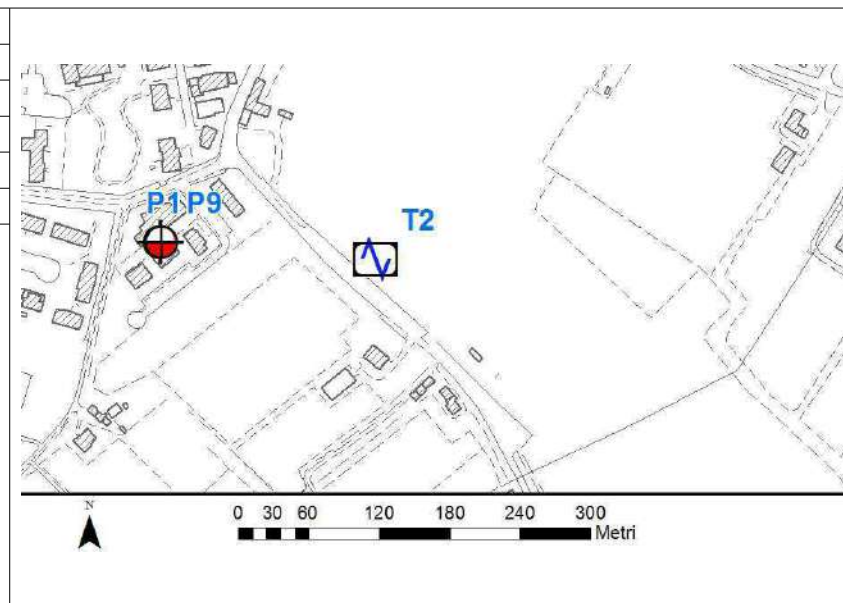


Andamento della curva H/V

Foto

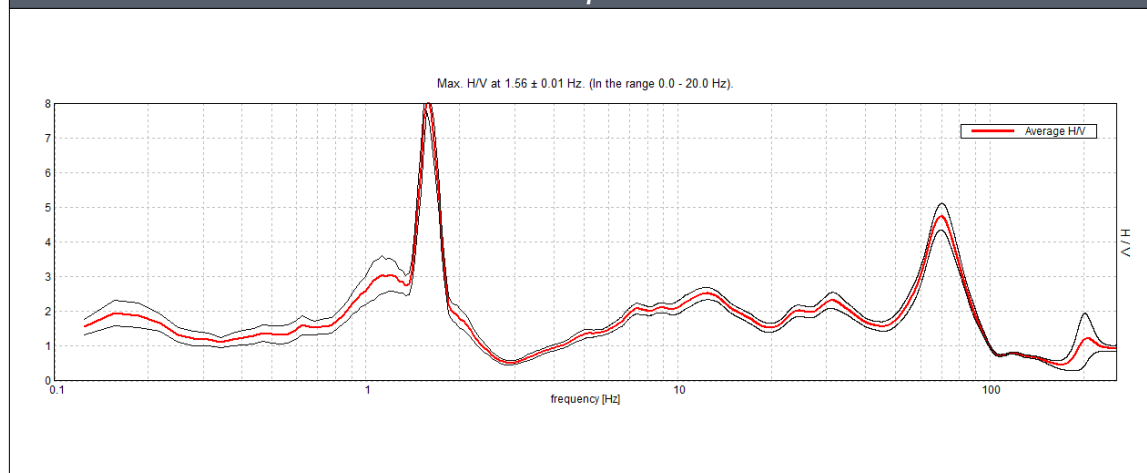
Misura sismica H.V.S.R.

Progressivo	T2	
Latitudine e Longitudine WGS84 - 33N [°]	5079098	296941
Quota p.c. s.l.m. [m]	27	
Frequenza di risonanza caratteristica tra 0,1 e 20,0 Hz [Hz]	1.3	
Condizione di amplificazione tra 0,1 e 20,0 Hz	SI	
Presenza di artefatti	SI	



Andamento delle tre componenti del moto sismico

Ubicazione



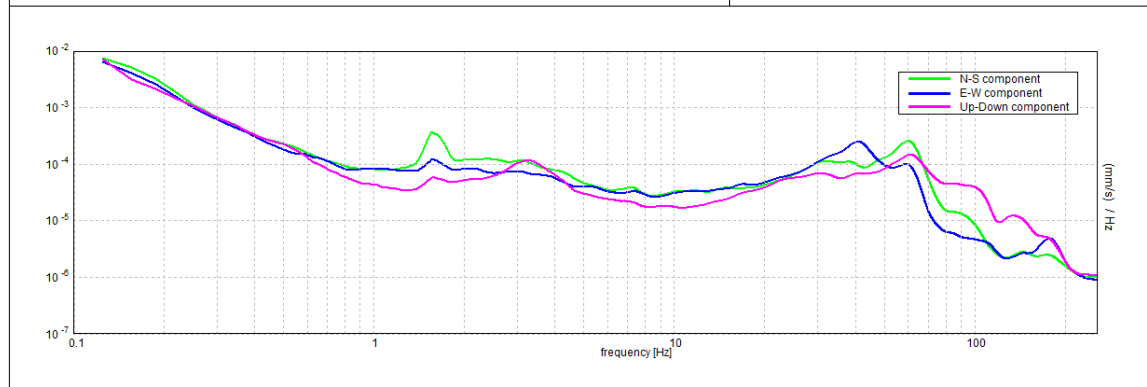
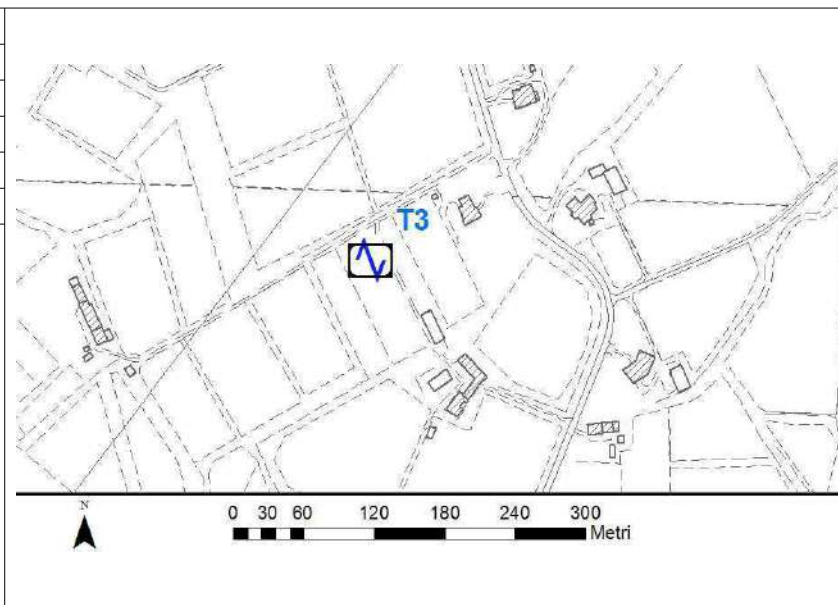
Andamento della curva H/V



Foto

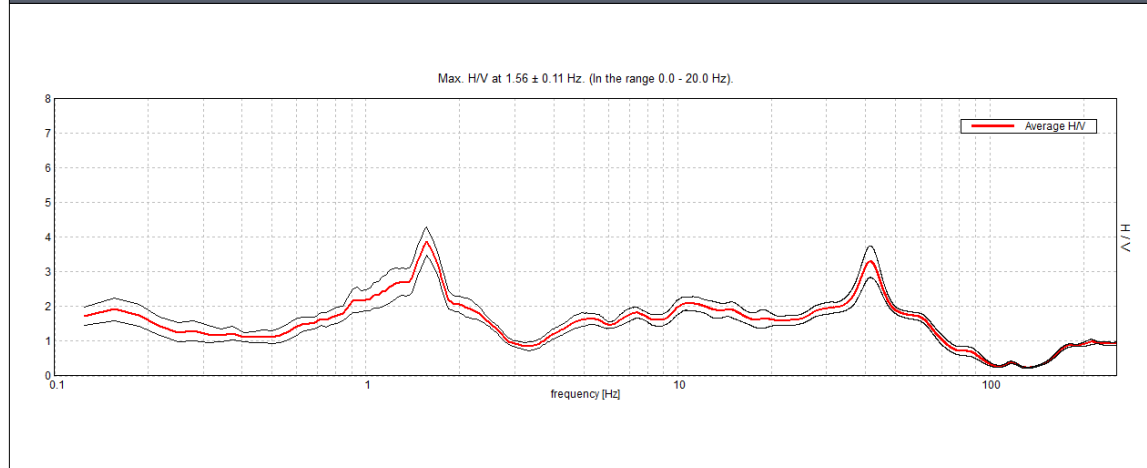
Misura sismica H.V.S.R.

Progressivo	T3	
Latitudine e Longitudine WGS84 - 33N [°]	5077760	297360
Quota p.c. s.l.m. [m]	27	
Frequenza di risonanza caratteristica tra 0,1 e 20,0 Hz [Hz]	1.5	
Condizione di amplificazione tra 0,1 e 20,0 Hz	SI	
Presenza di artefatti	SI	



Andamento delle tre componenti del moto sismico

Ubicazione

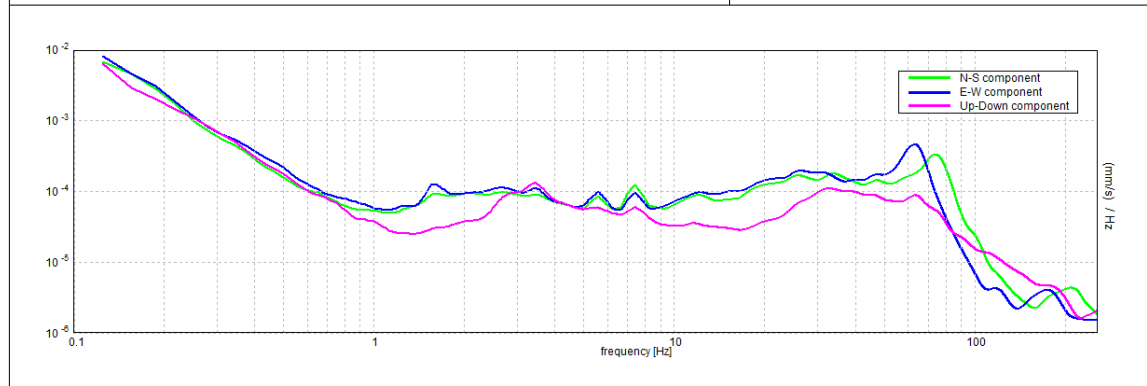
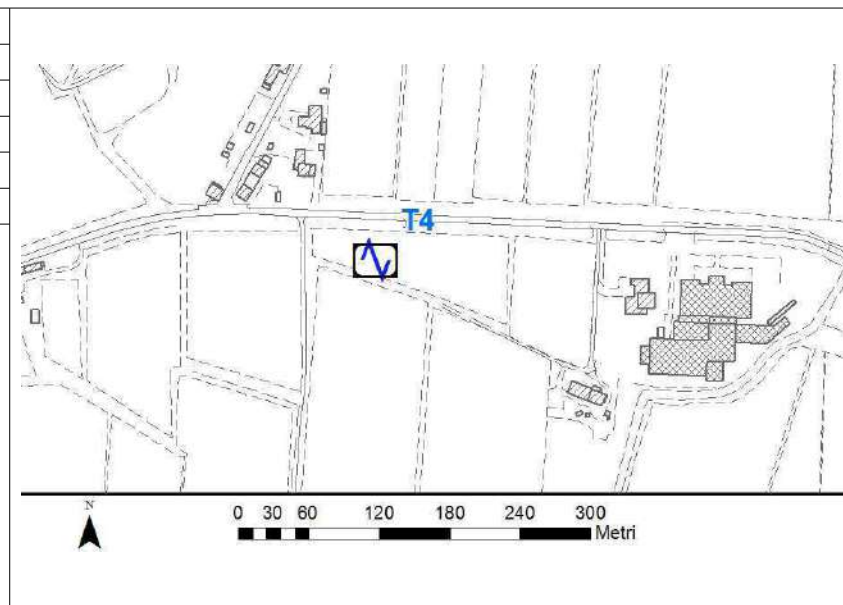


Andamento della curva H/V

Foto

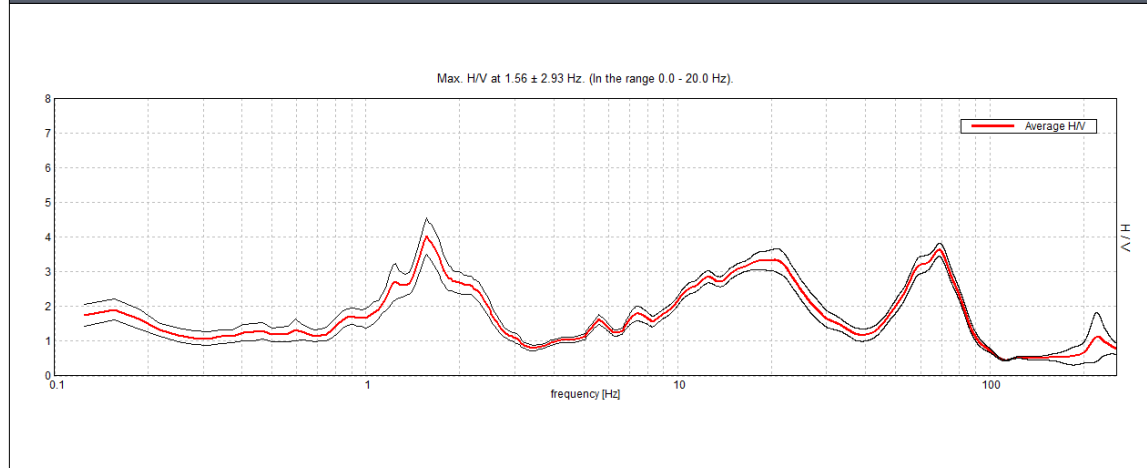
Misura sismica H.V.S.R.

Progressivo	T4	
Latitudine e Longitudine WGS84 - 33N [°]	5077188	295617
Quota p.c. s.l.m. [m]	33	
Frequenza di risonanza caratteristica tra 0,1 e 20,0 Hz [Hz]	1.5	
Condizione di amplificazione tra 0,1 e 20,0 Hz	SI	
Presenza di artefatti	SI	



Andamento delle tre componenti del moto sismico

Ubicazione

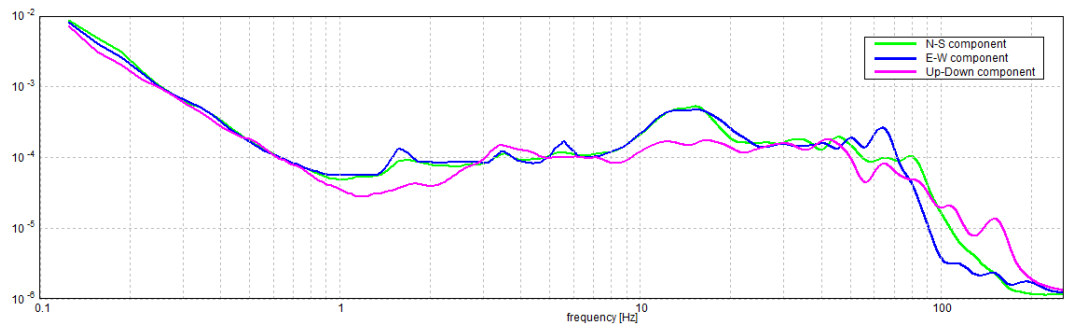
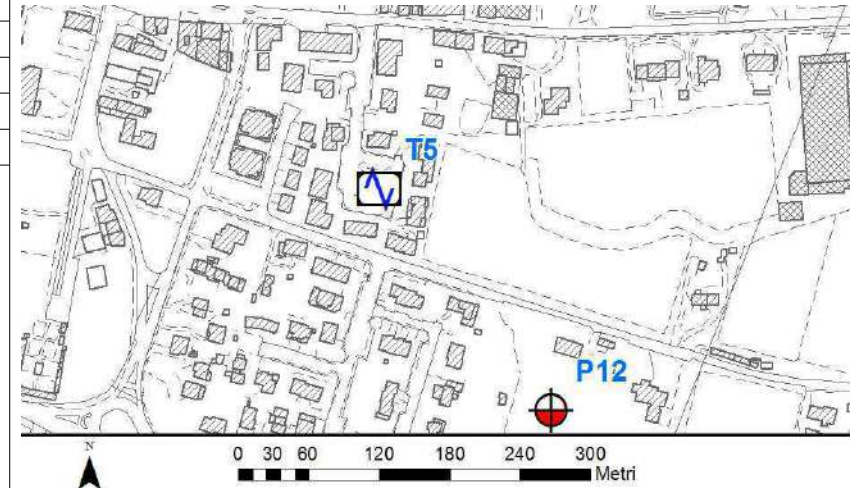


Andamento della curva H/V

Foto

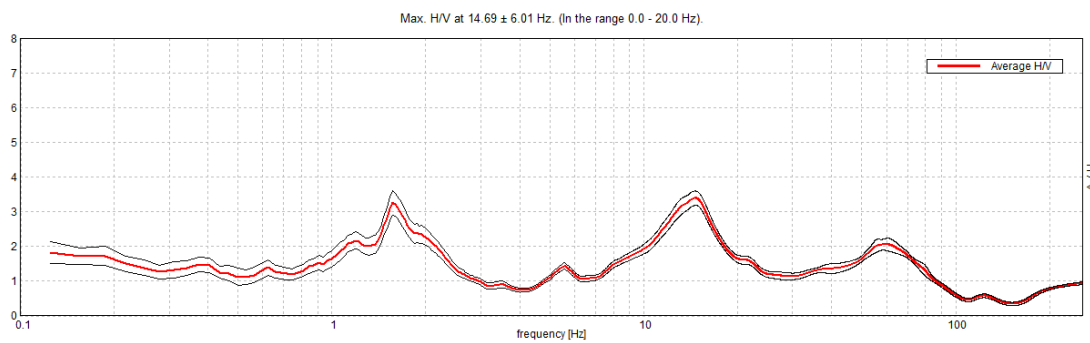
Misura sismica H.V.S.R.

Progressivo	T5	
Latitudine e Longitudine WGS84 - 33N [°]	5076827	294241
Quota p.c. s.l.m. [m]	40	
Frequenza di risonanza caratteristica tra 0,1 e 20,0 Hz [Hz]	1.5	
Condizione di amplificazione tra 0,1 e 20,0 Hz	SI	
Presenza di artefatti	SI	



Andamento delle tre componenti del moto sismico

Ubicazione



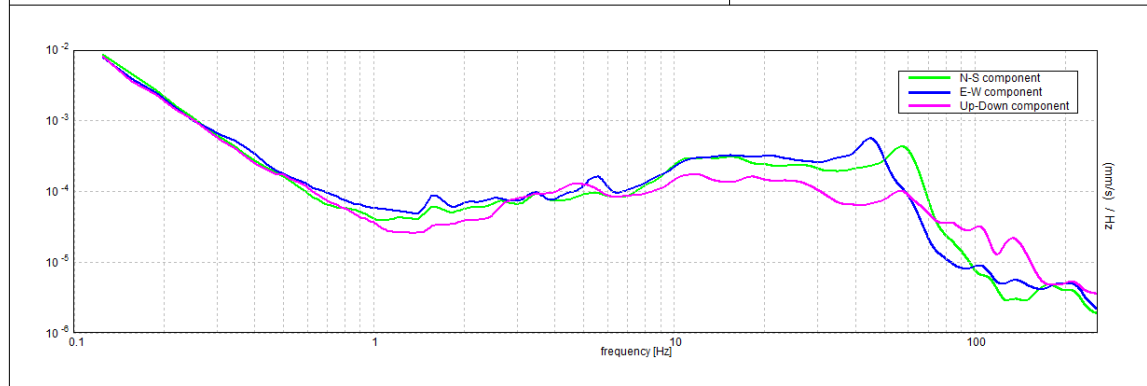
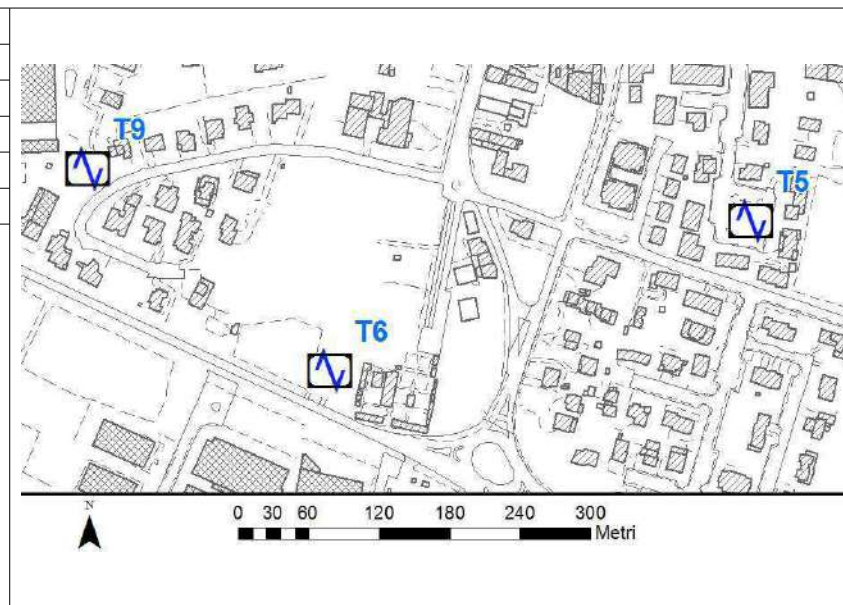
Andamento della curva H/V



Foto

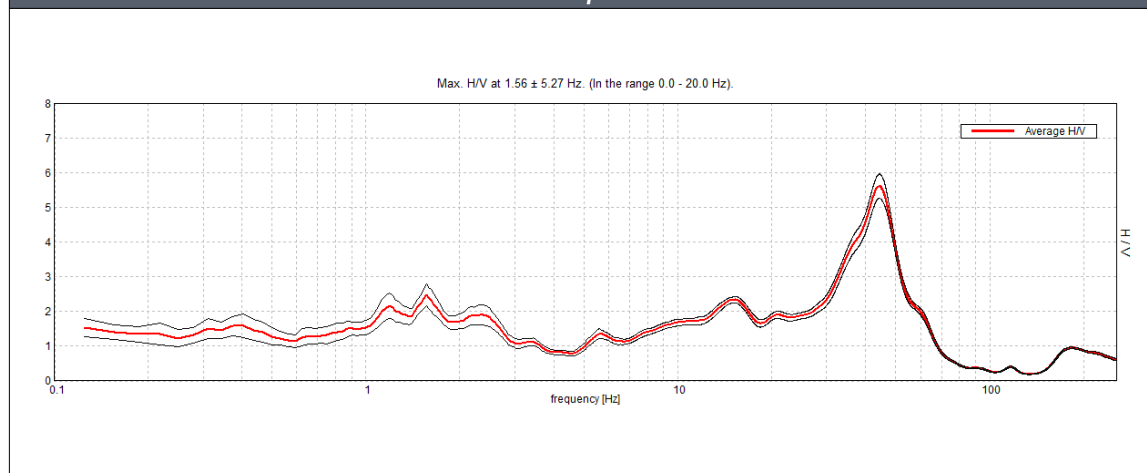
Misura sismica H.V.S.R.

Progressivo	T6	
Latitudine e Longitudine WGS84 - 33N [°]	5076700	293882
Quota p.c. s.l.m. [m]	38	
Frequenza di risonanza caratteristica tra 0,1 e 20,0 Hz [Hz]	1.6	
Condizione di amplificazione tra 0,1 e 20,0 Hz	SI	
Presenza di artefatti	SI	



Andamento delle tre componenti del moto sismico

Ubicazione



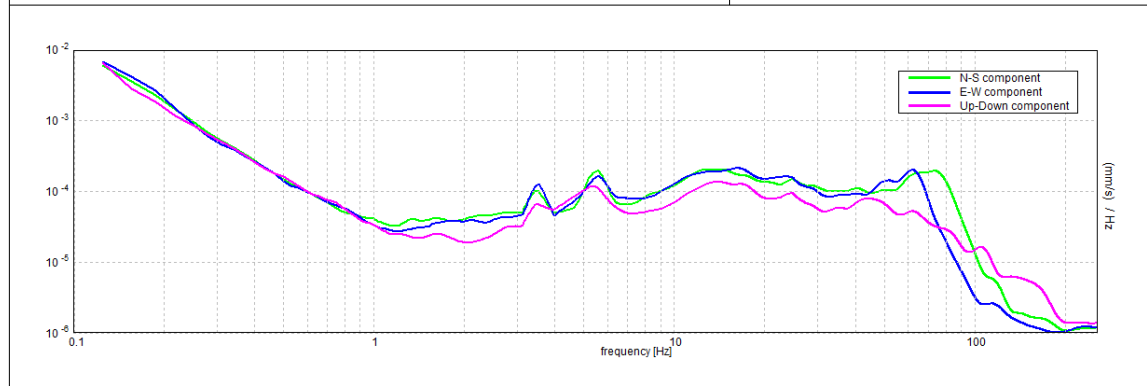
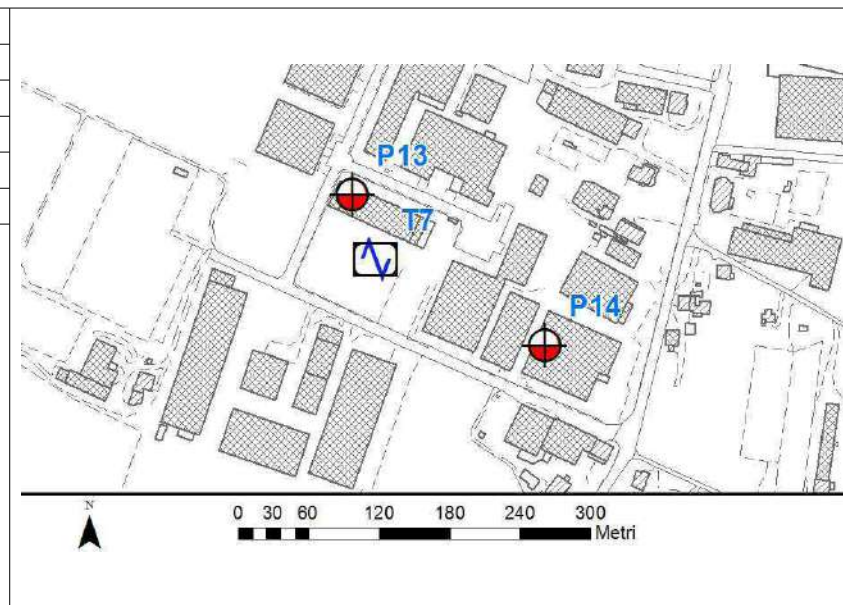
Andamento della curva H/V



Foto

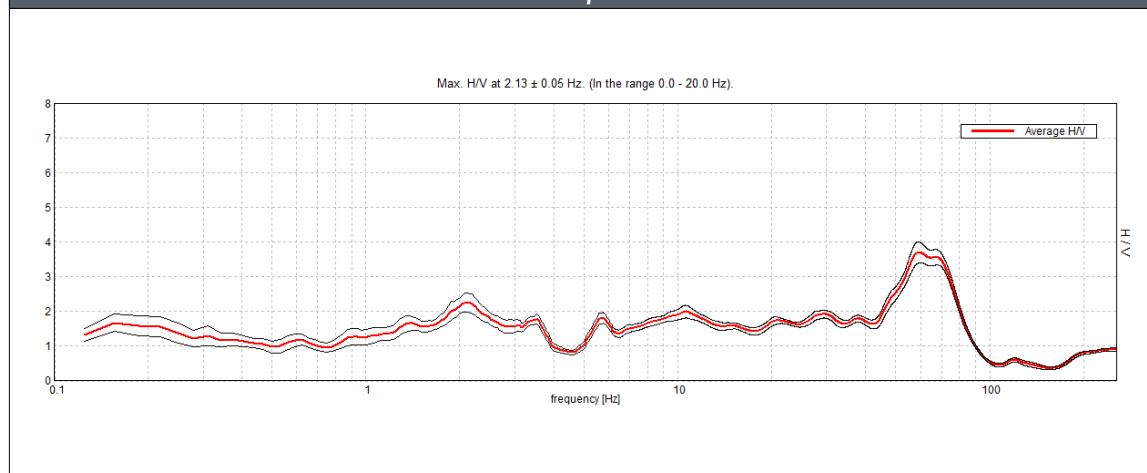
Misura sismica H.V.S.R.

Progressivo	T7	
Latitudine e Longitudine WGS84 - 33N [°]	5076324	293689
Quota p.c. s.l.m. [m]	39	
Frequenza di risonanza caratteristica tra 0,1 e 20,0 Hz [Hz]	2.13	
Condizione di amplificazione tra 0,1 e 20,0 Hz	SI	
Presenza di artefatti	SI	



Andamento delle tre componenti del moto sismico

Ubicazione



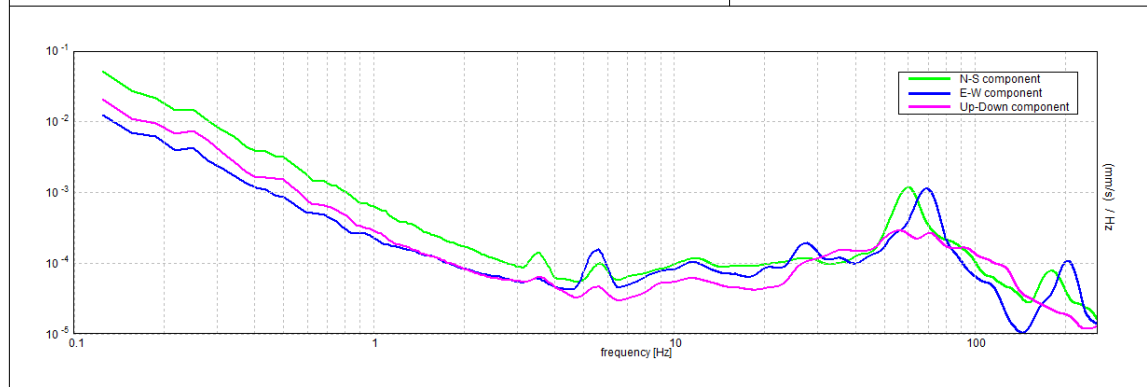
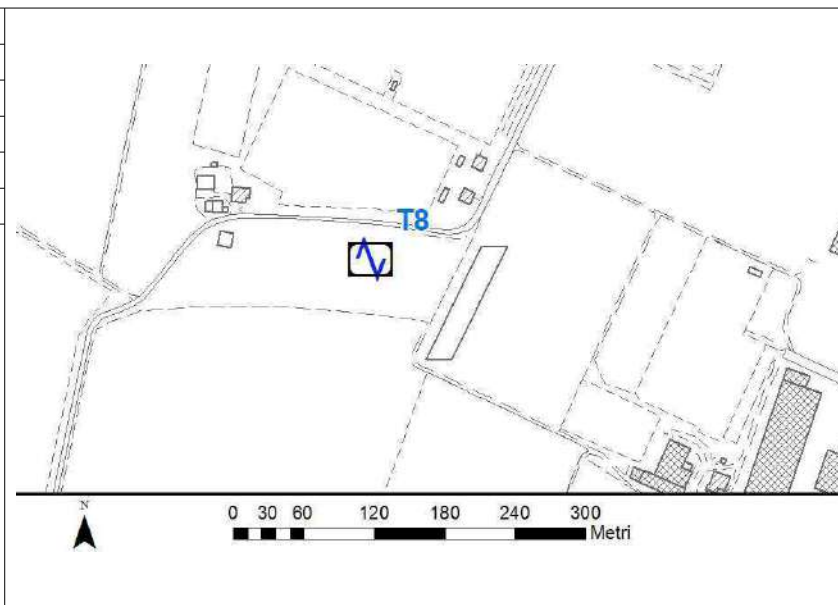
Andamento della curva H/V



Foto

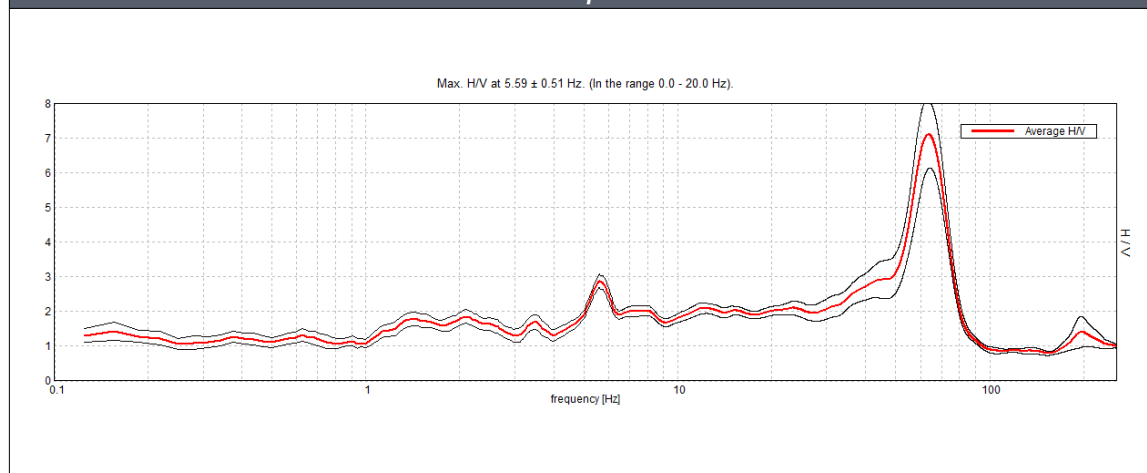
Misura sismica H.V.S.R.

Progressivo	T8	
Latitudine e Longitudine WGS84 - 33N [°]	5076409	293195
Quota p.c. s.l.m. [m]	40	
Frequenza di risonanza caratteristica tra 0,1 e 20,0 Hz [Hz]	-	
Condizione di amplificazione tra 0,1 e 20,0 Hz	-	
Presenza di artefatti	-	



Andamento delle tre componenti del moto sismico

Ubicazione



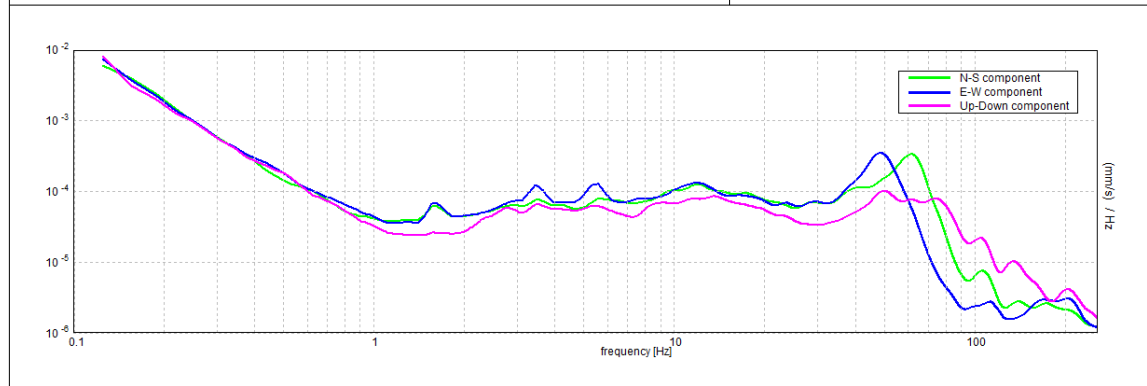
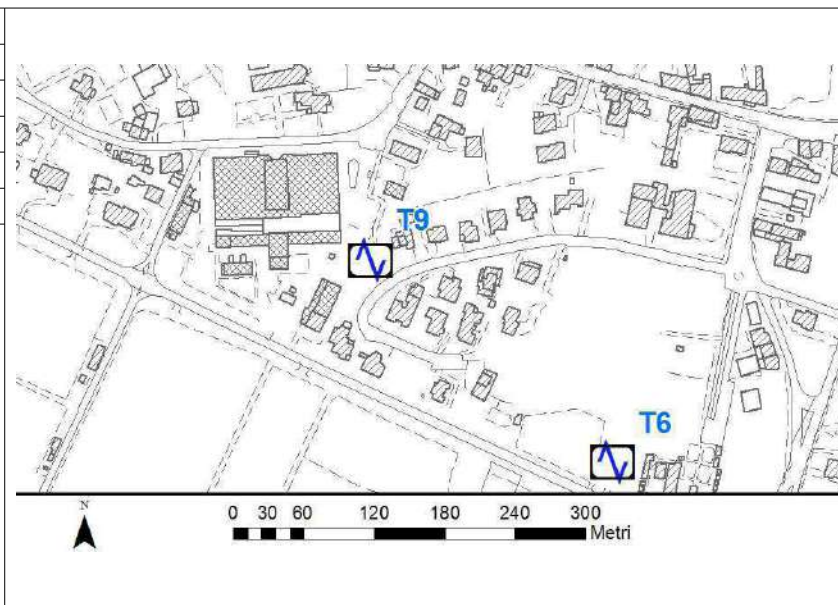
Andamento della curva H/V



Foto

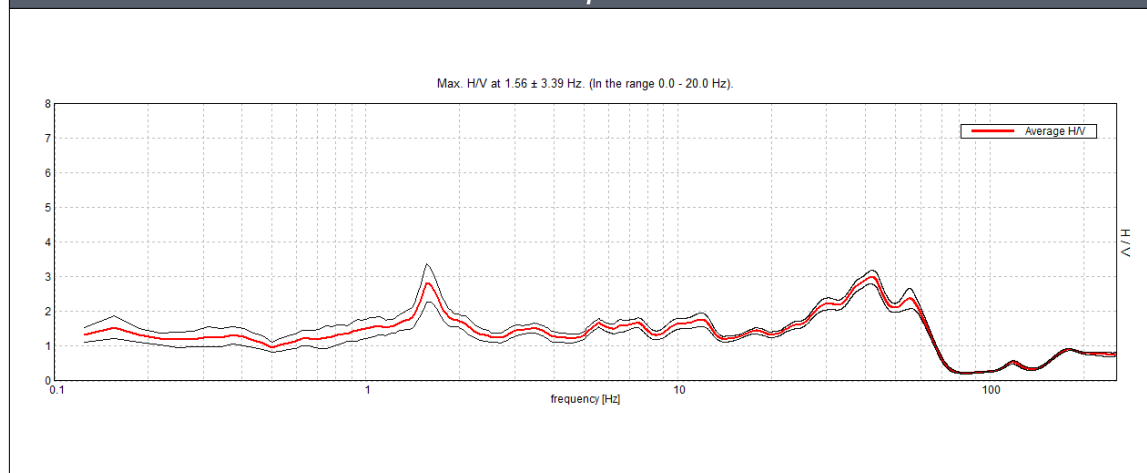
Misura sismica H.V.S.R.

Progressivo	T9	
Latitudine e Longitudine WGS84 - 33N [°]	5076872	293676
Quota p.c. s.l.m. [m]	41	
Frequenza di risonanza caratteristica tra 0,1 e 20,0 Hz [Hz]	1.6	
Condizione di amplificazione tra 0,1 e 20,0 Hz	SI	
Presenza di artefatti	SI	



Andamento delle tre componenti del moto sismico

Ubicazione



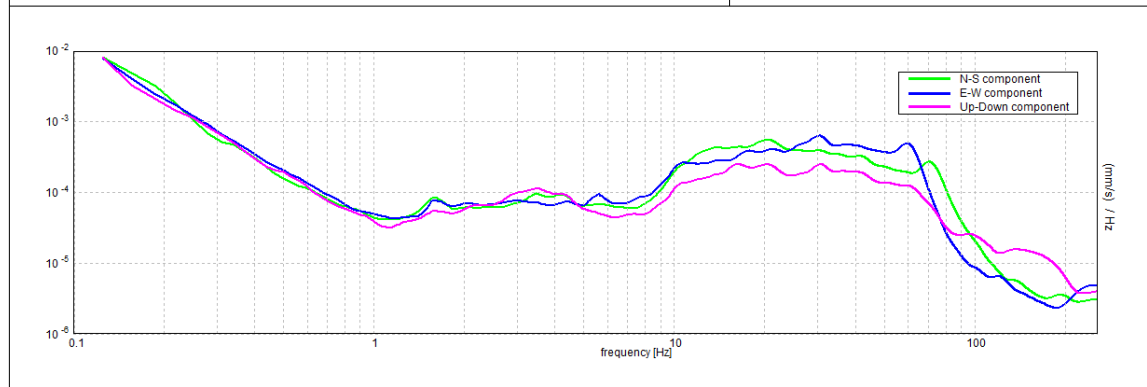
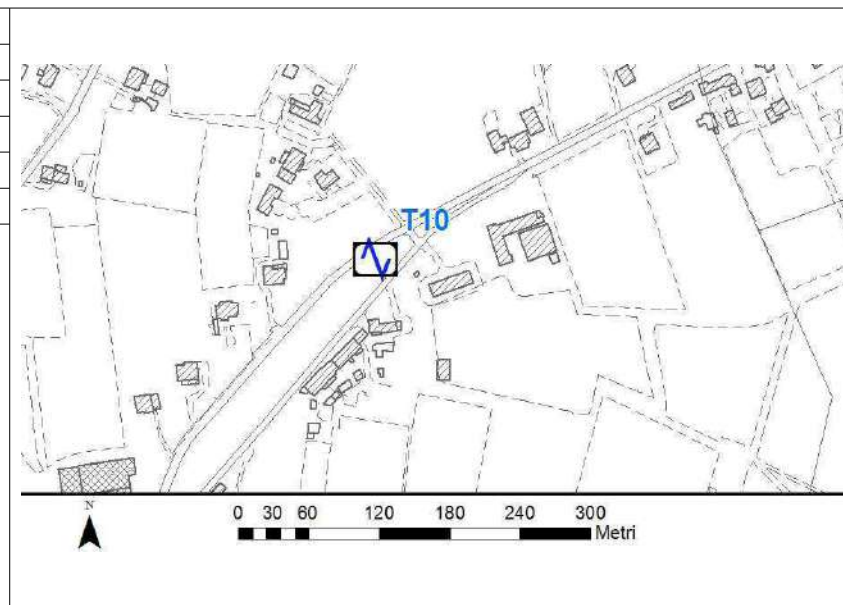
Andamento della curva H/V



Foto

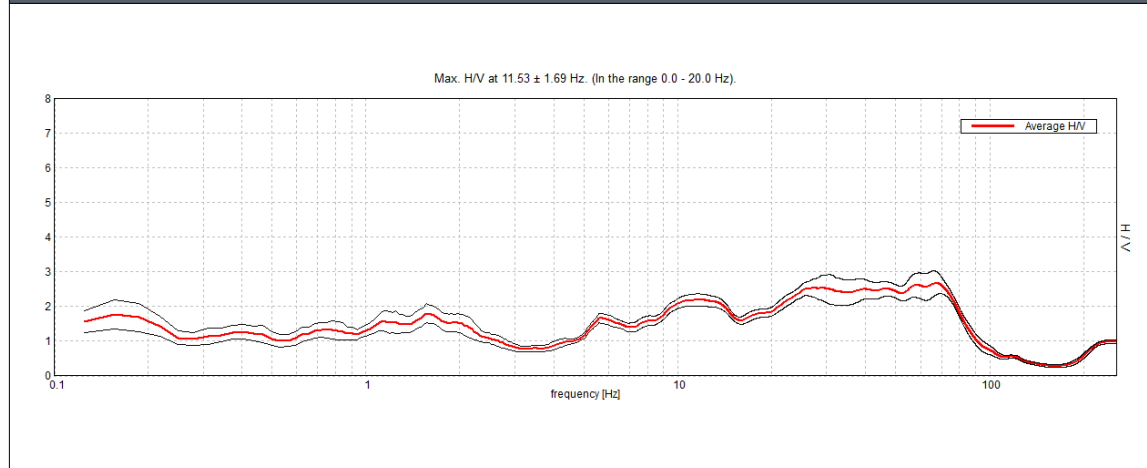
Misura sismica H.V.S.R.

Progressivo	T10	
Latitudine e Longitudine WGS84 - 33N [°]	5077343	294295
Quota p.c. s.l.m. [m]	37	
Frequenza di risonanza caratteristica tra 0,1 e 20,0 Hz [Hz]	1.9	
Condizione di amplificazione tra 0,1 e 20,0 Hz	SI	
Presenza di artefatti	SI	



Andamento delle tre componenti del moto sismico

Ubicazione

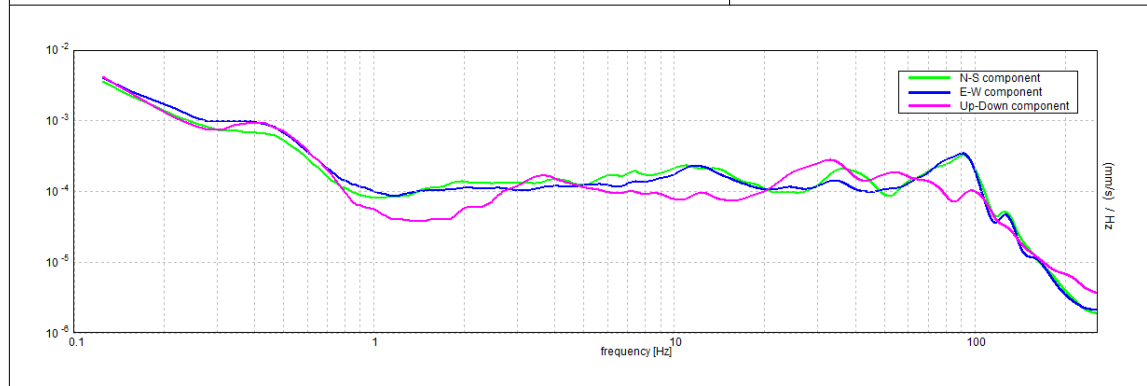
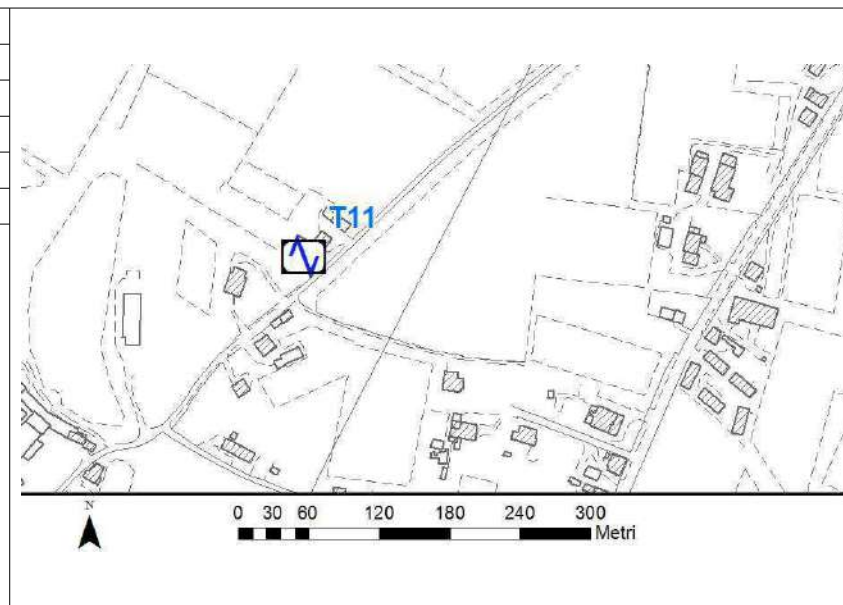


Andamento della curva H/V

Foto

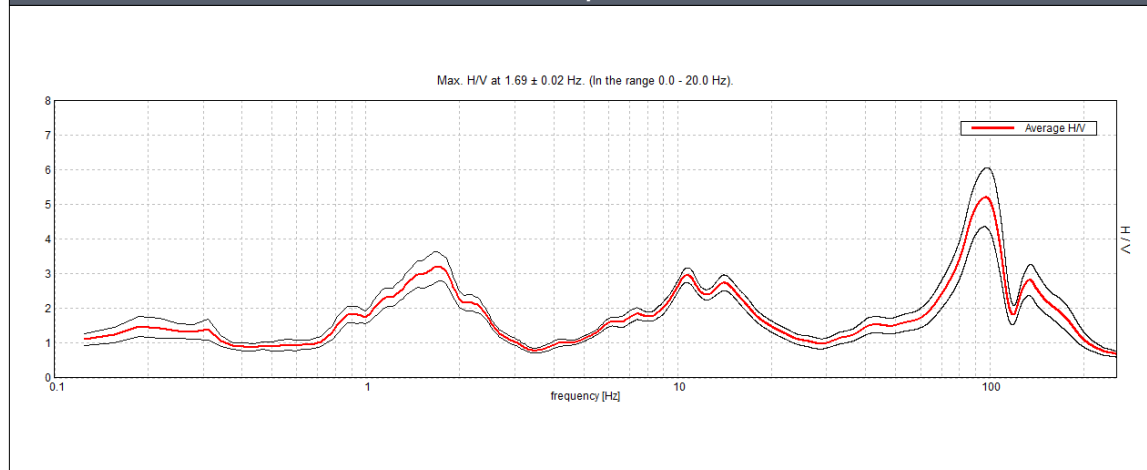
Misura sismica H.V.S.R.

Progressivo	T11	
Latitudine e Longitudine WGS84 - 33N [°]	5078848	295430
Quota p.c. s.l.m. [m]	35	
Frequenza di risonanza caratteristica tra 0,1 e 20,0 Hz [Hz]		
Condizione di amplificazione tra 0,1 e 20,0 Hz	SI	
Presenza di artefatti	SI	



Andamento delle tre componenti del moto sismico

Ubicazione



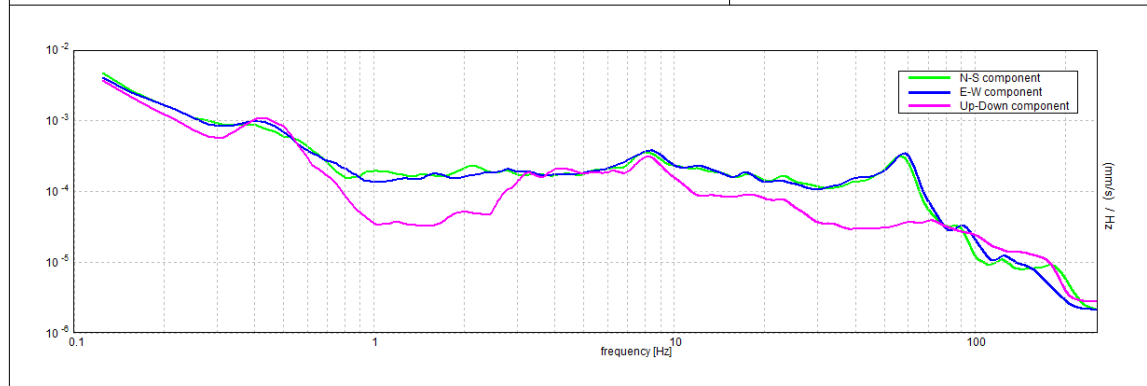
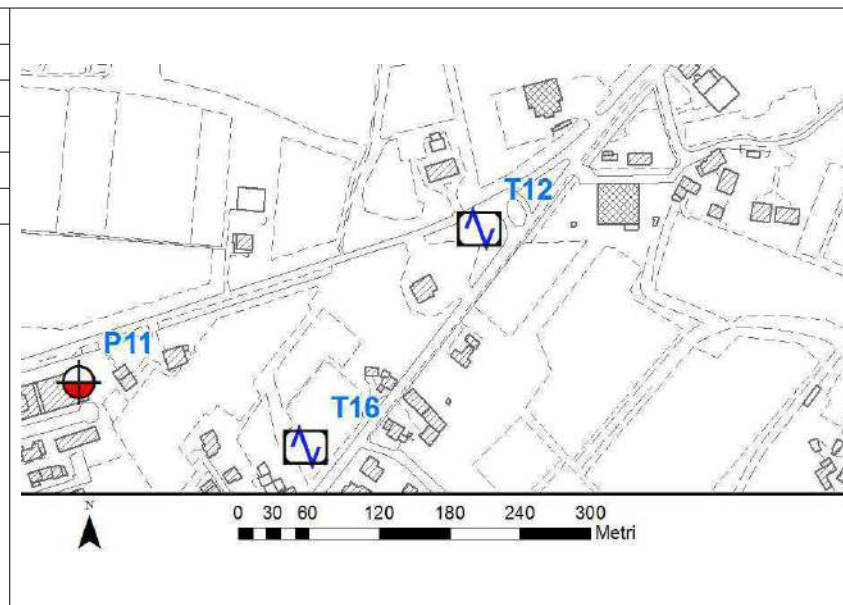
Andamento della curva H/V



Foto

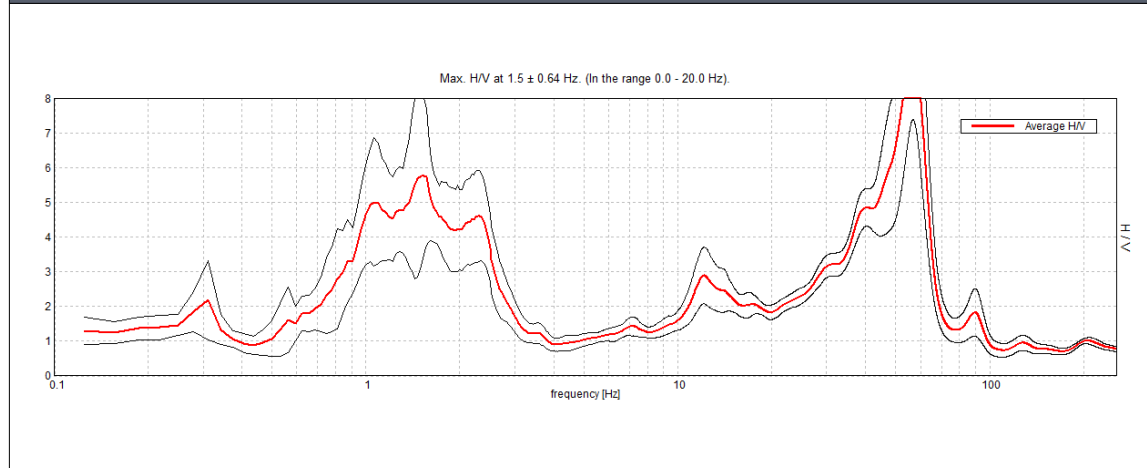
Misura sismica H.V.S.R.

Progressivo	T12	
Latitudine e Longitudine WGS84 - 33N [°]	5079810	296756
Quota p.c. s.l.m. [m]	29	
Frequenza di risonanza caratteristica tra 0,1 e 20,0 Hz [Hz]	1.5	
Condizione di amplificazione tra 0,1 e 20,0 Hz	Si	
Presenza di artefatti	si	



Andamento delle tre componenti del moto sismico

Ubicazione



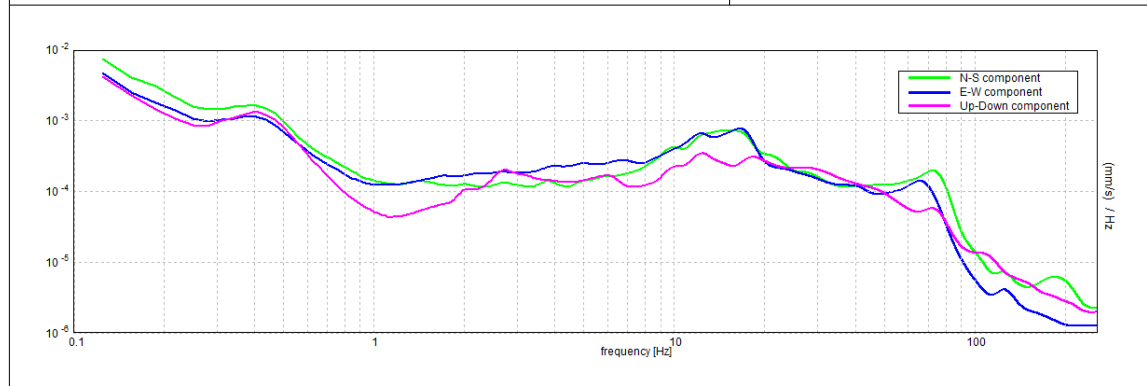
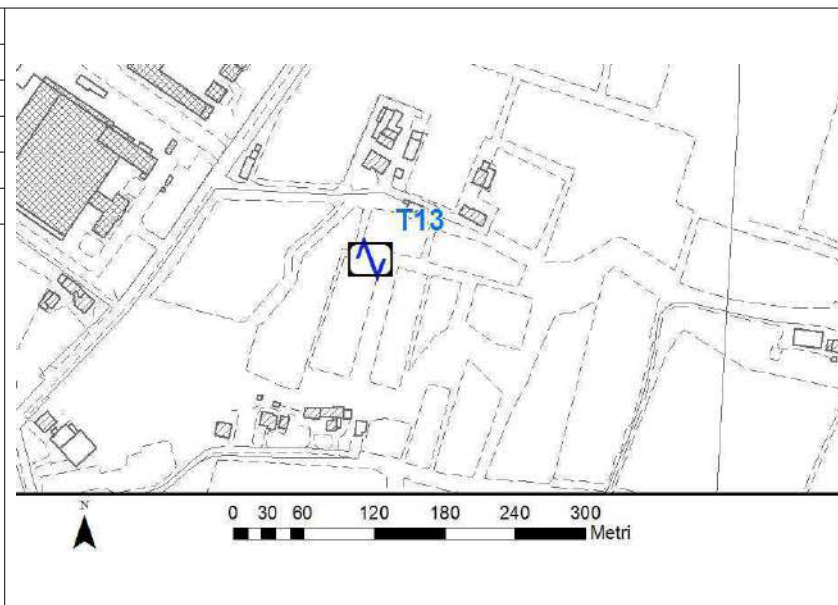
Andamento della curva H/V



Foto

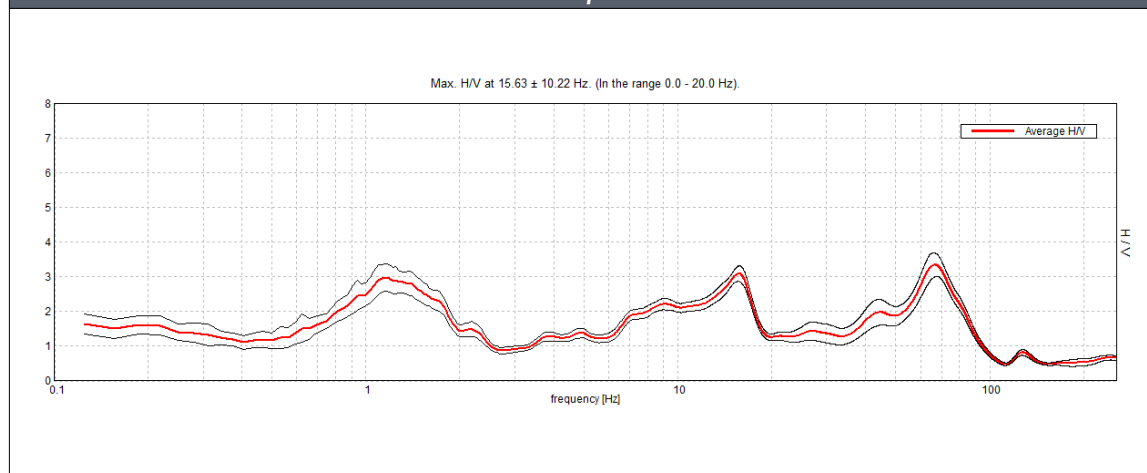
Misura sismica H.V.S.R.

Progressivo	T13	
Latitudine e Longitudine WGS84 - 33N [°]	5080084	297211
Quota p.c. s.l.m. [m]	29	
Frequenza di risonanza caratteristica tra 0,1 e 20,0 Hz [Hz]	1.3	
Condizione di amplificazione tra 0,1 e 20,0 Hz	SI	
Presenza di artefatti	SI	



Andamento delle tre componenti del moto sismico

Ubicazione



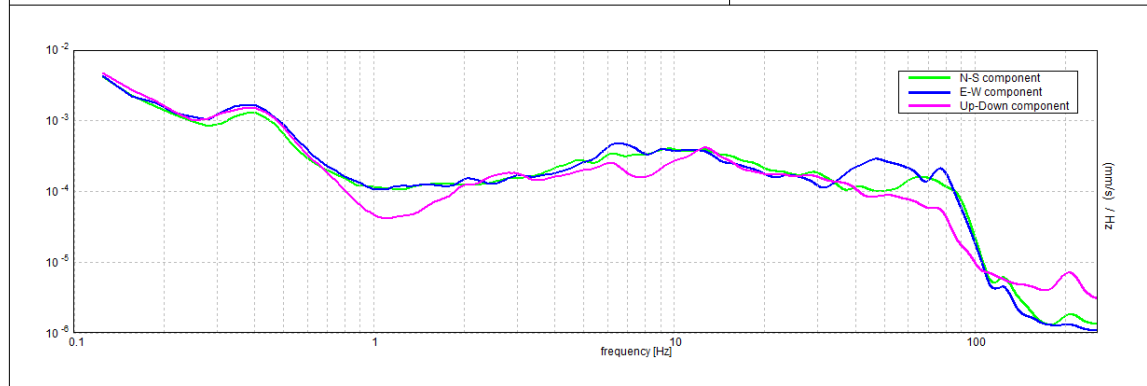
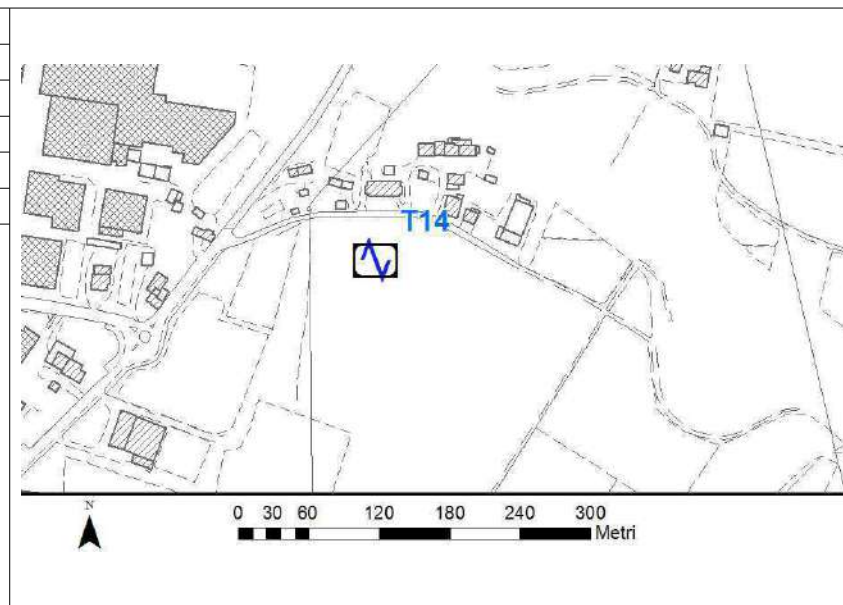
Andamento della curva H/V



Foto

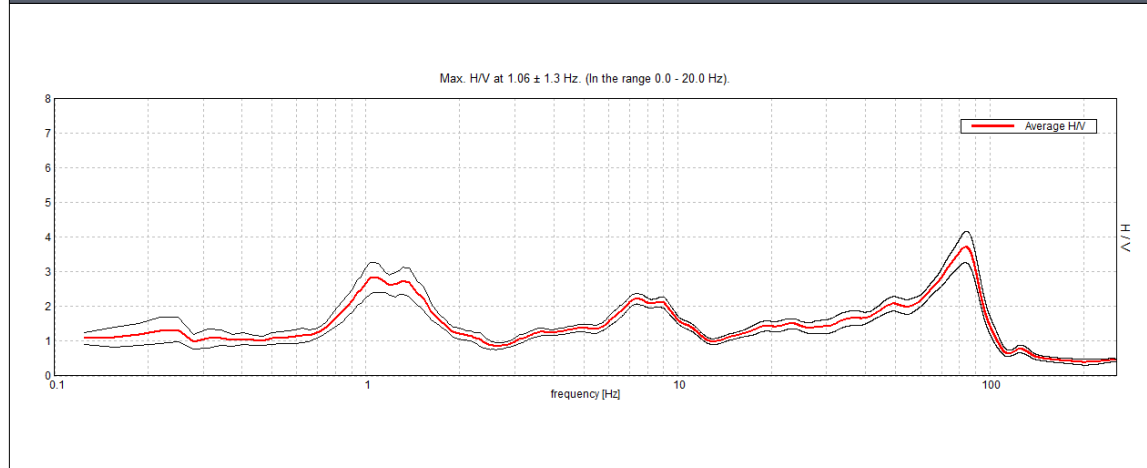
Misura sismica H.V.S.R.

Progressivo	T14	
Latitudine e Longitudine WGS84 - 33N [°]	5080569	297578
Quota p.c. s.l.m. [m]	28	
Frequenza di risonanza caratteristica tra 0,1 e 20,0 Hz [Hz]	1.06	
Condizione di amplificazione tra 0,1 e 20,0 Hz	SI	
Presenza di artefatti	SI	



Andamento delle tre componenti del moto sismico

Ubicazione



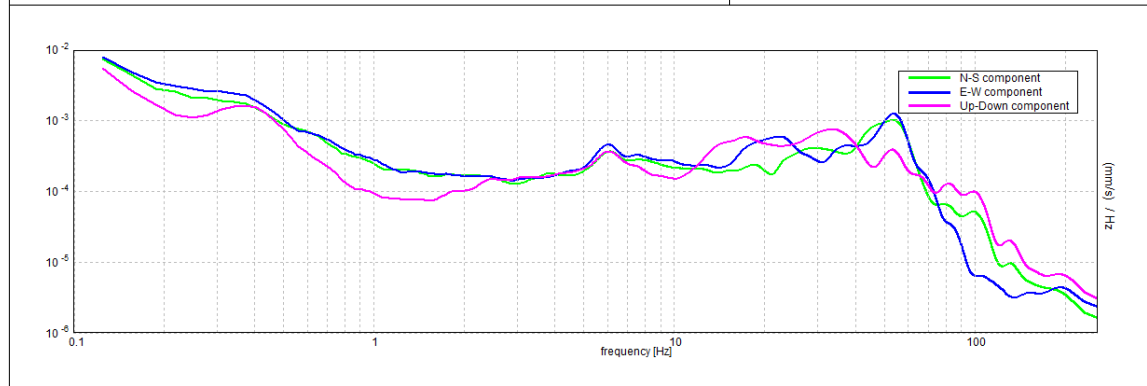
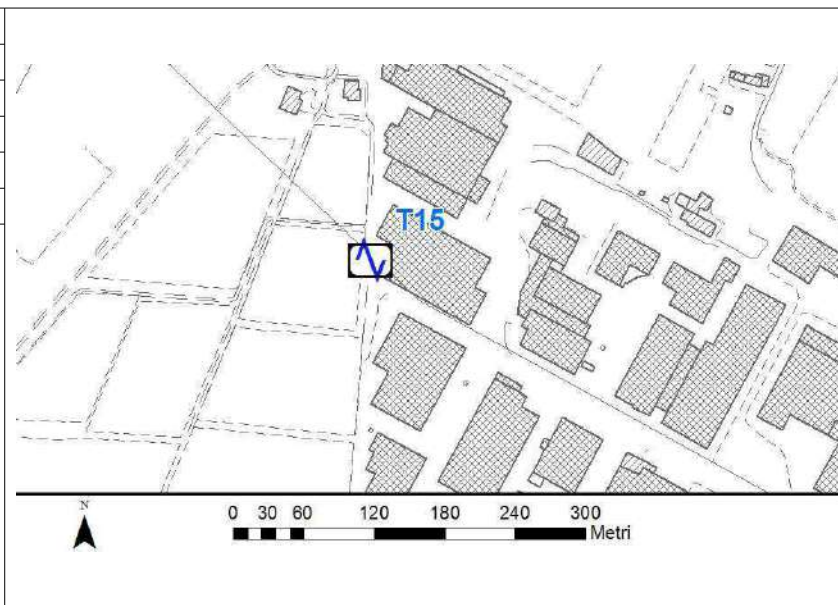
Andamento della curva H/V



Foto

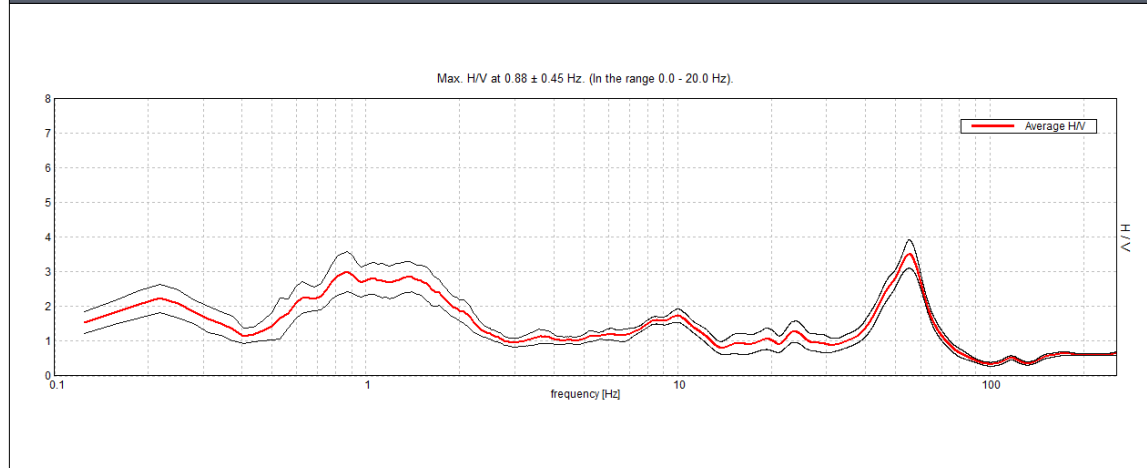
Misura sismica H.V.S.R.

Progressivo	T15	
Latitudine e Longitudine WGS84 - 33N [°]	5081255	297155
Quota p.c. s.l.m. [m]	31	
Frequenza di risonanza caratteristica tra 0,1 e 20,0 Hz [Hz]	0.88	
Condizione di amplificazione tra 0,1 e 20,0 Hz	SI	
Presenza di artefatti	SI	



Andamento delle tre componenti del moto sismico

Ubicazione



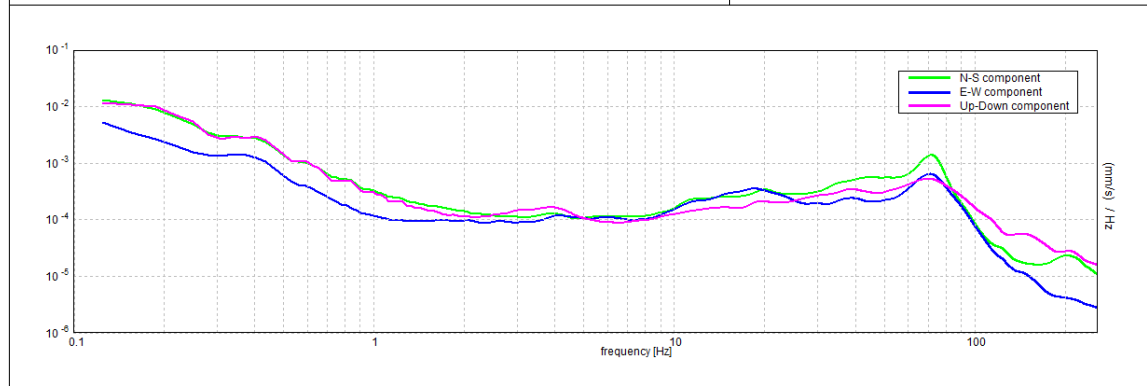
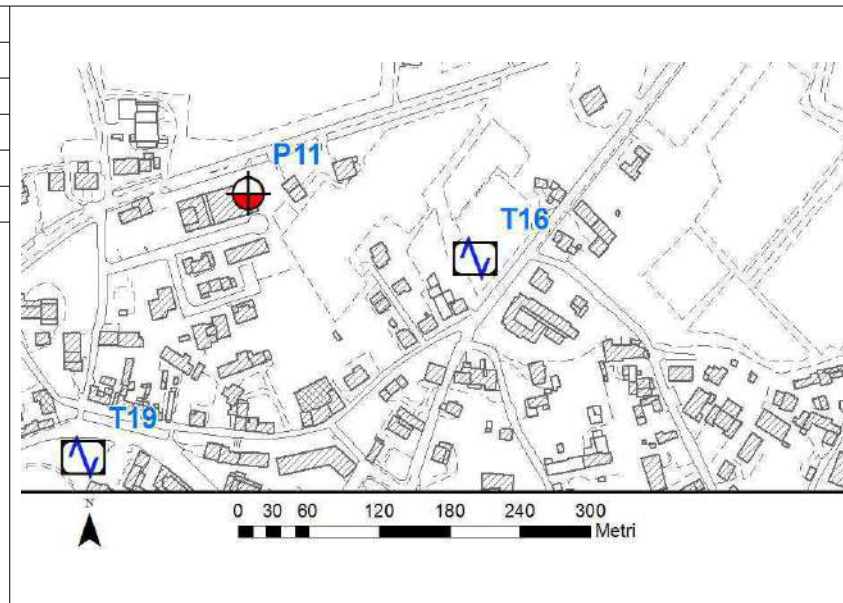
Andamento della curva H/V



Foto

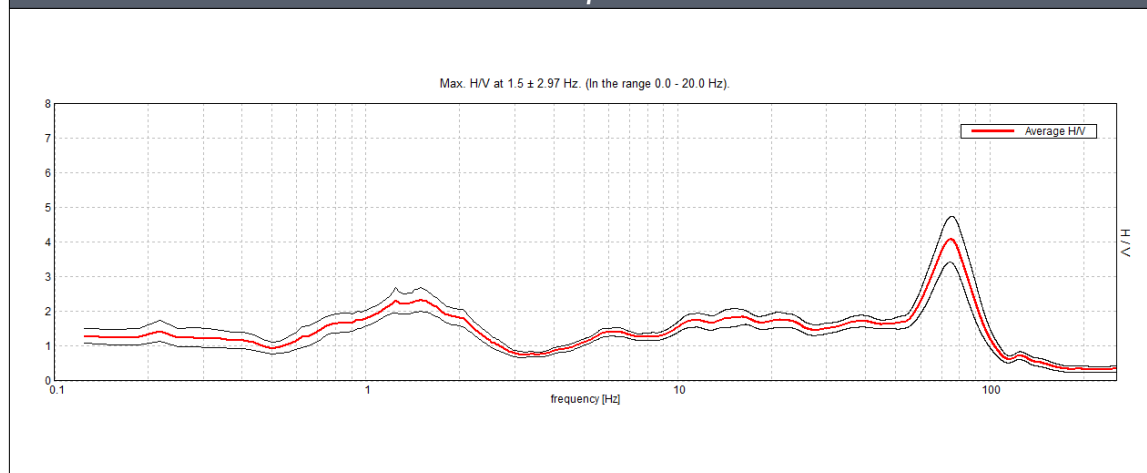
Misura sismica H.V.S.R.

Progressivo	T16	
Latitudine e Longitudine WGS84 - 33N [°]	5079624	296608
Quota p.c. s.l.m. [m]	31	
Frequenza di risonanza caratteristica tra 0,1 e 20,0 Hz [Hz]	1.5	
Condizione di amplificazione tra 0,1 e 20,0 Hz	SI	
Presenza di artefatti	SI	



Andamento delle tre componenti del moto sismico

Ubicazione



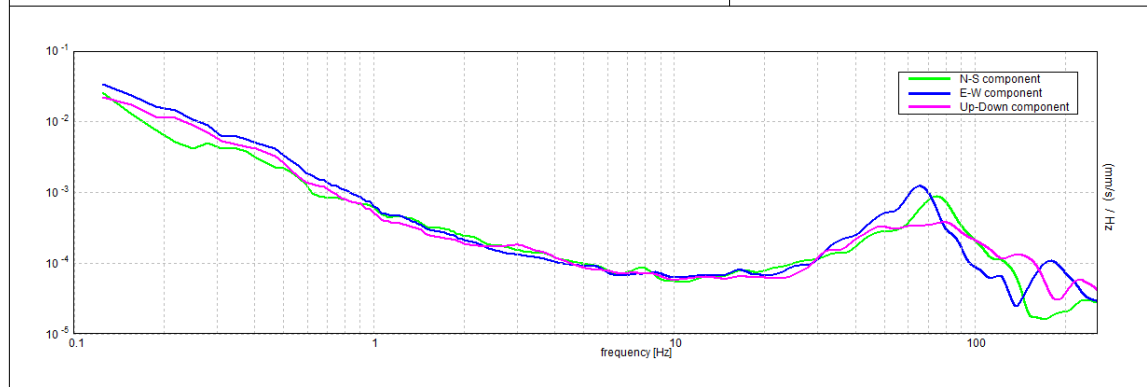
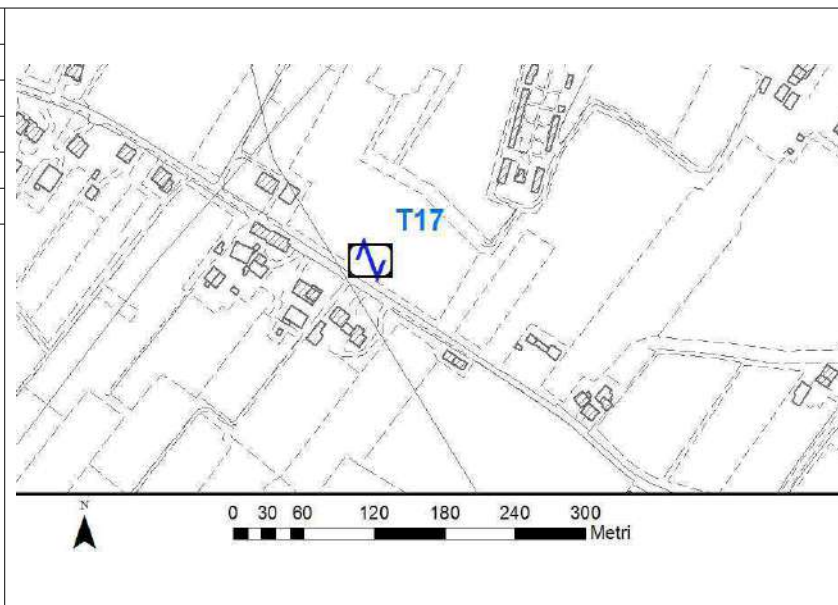
Andamento della curva H/V



Foto

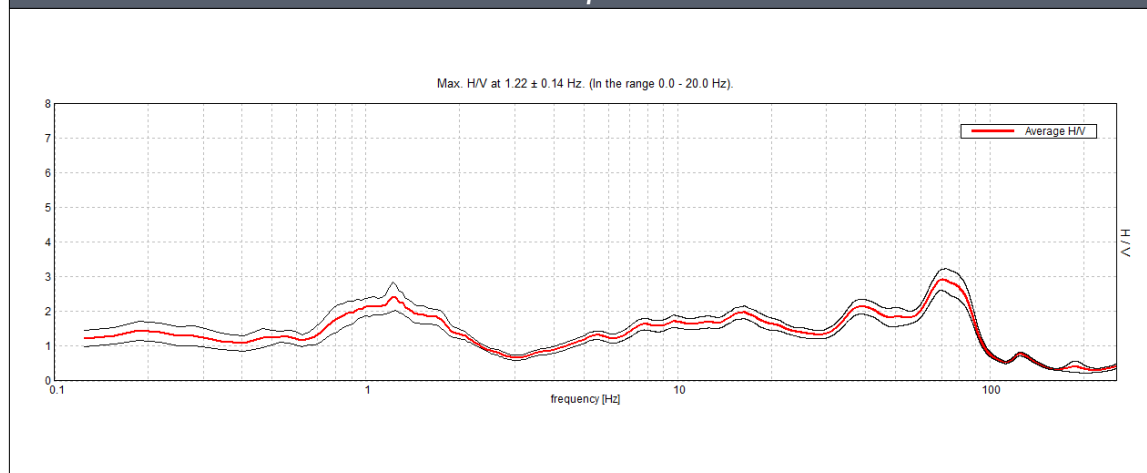
Misura sismica H.V.S.R.

Progressivo	T17	
Latitudine e Longitudine WGS84 - 33N [°]	5078984	298365
Quota p.c. s.l.m. [m]	26	
Frequenza di risonanza caratteristica tra 0,1 e 20,0 Hz [Hz]	1.22	
Condizione di amplificazione tra 0,1 e 20,0 Hz	SI	
Presenza di artefatti	SI	



Andamento delle tre componenti del moto sismico

Ubicazione



Andamento della curva H/V

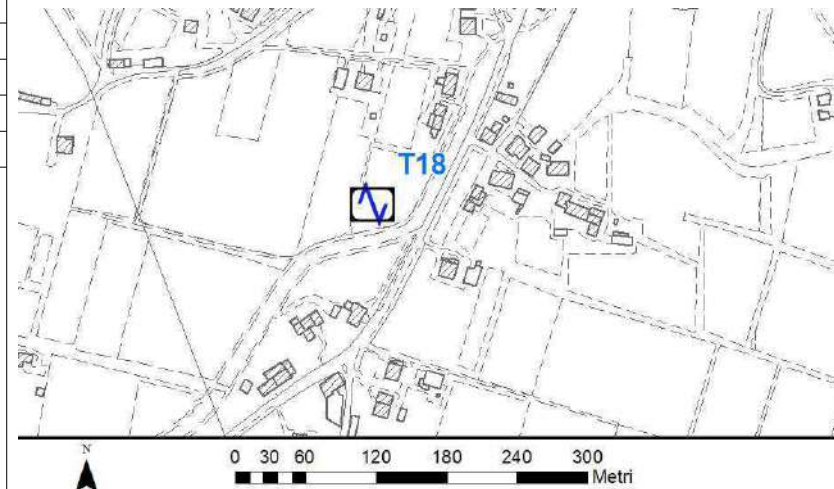


Foto

Misura sismica H.V.S.R.

Progressivo	T18	
Latitudine e Longitudine WGS84 - 33N [°]	5078275	298948
Quota p.c. s.l.m. [m]	23	
Frequenza di risonanza caratteristica tra 0,1 e 20,0 Hz [Hz]	-	
Condizione di amplificazione tra 0,1 e 20,0 Hz	-	
Presenza di artefatti	-	

MISURA NON INTERPRETABILE



Andamento delle tre componenti del moto sismico

Ubicazione

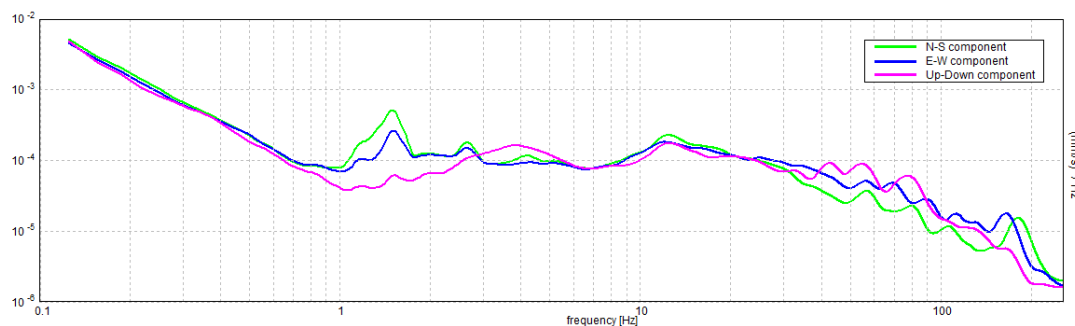
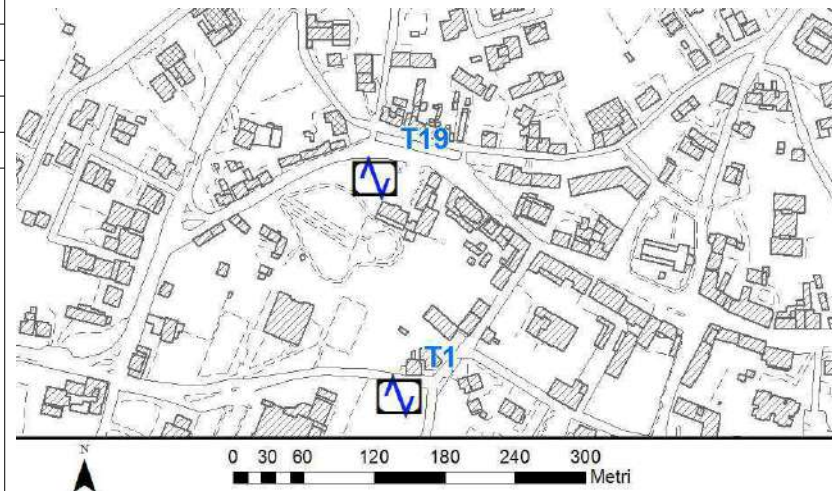


Andamento della curva H/V

Foto

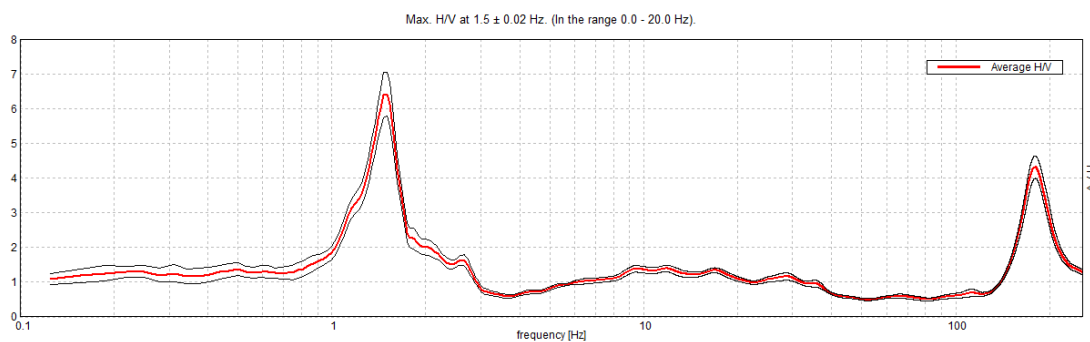
Misura sismica H.V.S.R.

Progressivo	T19	
Latitudine e Longitudine WGS84 - 33N [°]	5079454	296274
Quota p.c. s.l.m. [m]	29	
Frequenza di risonanza caratteristica tra 0,1 e 20,0 Hz [Hz]	1.5	
Condizione di amplificazione tra 0,1 e 20,0 Hz	SI	
Presenza di artefatti	SI	



Andamento delle tre componenti del moto sismico

Ubicazione



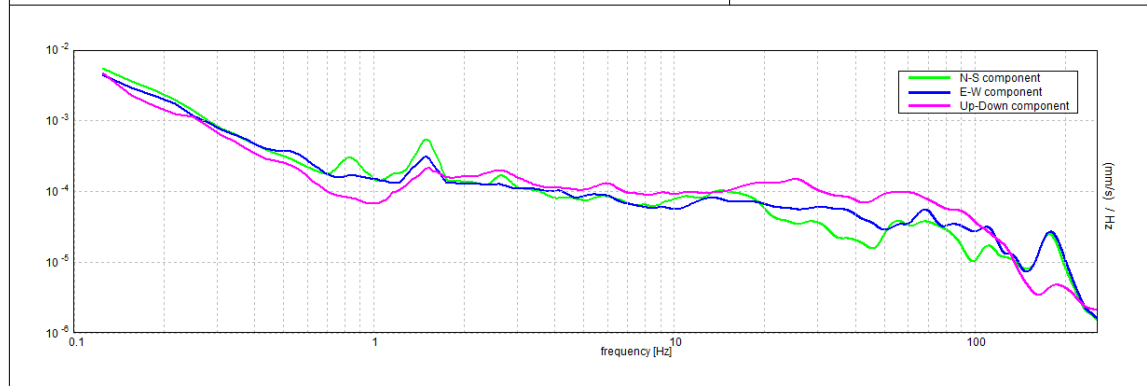
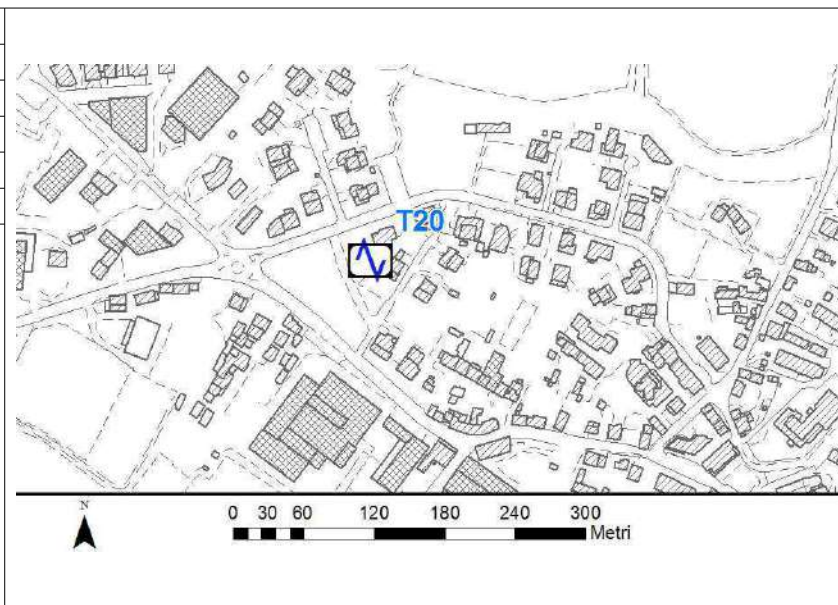
Andamento della curva H/V



Foto

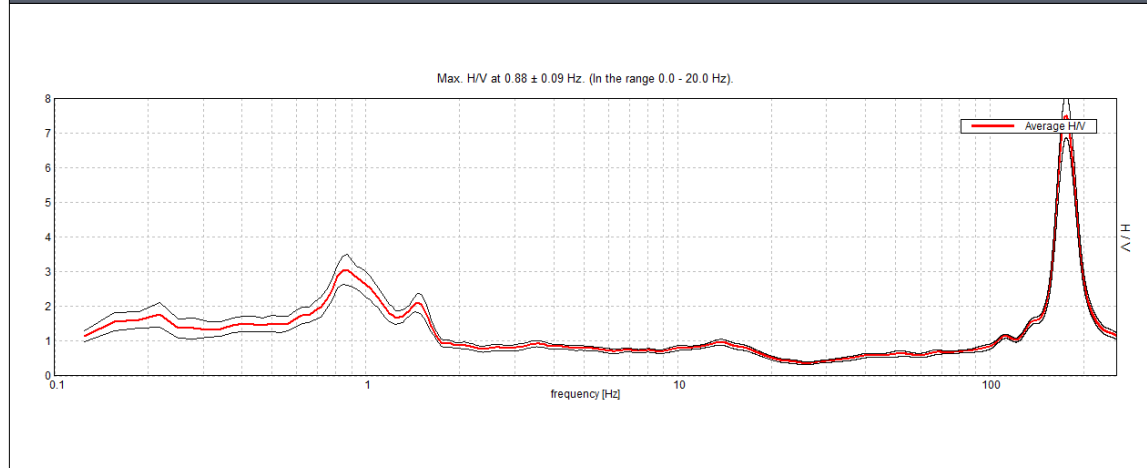
Misura sismica H.V.S.R.

Progressivo	T20	
Latitudine e Longitudine WGS84 - 33N [°]	5079253	298864
Quota p.c. s.l.m. [m]	24	
Frequenza di risonanza caratteristica tra 0,1 e 20,0 Hz [Hz]	0.88	
Condizione di amplificazione tra 0,1 e 20,0 Hz	SI	
Presenza di artefatti	SI	



Andamento delle tre componenti del moto sismico

Ubicazione



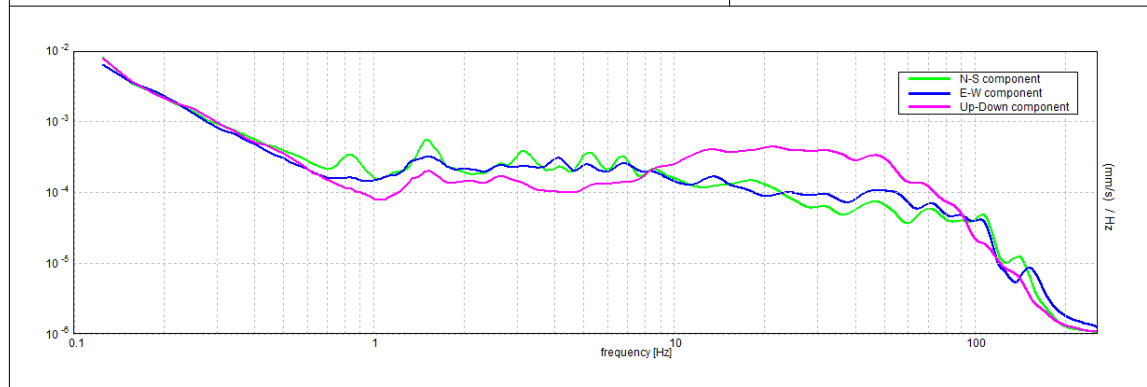
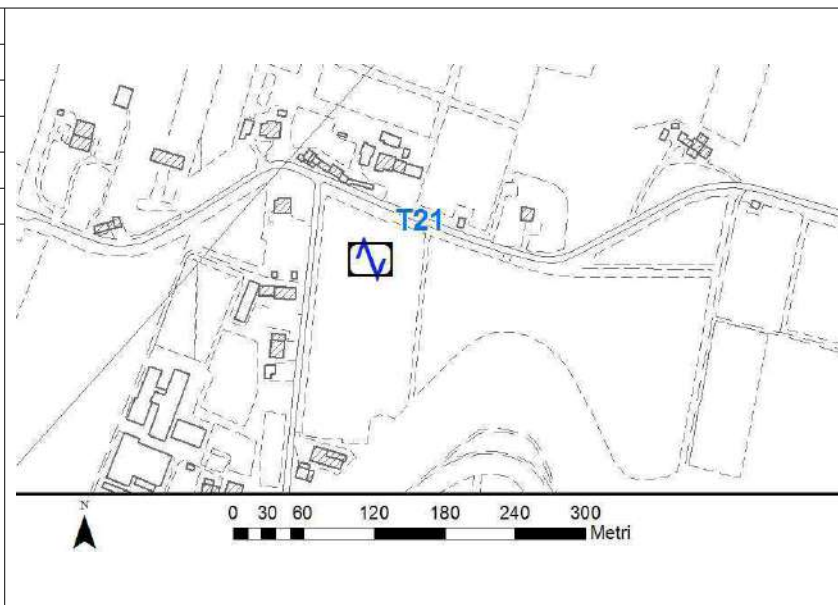
Andamento della curva H/V



Foto

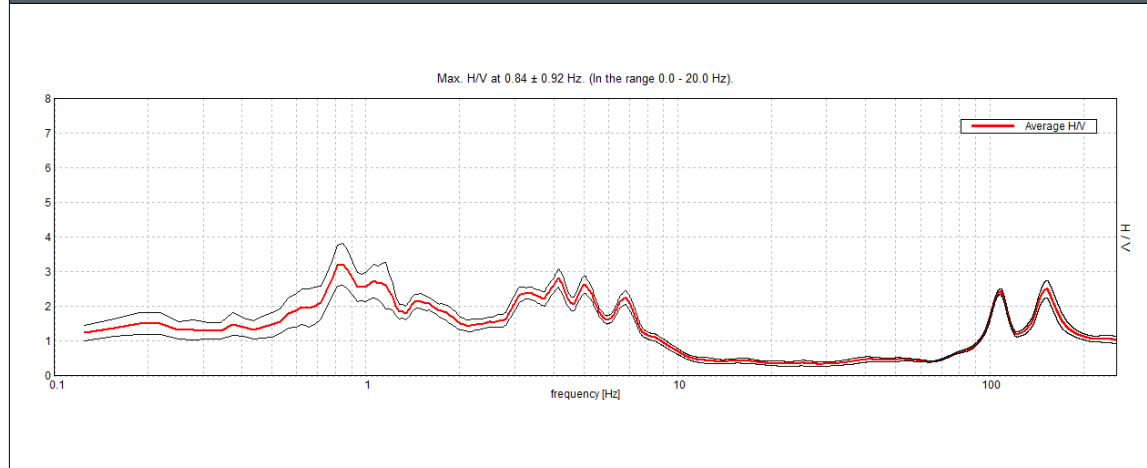
Misura sismica H.V.S.R.

Progressivo	T21	
Latitudine e Longitudine WGS84 - 33N [°]	5080281	299490
Quota p.c. s.l.m. [m]	24	
Frequenza di risonanza caratteristica tra 0,1 e 20,0 Hz [Hz]	0.9	
Condizione di amplificazione tra 0,1 e 20,0 Hz	SI	
Presenza di artefatti	SI	



Andamento delle tre componenti del moto sismico

Ubicazione



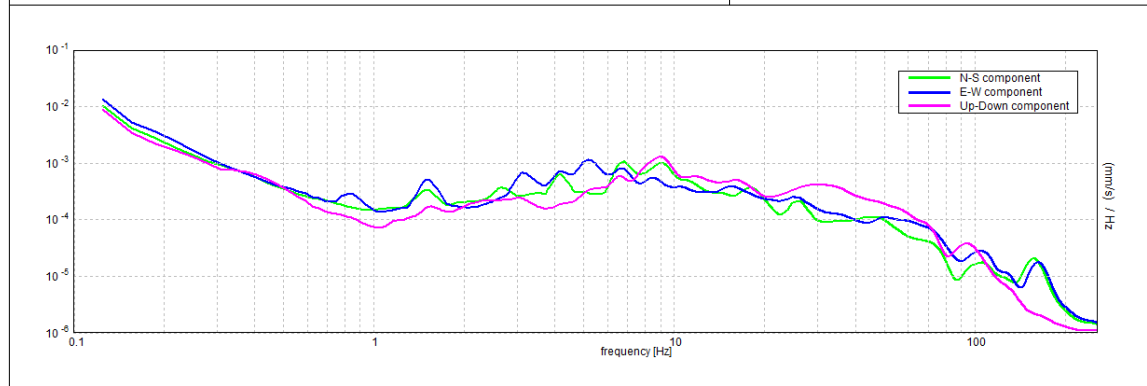
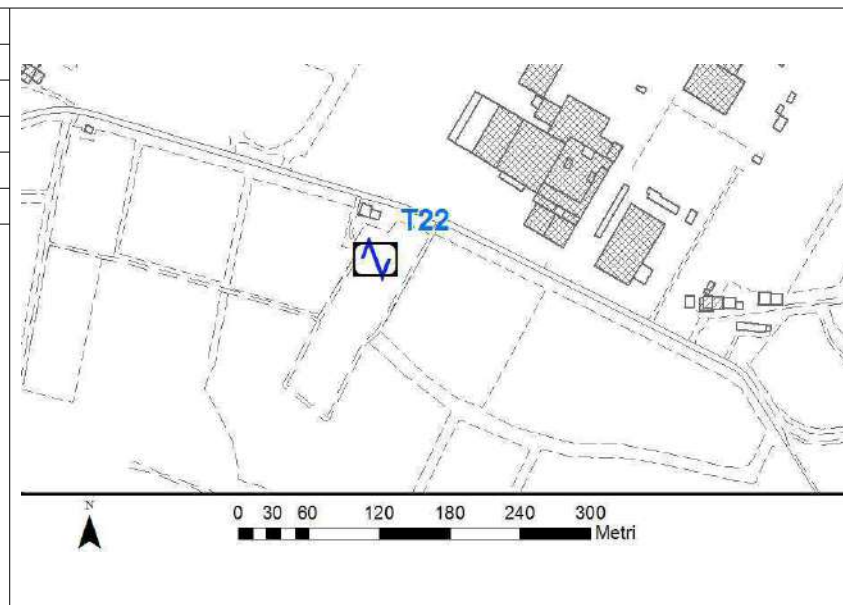
Andamento della curva H/V



Foto

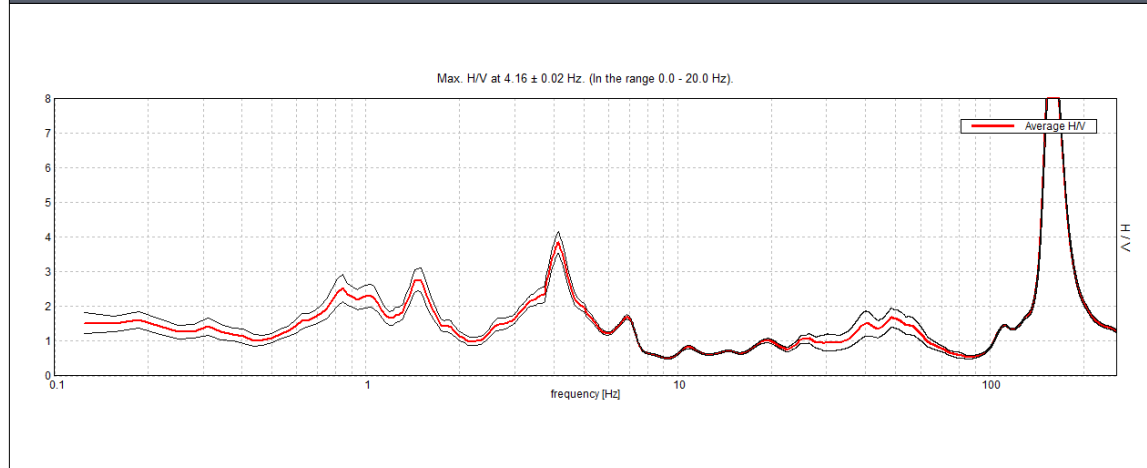
Misura sismica H.V.S.R.

Progressivo	T22	
Latitudine e Longitudine WGS84 - 33N [°]	5080217	300062
Quota p.c. s.l.m. [m]	23	
Frequenza di risonanza caratteristica tra 0,1 e 20,0 Hz [Hz]	1.0	
Condizione di amplificazione tra 0,1 e 20,0 Hz	SI	
Presenza di artefatti	SI	



Andamento delle tre componenti del moto sismico

Ubicazione

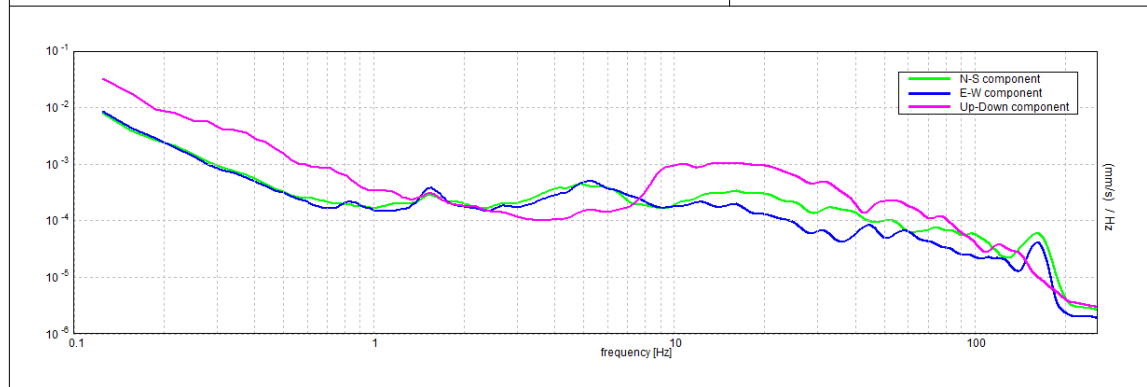
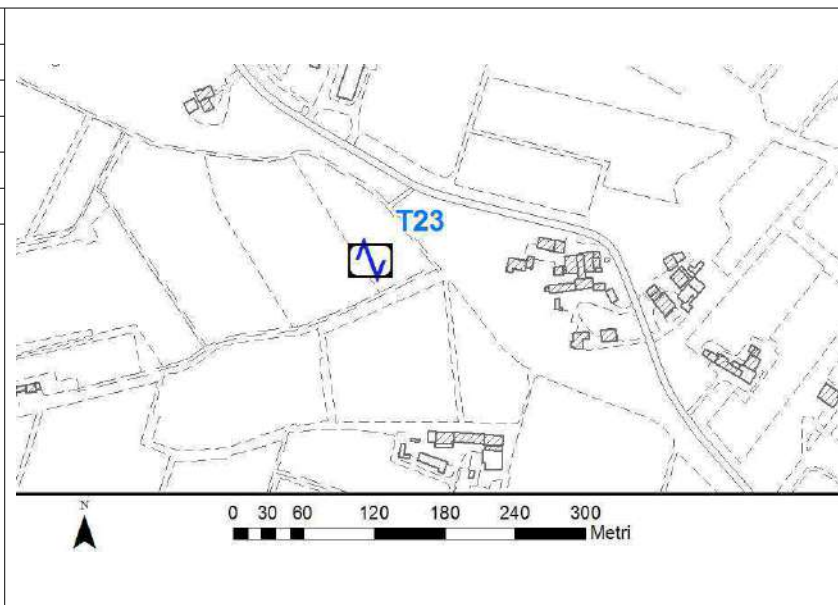


Andamento della curva H/V

Foto

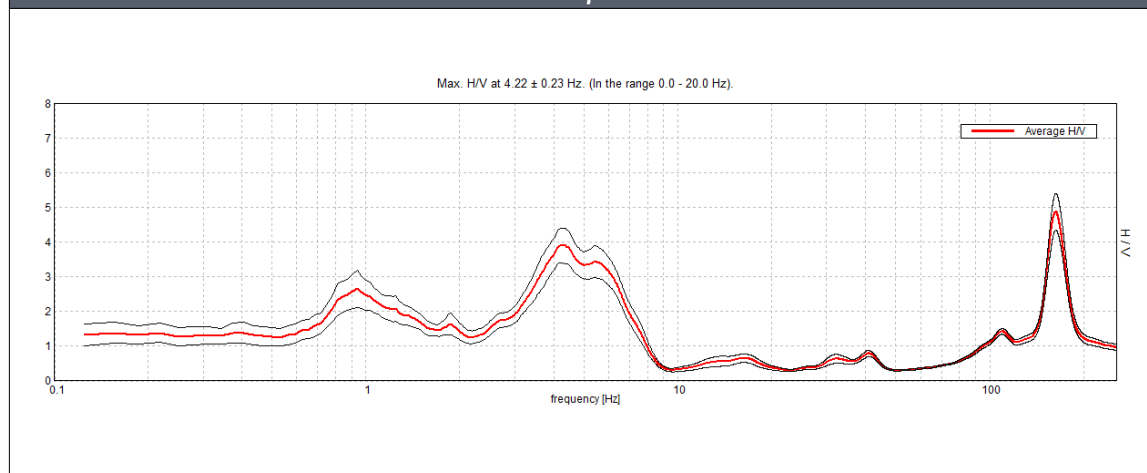
Misura sismica H.V.S.R.

Progressivo	T23	
Latitudine e Longitudine WGS84 - 33N [°]	5078460	299664
Quota p.c. s.l.m. [m]	21	
Frequenza di risonanza caratteristica tra 0,1 e 20,0 Hz [Hz]	4.22	
Condizione di amplificazione tra 0,1 e 20,0 Hz	SI	
Presenza di artefatti	NO	



Andamento delle tre componenti del moto sismico

Ubicazione



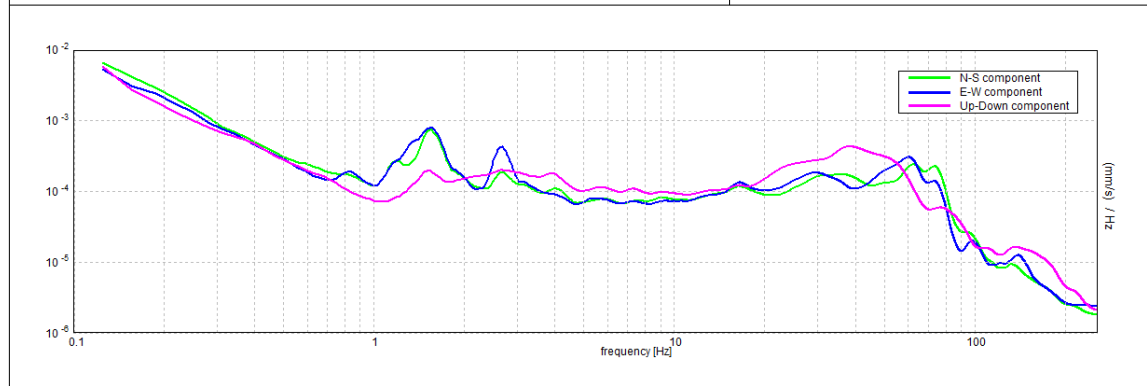
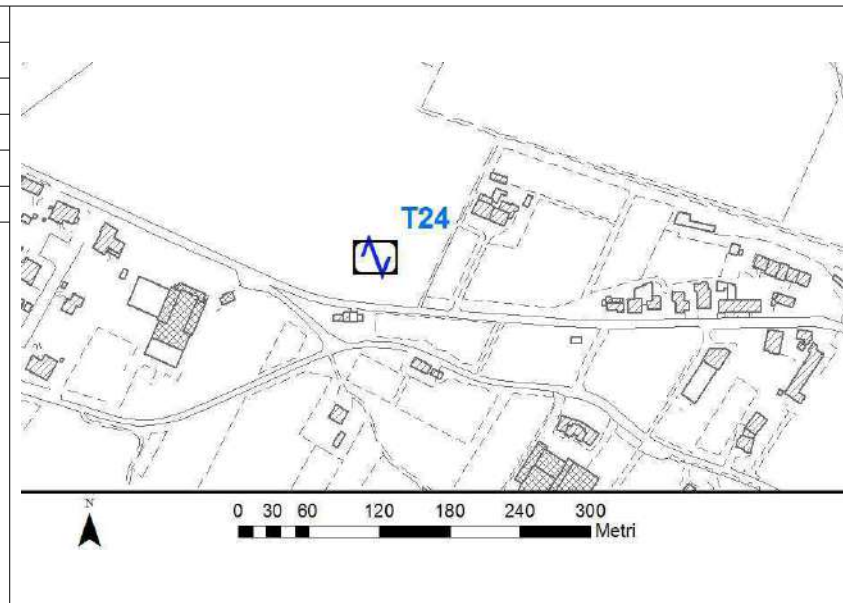
Andamento della curva H/V



Foto

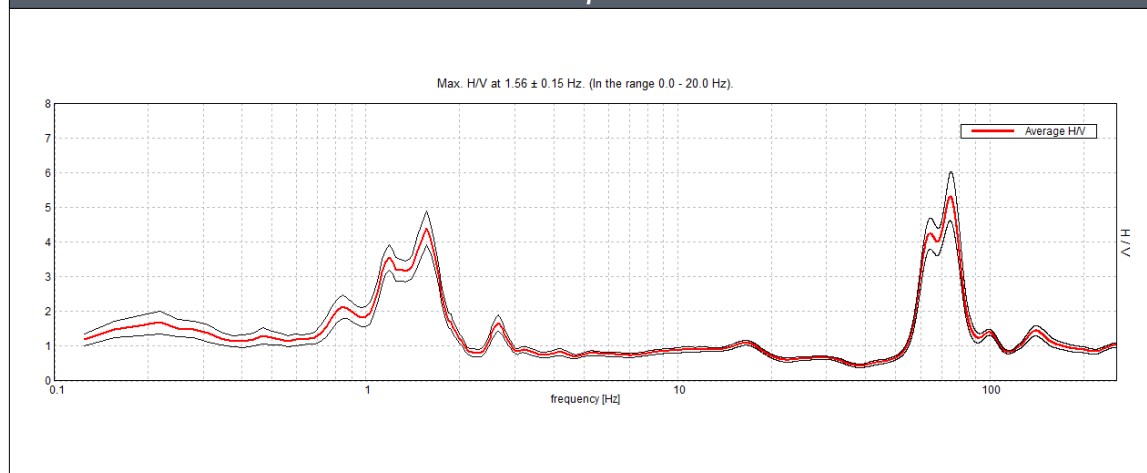
Misura sismica H.V.S.R.

Progressivo	T24	
Latitudine e Longitudine WGS84 - 33N [°]	5079302	297798
Quota p.c. s.l.m. [m]	26	
Frequenza di risonanza caratteristica tra 0,1 e 20,0 Hz [Hz]	1.3	
Condizione di amplificazione tra 0,1 e 20,0 Hz	SI	
Presenza di artefatti	SI	



Andamento delle tre componenti del moto sismico

Ubicazione



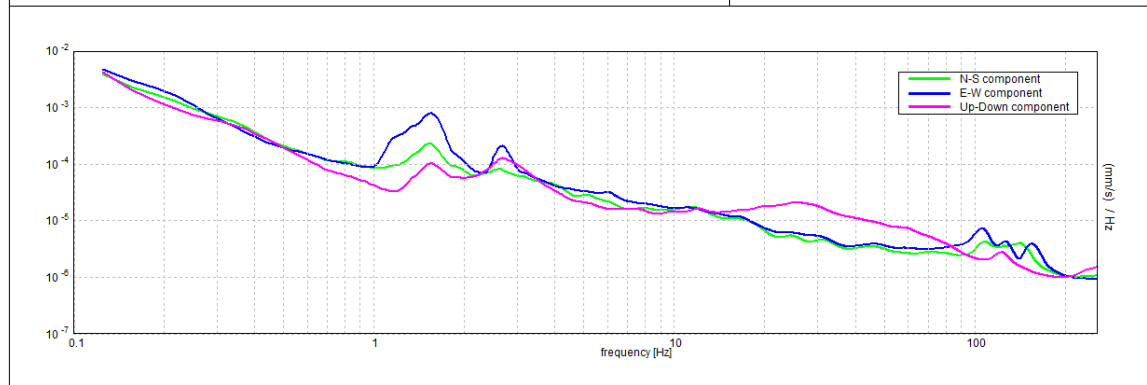
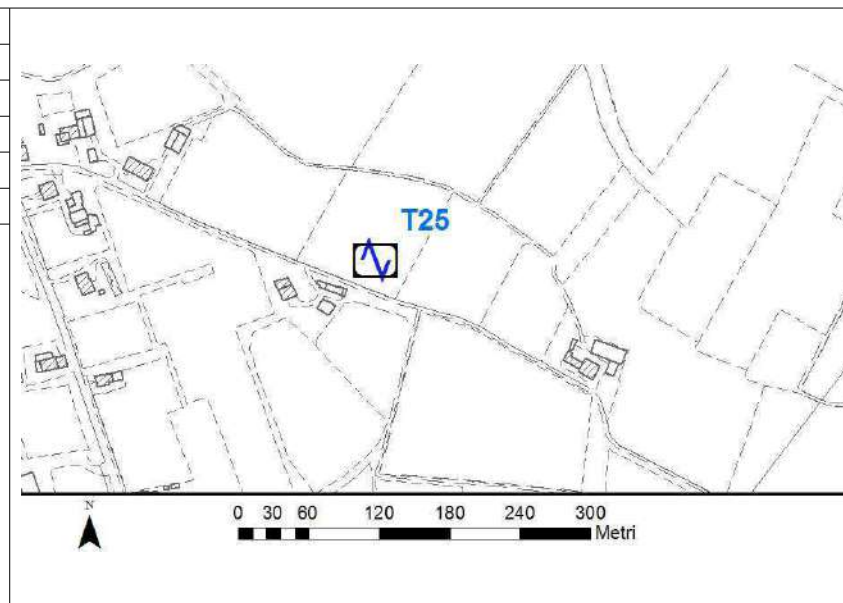
Andamento della curva H/V



Foto

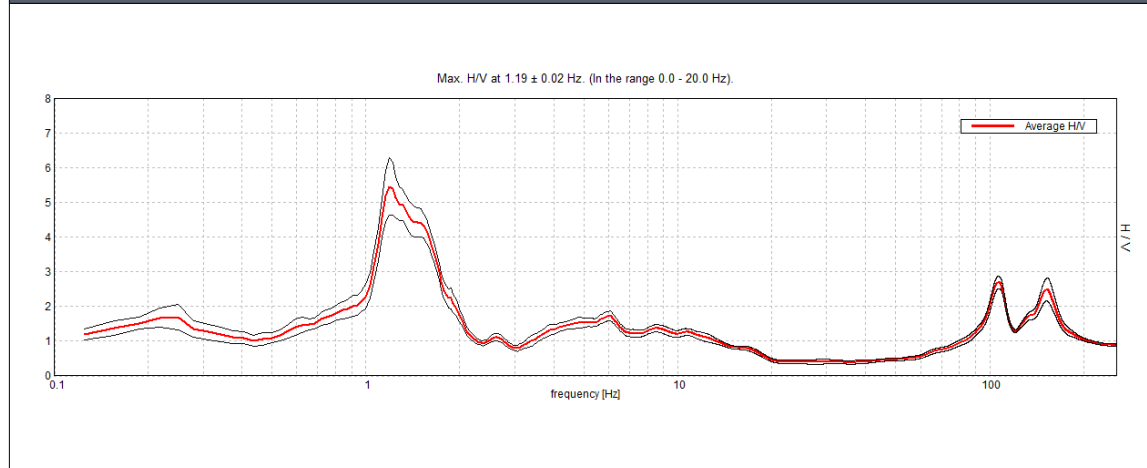
Misura sismica H.V.S.R.

Progressivo	T25	
Latitudine e Longitudine WGS84 - 33N [°]	5078665	297471
Quota p.c. s.l.m. [m]	27	
Frequenza di risonanza caratteristica tra 0,1 e 20,0 Hz [Hz]	1.3	
Condizione di amplificazione tra 0,1 e 20,0 Hz	SI	
Presenza di artefatti	SI	



Andamento delle tre componenti del moto sismico

Ubicazione

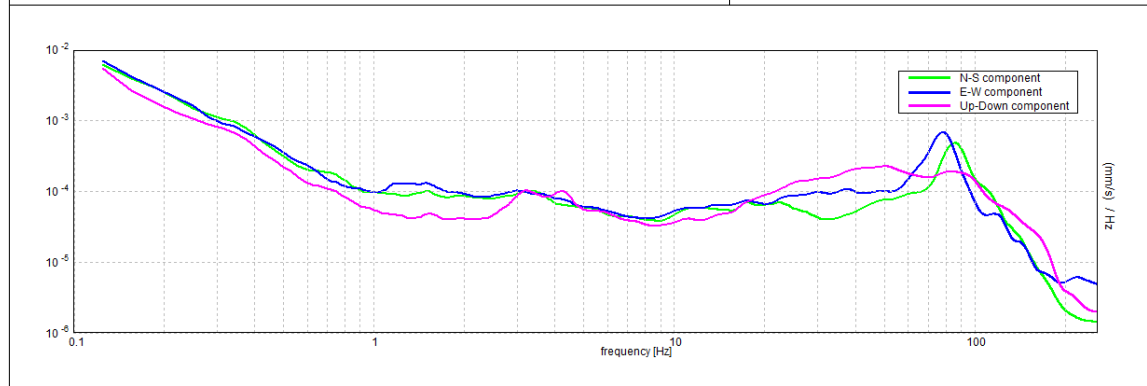
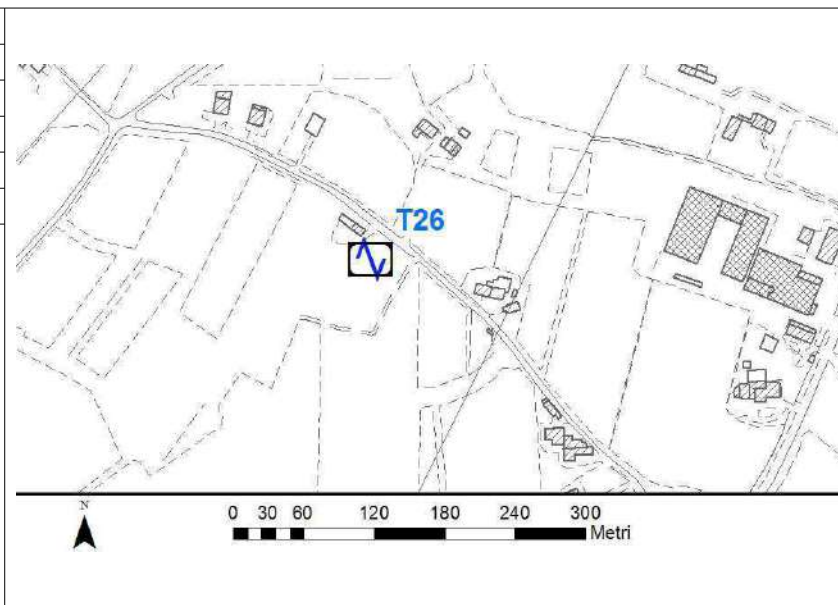


Andamento della curva H/V

Foto

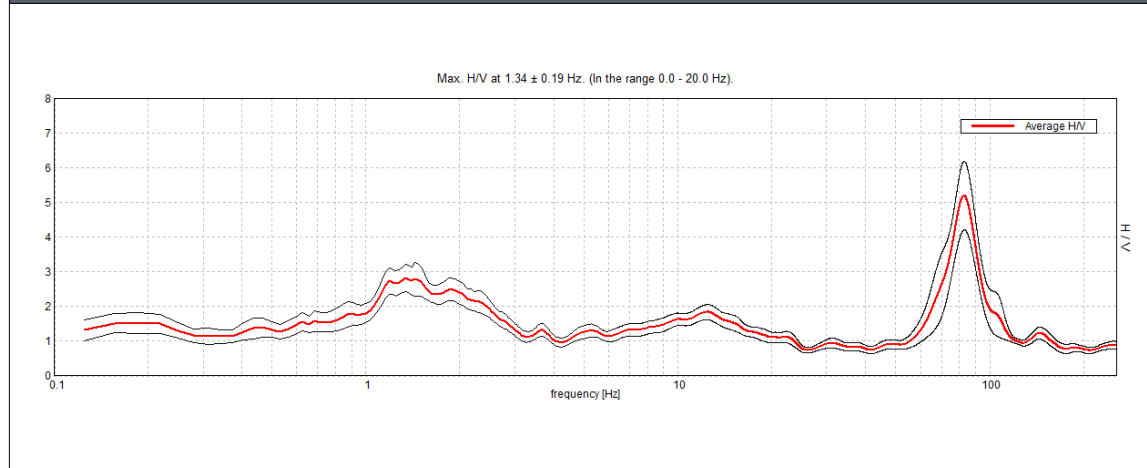
Misura sismica H.V.S.R.

Progressivo	T26	
Latitudine e Longitudine WGS84 - 33N [°]	5078348	295152
Quota p.c. s.l.m. [m]	35	
Frequenza di risonanza caratteristica tra 0,1 e 20,0 Hz [Hz]	1.34	
Condizione di amplificazione tra 0,1 e 20,0 Hz	SI	
Presenza di artefatti	SI	



Andamento delle tre componenti del moto sismico

Ubicazione

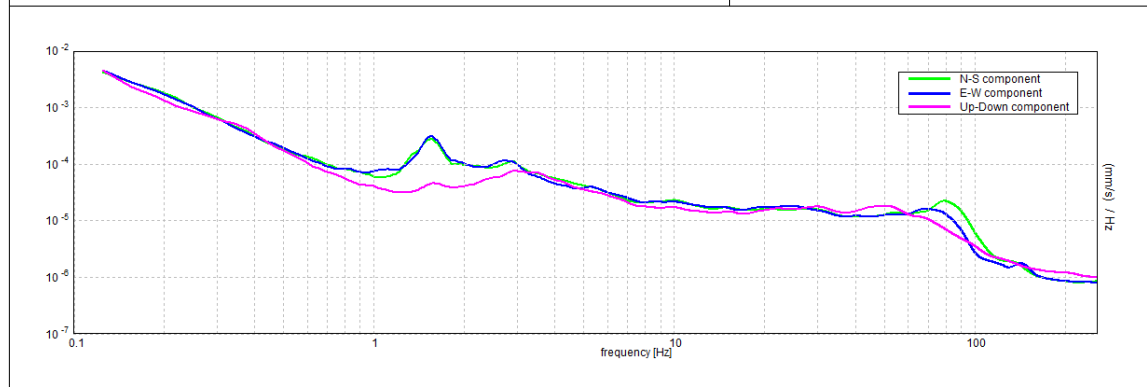
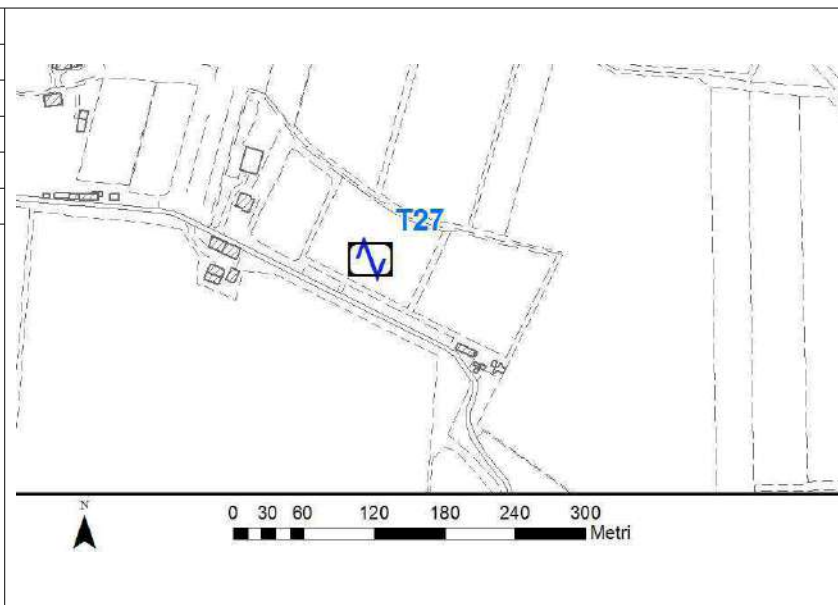


Andamento della curva H/V

Foto

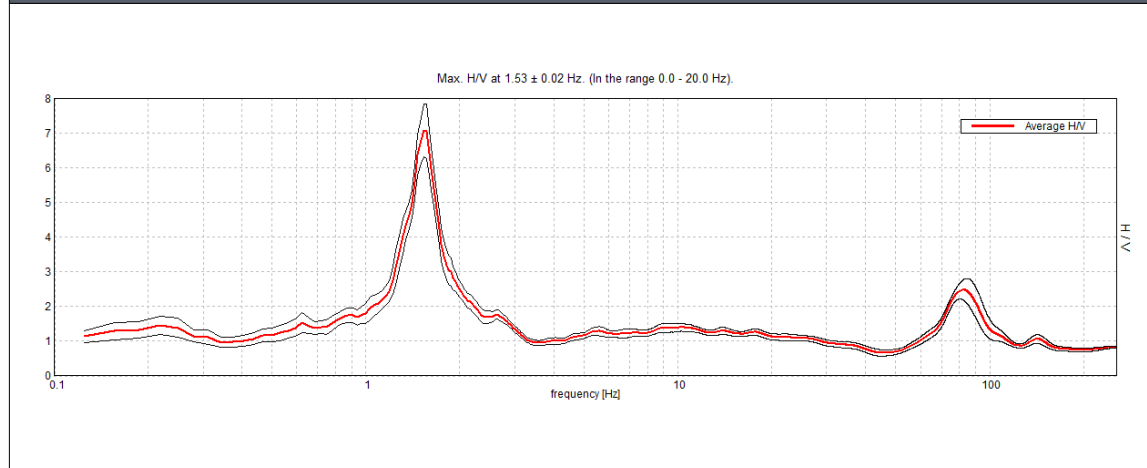
Misura sismica H.V.S.R.

Progressivo	T27	
Latitudine e Longitudine WGS84 - 33N [°]	5077618	296515
Quota p.c. s.l.m. [m]	29	
Frequenza di risonanza caratteristica tra 0,1 e 20,0 Hz [Hz]	1.53	
Condizione di amplificazione tra 0,1 e 20,0 Hz	SI	
Presenza di artefatti	SI	



Andamento delle tre componenti del moto sismico

Ubicazione

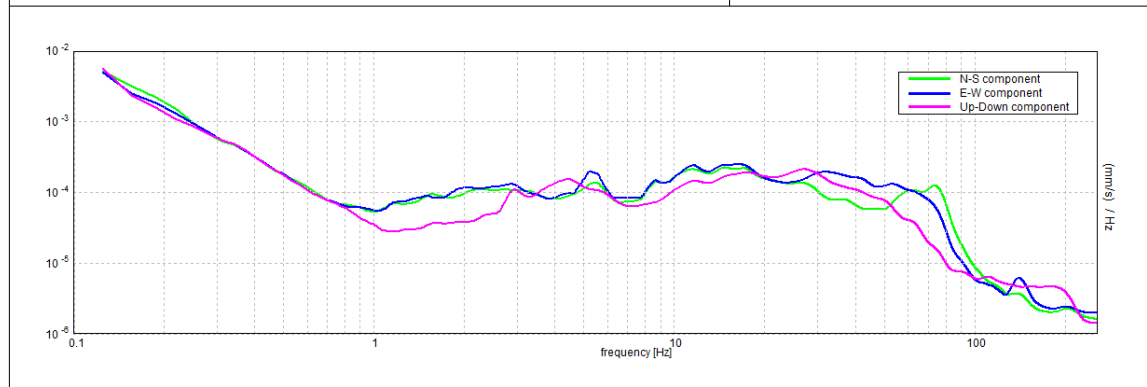
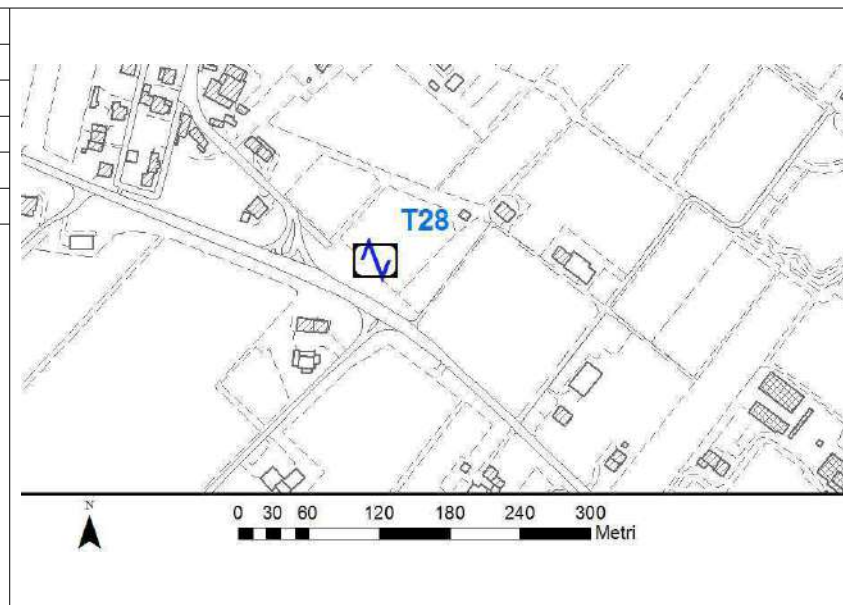


Andamento della curva H/V

Foto

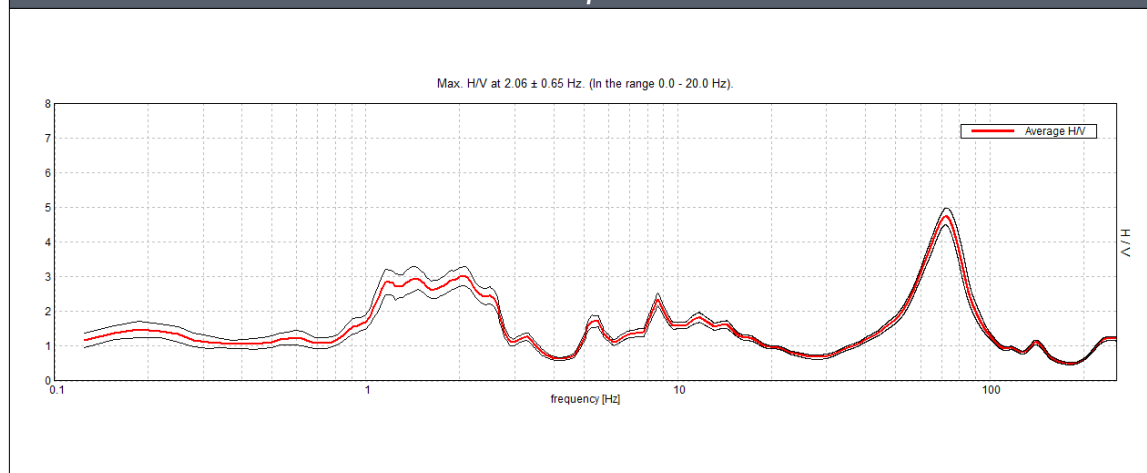
Misura sismica H.V.S.R.

Progressivo	T28	
Latitudine e Longitudine WGS84 - 33N [°]	5076297	294867
Quota p.c. s.l.m. [m]	35	
Frequenza di risonanza caratteristica tra 0,1 e 20,0 Hz [Hz]	2.06	
Condizione di amplificazione tra 0,1 e 20,0 Hz	SI	
Presenza di artefatti	SI	



Andamento delle tre componenti del moto sismico

Ubicazione



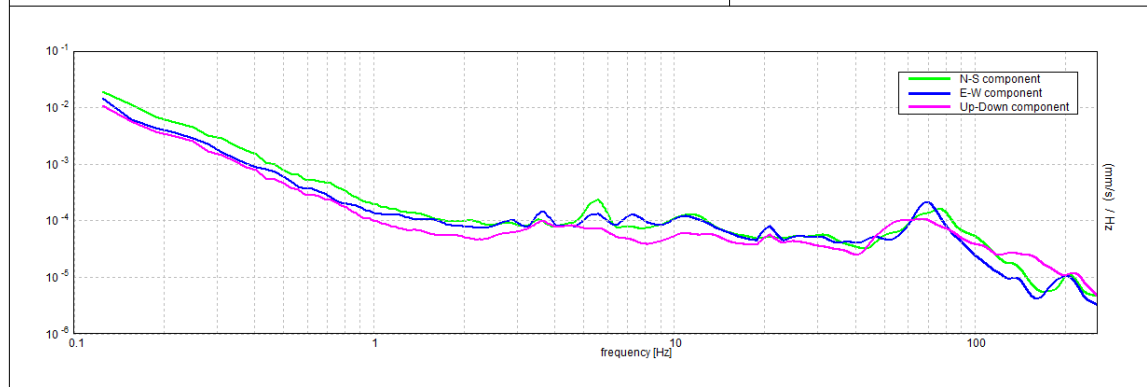
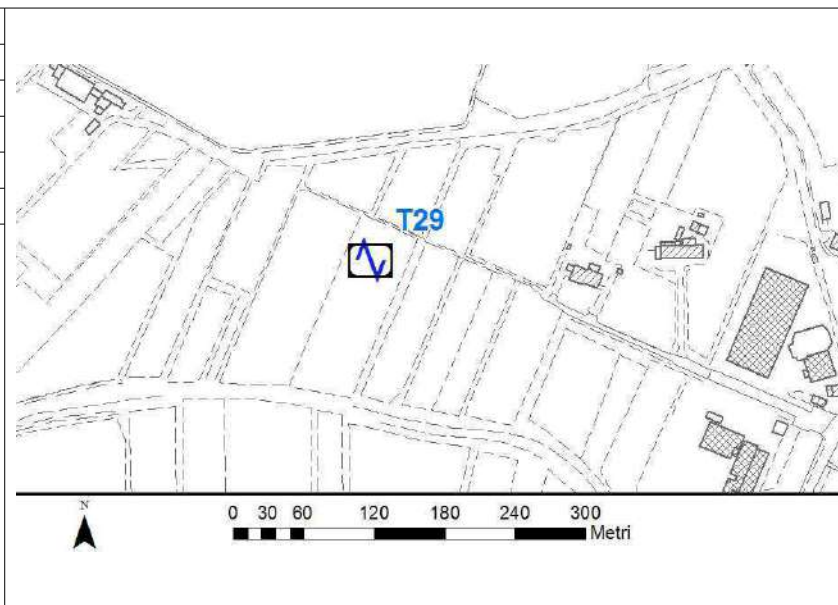
Andamento della curva H/V



Foto

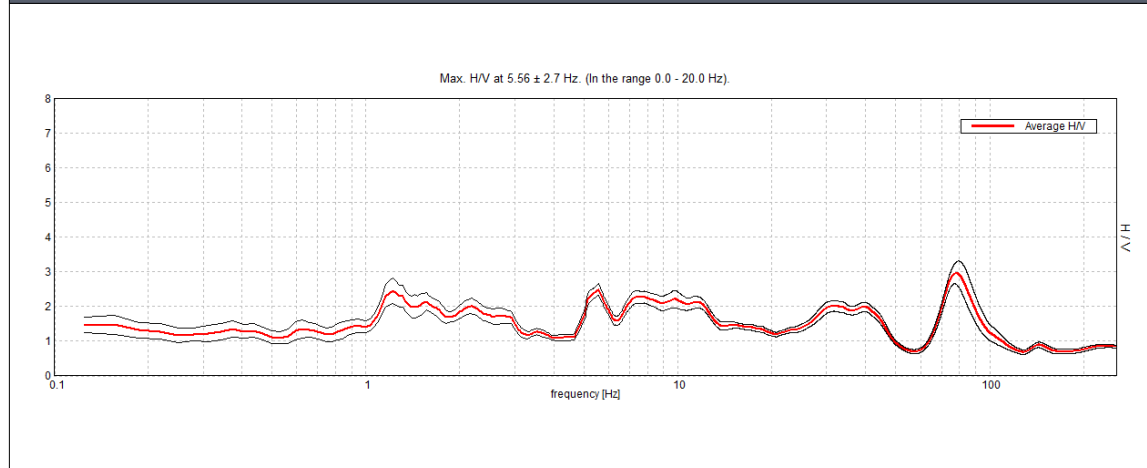
Misura sismica H.V.S.R.

Progressivo	T29	
Latitudine e Longitudine WGS84 - 33N [°]	5075869	293204
Quota p.c. s.l.m. [m]	40	
Frequenza di risonanza caratteristica tra 0,1 e 20,0 Hz [Hz]	7.8	
Condizione di amplificazione tra 0,1 e 20,0 Hz	SI	
Presenza di artefatti	SI	



Andamento delle tre componenti del moto sismico

Ubicazione



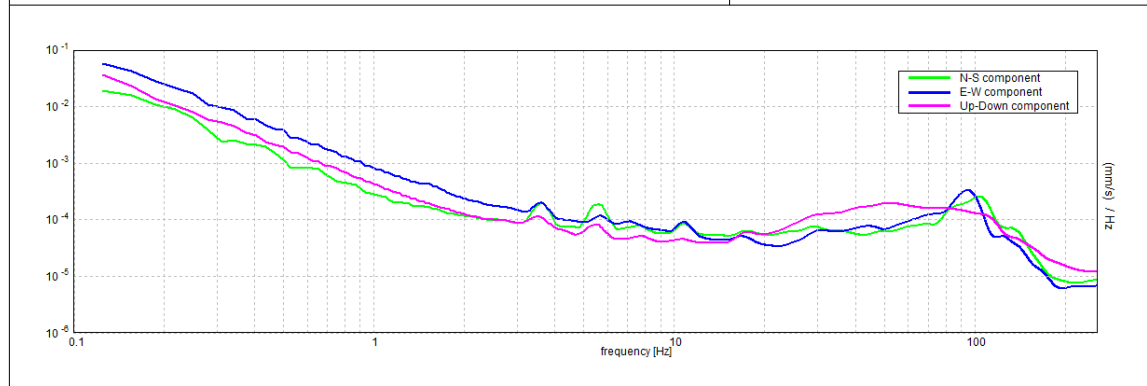
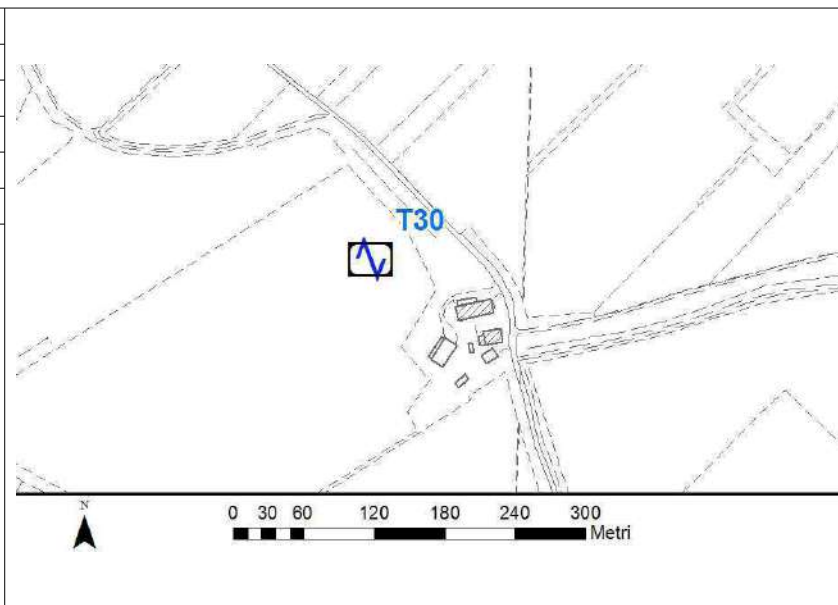
Andamento della curva H/V



Foto

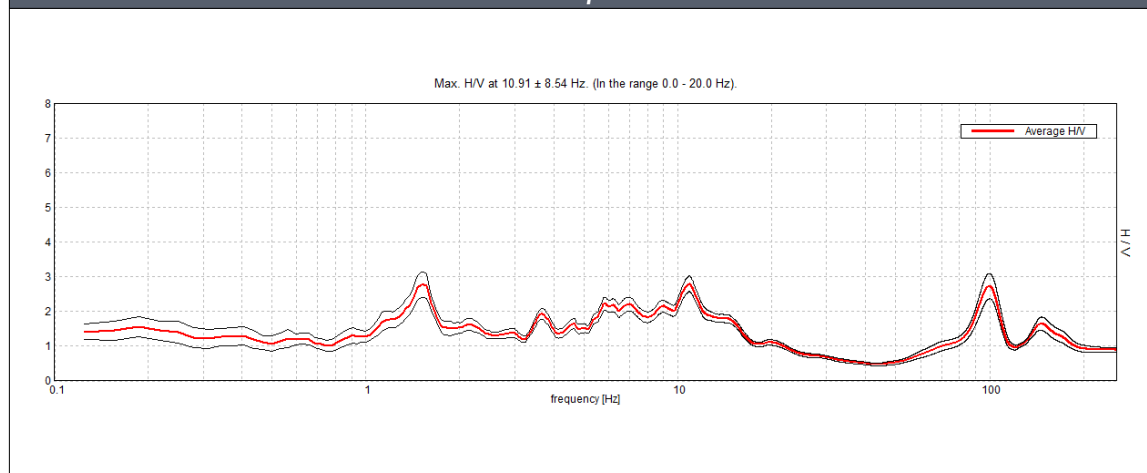
Misura sismica H.V.S.R.

Progressivo	T30	
Latitudine e Longitudine WGS84 - 33N [°]	5075761	292583
Quota p.c. s.l.m. [m]	42	
Frequenza di risonanza caratteristica tra 0,1 e 20,0 Hz [Hz]	1.6	
Condizione di amplificazione tra 0,1 e 20,0 Hz	SI	
Presenza di artefatti	SI	



Andamento delle tre componenti del moto sismico

Ubicazione



Andamento della curva H/V



Foto